

Appendice G

Sommario

MATERIALI E METODI.....	2
ELENCO STAZIONI DI MISURA DELLA SOGGIACENZA.....	2
ALLUVIONI VALLIVE.....	6
AV_ARZ - ALLUVIONI VALLIVE DEL TORRENTE ARZILLA.....	6
AV_ASP - ALLUVIONI VALLIVE DEL FIUME ASPIO.....	9
AV_CAN-ALLUVIONI VALLIVE DEL FIUME CANDIGLIANO E DEI SUOI TRIBUTARI.....	15
AV_CES-ALLUVIONI VALLIVE DEL FIUME CESANO E DEI SUOI TRIBUTARI	17
AV_CHI-ALLUVIONI VALLIVE DEL FIUME CHIENZI E DEI SUOI TRIBUTARI.....	22
AV_CON - ALLUVIONI VALLIVE DEL TORRENTE CONCA	32
AV_ESI - ALLUVIONI VALLIVE DEL FIUME ESINO E DEI SUOI TRIBUTARI	33
AV_FOG - ALLUVIONI VALLIVE DEL FIUME FOGLIA E DEI SUOI TRIBUTARI	50
AV_MEN - ALLUVIONI VALLIVE DEL TORRENTE MENOCCHIA.....	55
AV_MET - ALLUVIONI VALLIVE DEL FIUME METAURO	56
AV_MIS - ALLUVIONI VALLIVE DEL FIUME MISA E DEI SUOI TRIBUTARI	62
AV_MUS - ALLUVIONI VALLIVE DEL FIUME MUSONE E DEI SUOI TRIBUTARI	71
AV_POT - ALLUVIONI VALLIVE DEL FIUME POTENZA E DEI SUOI TRIBUTARI.....	76
AV_TES - ALLUVIONI VALLIVE DEL FIUME TESINO	85
AV_TRO - ALLUVIONI VALLIVE DEL FIUME TRONTO	87
AV_VEN - ALLUVIONI VALLIVE DEL RIO VENTENA DI GEMMANO	92
UNITÀ DI BILANCIO/ACQUIFERO CALCARI.....	93
CA_DOM - SISTEMA DELLA DORSALE MARCHIGIANA (C_CA_DOM, E_CA_DOM).....	93
CA_ACQ – UNITÀ DI ACQUALAGNA	94
CA_BEL - UNITÀ DI BELLISIO SOLFARE.....	95
ACQUIFERI LOCALI.....	96
LOC_CMC - ALLOCTONO DELLA COLATA DELLA VAL MARECCHIA (CARPEGNA).....	96
LOC_MAM - DEPOSITI TERRIGENI DELLA FORMAZIONE MARNOSO - ARENACEA (MERCATELLO SUL METAURO).....	97

Appendice G

MATERIALI E METODI

I dati utilizzati per le elaborazioni si riferiscono al periodo 2009-2020 e sono relativi alle misure di livello di soggiacenza effettuate con frequenza per lo più semestrale, misurate nei periodi di massima ricarica della falda e di minimo livello.

Per ogni stazione di monitoraggio che presentava un numero minimo di misurazioni maggiore o uguale a 5 sono state calcolate le statistiche descrittive quali la media, il valore minimo e massimo, il 25° e il 75° percentile e il coefficiente di variazione (%), utile per il confronto del grado di variabilità di ciascun punto.

La tendenza dei livelli di ogni singola stazione è stata stimata attraverso una regressione lineare dei dati della serie storica, con la stima del coefficiente angolare della retta di regressione (espressa in metri/anno) e il relativo coefficiente di determinazione R^2 ; l'entità della pendenza della retta (con i rispettivi intervalli di confidenza) è stata rappresentata graficamente per ogni punto di campionamento.

A causa dell'esiguo numero di osservazioni presenti nel Sistema Informativo Arpam la componente tendenziale temporale è stata verificata utilizzando il test non parametrico di Mann-Kendall (2) (3) ad un livello di significatività del 95%; tale test ha il vantaggio di poter essere utilizzato anche in caso di dati mancanti nella serie temporale ed è robusto rispetto alla presenza di eventuali outliers; inoltre, trattandosi di un test non parametrico, non è necessario che l'insieme campionario della serie temporale della variabile di interesse segua una determinata distribuzione statistica.

Le analisi statistiche sono state effettuate utilizzando i software Sas System v.9.3 e ProUCL v.5.0 (4).

ELENCO STAZIONI DI MISURA DELLA SOGGIACENZA

Tabella 1. Statistiche descrittive, regressione lineare dei dati, Indice di determinazione lineare R^2 , test di Mann-Kendall (livello di significatività: 90%) per stazione di campionamento. Alcune stazioni non presentano trend in quanto non hanno un numero di osservazioni sufficiente (≥ 5) per elaborazioni statistiche.

Stazione	CIS	Periodo di osservazione	N oss	Media	Coeff di variazione	Coeff Angolare retta regressione	R 2	p-value *	Trend significativo
070150_PS	AV_ARZ	2010-2019	16	3.8	38.2	0.0000	0.001	0.412	No
070234_AP	AV_ASO	-	4	-	-	-	-	-	-
070176_AP	AV_ASO	-	3	-	-	-	-	-	-
070218_AP	AV_ASO	-	1	-	-	-	-	-	-
070219_AP	AV_ASO	-	3	-	-	-	-	-	-
070223_AP	AV_ASO	-	3	-	-	-	-	-	-
070226_AP	AV_ASO	-	4	-	-	-	-	-	-
070030_AP	AV_ASO	2013-2017	5	7.8	52.8	0.0064	0.750	0.592	No
070220_AP	AV_ASO	2012-2019	5	8.0	32.3	-0.0021	0.614	0.242	No
120069_AN	AV_ASP	-	3	-	-	-	-	-	-
120070_AN	AV_ASP	2012-2019	11	1.3	33.4	0.0001	0.025	0.271	No
120071_AN	AV_ASP	-	3	-	-	-	-	-	-
070009_AN	AV_ASP	2014-2019	12	2.4	68.0	0.0006	0.097	0.190	No
070004_AN	AV_ASP	2012-2019	12	2.7	71.2	0.0003	0.016	0.273	No
120122_AN	AV_ASP	2015-2019	7	0.9	28.5	-0.0003	0.437	0.191	No
120121_AN	AV_ASP	2014-2019	8	2.4	37.5	0.0006	0.136	0.119	No
120086_AN	AV_ASP	2012-2019	11	1.3	36.1	0.0003	0.346	0.043	Crescente
070194_PS	AV_CAN	2010-2019	14	7.6	16.3	0.0003	0.059	0.165	No
070006_PS	AV_CAN	2013-2017	10	5.3	77.6	-0.0043	0.533	0.242	No

Appendice G

Stazione	CIS	Periodo di osservazione	N oss	Media	Coeff di variazione	Coeff Angolare retta regressione	R 2	p-value *	Trend significativo
070381_PS	AV_CES	2010-2019	19	10.7	6.9	0.0003	0.229	0.034	Crescente
070129_AN	AV_CES	2014-2020	10	9.8	4.2	0.0002	0.079	0.500	No
070060_PS	AV_CES	-	3	-	-	-	-	-	-
070380_PS	AV_CES	2010-2019	17	11.5	29.1	-0.0001	0.001	0.220	No
070011_PS	AV_CES	2009-2019	17	8.1	19.9	0.0003	0.031	0.174	No
070126_AN	AV_CES	2015-2020	9	7.9	4.3	0.0003	0.319	0.238	No
070118_MC	AV_CHI	2011-2018	7	37.6	21.6	-0.0017	0.043	0.500	No
070035_MC	AV_CHI	-	1	-	-	-	-	-	-
070196_MC	AV_CHI	2012-2018	9	13.7	21.0	-0.0004	0.014	0.460	No
070232_MC	AV_CHI	2014-2018	6	10.2	31.1	-0.0038	0.406	0.235	No
120075_MC	AV_CHI	2012-2018	13	6.7	17.5	0.0001	0.004	0.383	No
070106_MC	AV_CHI	2012-2018	8	11.3	31.1	0.0003	0.004	0.548	No
120366_MC	AV_CHI	2012-2018	12	6.5	12.8	0.0004	0.120	0.319	No
070240_AP	AV_CHI	-	3	-	-	-	-	-	-
070005_MC	AV_CHI	2014-2018	6	15.7	55.4	-0.0092	0.324	0.136	No
070013_MC	AV_CHI	2013-2018	7	10.2	14.6	0.0001	0.003	0.281	No
070018_MC	AV_CHI	2013-2018	6	10.7	10.7	0.0000	0.001	0.360	No
120067_MC	AV_CHI	2012-2019	12	8.0	14.9	0.0000	0.000	0.420	No
070083_MC	AV_CHI	-	2	-	-	-	-	-	-
070265_PS	AV_CON	2012-2019	13	4.9	10.5	0.0000	0.000	0.476	No
070169_AN	AV_ESI	2012-2019	9	28.1	1.3	-0.0001	0.034	0.238	No
120068_AN	AV_ESI	2012-2019	11	10.1	8.4	0.0003	0.062	0.141	No
120359_MC	AV_ESI	-	1	-	-	-	-	-	-
120066_AN	AV_ESI	-	4	-	-	-	-	-	-
120074_AN	AV_ESI	2012-2019	10	2.6	26.6	-0.0002	0.084	0.364	No
120075_AN	AV_ESI	2012-2019	11	11.8	6.2	-0.0001	0.005	0.381	No
120083_AN	AV_ESI	2012-2019	12	12.8	9.0	0.0010	0.598	0.098	Crescente
120088_AN	AV_ESI	2012-2019	12	6.2	10.1	-0.0002	0.115	0.098	Decrescente
120114_AN	AV_ESI	2012-2019	11	18.4	10.1	-0.0011	0.264	0.030	Decrescente
120124_AN	AV_ESI	2016-2019	5	25.1	8.0	-0.0017	0.127	0.408	No
120067_AN	AV_ESI	2012-2019	11	11.0	10.7	0.0002	0.021	0.141	No
070077_AN	AV_ESI	2012-2019	13	6.7	8.9	-0.0003	0.139	0.064	Decrescente
070112_AN	AV_ESI	2012-2019	12	6.3	30.1	-0.0007	0.087	0.125	No
070261_AN	AV_ESI	2012-2019	11	4.3	10.7	0.0000	0.001	0.381	No
070052_AN	AV_ESI	2012-2019	12	1.8	21.8	0.0000	0.011	0.319	No
070193_MC	AV_ESI	-	2	-	-	-	-	-	-
070055_AN	AV_ESI	2012-2019	12	4.0	14.3	0.0000	0.000	0.369	No
070247_AN	AV_ESI	2014-2019	8	8.3	5.5	0.0004	0.218	0.119	No
070262_AN	AV_ESI	2012-2019	11	4.4	17.3	-0.0005	0.370	0.043	Decrescente
120059_AN	AV_ESI	2012-2019	12	8.9	7.5	-0.0002	0.091	0.031	Decrescente
070271_AP	AV_ETV	-	3	-	-	-	-	-	-
070270_PS	AV_FOG	2010-2019	18	4.3	19.0	0.0002	0.045	0.205	No
070000_PS	AV_FOG	2010-2019	18	8.1	14.1	-0.0004	0.148	0.184	No
070355_PS	AV_FOG	2013-2017	8	1.0	0.0	n.c.	n.c.	0.548	No
070154_PS	AV_FOG	2010-2019	16	6.1	13.8	-0.0001	0.016	0.253	No
070130_PS	AV_FOG	2010-2019	18	7.8	11.0	0.0000	0.000	0.411	No
070085_PS	AV_FOG	2010-2019	17	2.5	25.1	0.0000	0.002	0.484	No
070105_AP	AV_MEN	2013-2017	6	4.3	83.4	-0.0051	0.725	0.068	Decrescente

Appendice G

Stazione	CIS	Periodo di osservazione	N oss	Media	Coeff di variazione	Coeff Angolare retta regressione	R 2	p-value *	Trend significativo
070192_PS	AV_MET	2010-2019	16	3.1	12.6	-0.0001	0.021	0.175	No
070204_PS	AV_MET	2018-2019	5	8.8	13.6	0.0021	0.109	0.408	No
070435_PS	AV_MET	2014-2019	11	4.8	22.2	0.0009	0.346	0.030	Crescente
070118_PS	AV_MET	2010-2019	19	10.9	10.9	0.0002	0.047	0.184	No
070063_PS	AV_MET	2010-2019	19	10.7	7.7	0.0001	0.014	0.473	No
070048_PS	AV_MET	2010-2019	14	3.3	23.0	-0.0002	0.042	0.117	No
070150_AN	AV_MIS	2012-2019	12	5.4	9.9	0.0002	0.086	0.420	No
070147_AN	AV_MIS	2012-2019	11	5.1	14.9	-0.0003	0.117	0.043	Decrescente
070246_AN	AV_MIS	2012-2019	10	5.2	14.1	-0.0006	0.329	0.078	Decrescente
070101_AN	AV_MIS	2012-2019	11	8.0	14.4	0.0000	0.000	0.381	No
070136_AN	AV_MIS	2012-2019	12	6.2	6.3	-0.0001	0.085	0.527	No
120065_AN	AV_MIS	2012-2020	12	9.7	6.3	0.0002	0.082	0.319	No
120116_AN	AV_MIS	2012-2020	11	3.1	59.0	-0.0005	0.047	0.440	No
120072_AN	AV_MIS	2012-2017	8	3.9	9.1	0.0001	0.067	0.360	No
120064_AN	AV_MIS	2012-2020	13	5.1	14.4	-0.0001	0.008	0.476	No
070029_AN	AV_MUS	2012-2019	10	7.3	21.4	-0.0006	0.105	0.146	No
120061_AN	AV_MUS	2012-2019	11	5.9	58.1	0.0025	0.399	0.109	No
120115_AN	AV_MUS	2012-2019	12	13.1	17.5	-0.0001	0.001	0.369	No
070224_AN	AV_MUS	-	2	-	-	-	-	-	-
120120_AN	AV_MUS	2014-2019	9	9.7	5.5	0.0002	0.051	0.306	No
070012_AN	AV_MUS	2012-2019	10	4.1	31.2	0.0003	0.046	0.242	No
070086_MC	AV_POT	-	2	-	-	-	-	-	-
070065_MC	AV_POT	-	2	-	-	-	-	-	-
120360_MC	AV_POT	2012-2018	10	10.8	8.9	0.0003	0.071	0.431	No
120352_MC	AV_POT	2012-2018	10	2.4	17.7	0.0001	0.014	0.242	No
070144_MC	AV_POT	2012-2018	10	6.2	21.9	0.0006	0.096	0.364	No
120362_MC	AV_POT	2012-2018	12	8.8	20.2	0.0002	0.004	0.473	No
120746_MC	AV_POT	2012-2018	12	5.2	16.5	0.0005	0.166	0.319	No
070160_MC	AV_POT	2012-2018	9	7.1	101.6	0.0076	0.634	0.179	No
070183_MC	AV_POT	2012-2018	8	3.7	33.6	0.0005	0.146	0.274	No
120368_MC	AV_POT	-	2	-	-	-	-	-	-
070155_MC	AV_POT	2012-2018	10	4.6	35.1	0.0010	0.260	0.078	Crescente
120364_MC	AV_POT	2012-2018	9	6.5	14.4	0.0007	0.412	0.060	Crescente
070293_PS	AV_TAV	-	4	-	-	-	-	-	-
070044_AP	AV_TEN	-	3	-	-	-	-	-	-
070235_AP	AV_TEN	-	4	-	-	-	-	-	-
070247_AP	AV_TEN	-	3	-	-	-	-	-	-
070441_AP	AV_TEN	-	4	-	-	-	-	-	-
070440_AP	AV_TEN	-	1	-	-	-	-	-	-
070203_AP	AV_TES	2013-2017	6	8.3	79.1	-0.0104	0.911	0.235	No
070214_AP	AV_TES	2012-2017	7	4.4	66.7	0.0021	0.169	0.191	No
070233_AP	AV_TRO	2013-2017	7	2.3	20.3	0.0002	0.042	0.386	No
070212_AP	AV_TRO	2012-2017	7	3.9	46.0	-0.0009	0.081	0.386	No
070188_AP	AV_TRO	2013-2017	6	8.2	81.4	-0.0009	0.006	0.500	No
070158_AP	AV_TRO	2013-2017	7	1.7	27.6	-0.0004	0.247	0.500	No
070118_AP	AV_TRO	2013-2017	8	5.3	122.4	0.0041	0.117	0.452	No
070050_PS	AV_VEN	2013-2019	14	5.9	40.6	-0.0002	0.005	0.500	No
070244_AN	C_CA_DOM	-	2	-	-	-	-	-	-

Appendice G

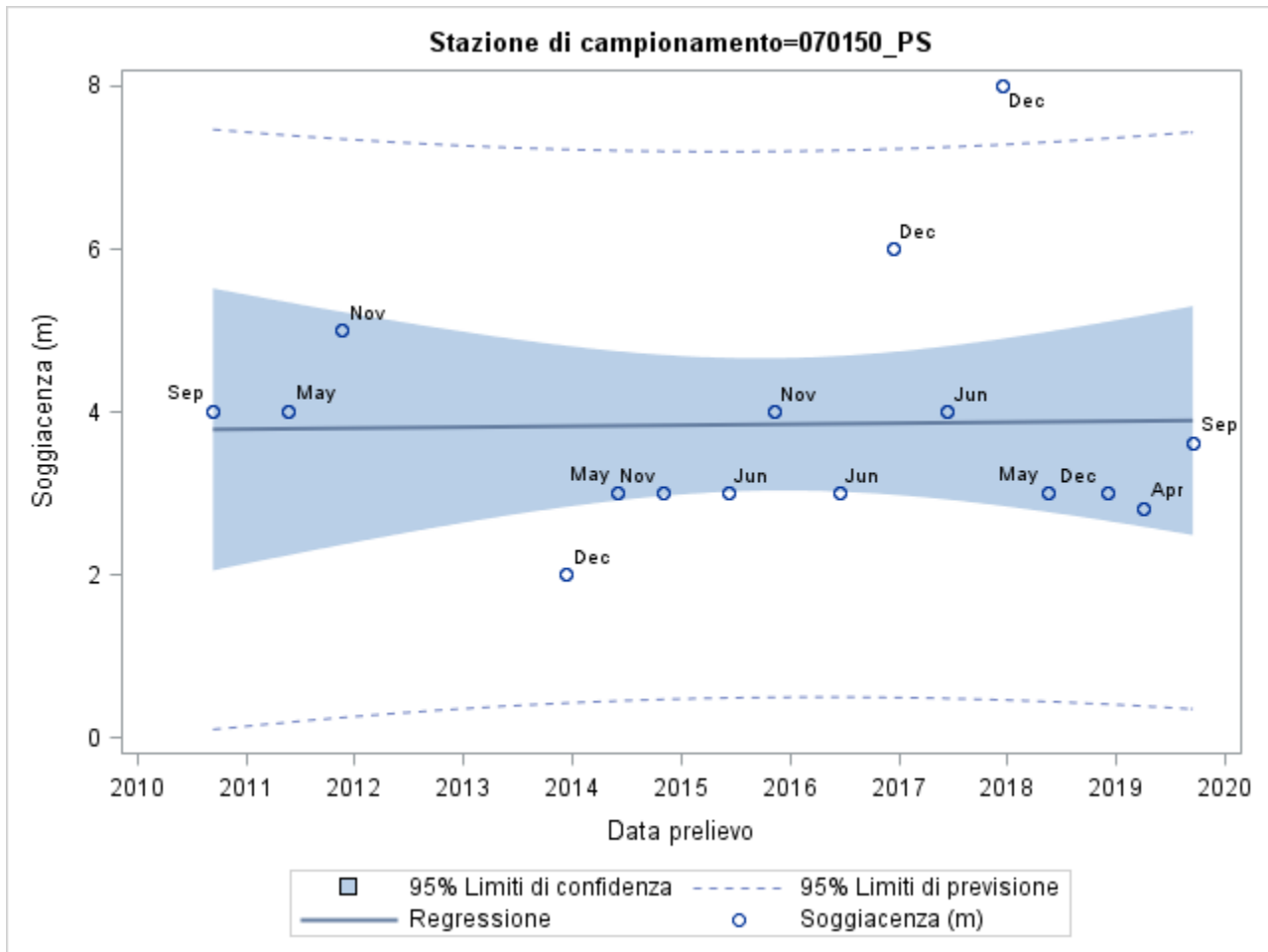
Stazione	CIS	Periodo di osservazione	N oss	Media	Coeff di variazione	Coeff Angolare retta regressione	R 2	p-value *	Trend significativo
070227_AN	C_CA_DOM	2016-2019	6	2.5	70.1	0.0023	0.490	0.136	No
070118_AN	C_CA_DOM	-	2	-	-	-	-	-	-
070373_MC	C_CA_DOM	-	1	-	-	-	-	-	-
070007_PS	CA_ACQ	2013-2019	13	6.5	7.3	0.0003	0.270	0.102	No
070143_PS	CA_BEL	2009-2019	18	7.8	25.2	-0.0009	0.275	0.115	No
070010_AN	CA_CON	-	2	-	-	-	-	-	-
070197_PS	CA_UMS	-	2	-	-	-	-	-	-
070109_AN	CA_UMS	-	2	-	-	-	-	-	-
070185_MC	E_CA_DOM	-	2	-	-	-	-	-	-
070161_PS	LOC_BMU	-	4	-	-	-	-	-	-
070105_PS	LOC_BMU	-	2	-	-	-	-	-	-
060124_PS	LOC_CMC	-	3	-	-	-	-	-	-
070323_PS	LOC_CMC	2010-2019	15	2.9	14.3	0.0001	0.035	0.385	No
060367_PS	LOC_CMC	-	1	-	-	-	-	-	-
070192_AP	LOC_LAG	-	1	-	-	-	-	-	-
070340_PS	LOC_MAM	-	4	-	-	-	-	-	-
070038_PS	LOC_MAM	2011-2019	14	3.5	21.1	-0.0002	0.039	0.334	No

* Test di Mann-Kendall per il calcolo delle tendenze significative, livello di confidenza 90%

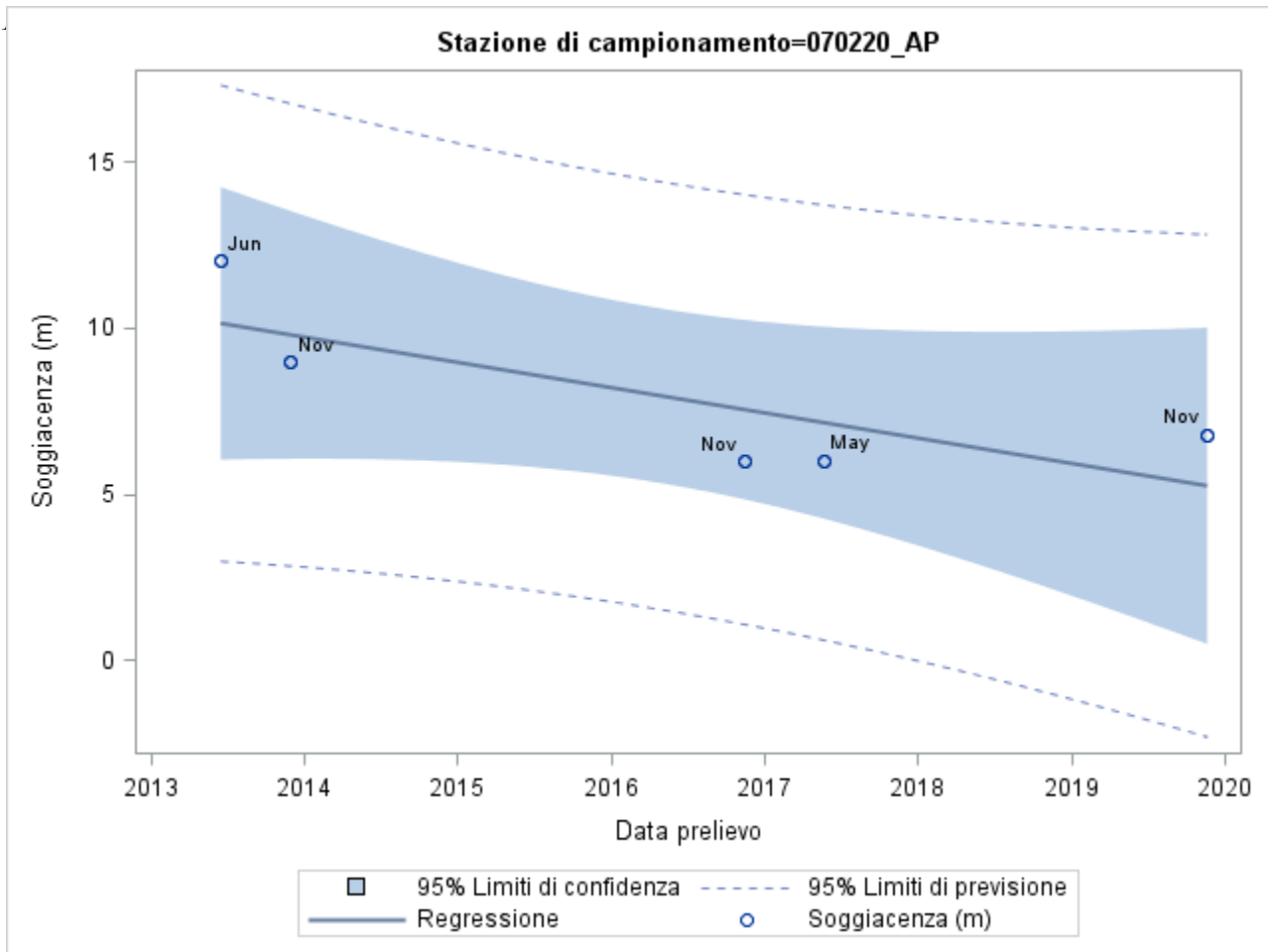
Appendice G

ALLUVIONI VALLIVE

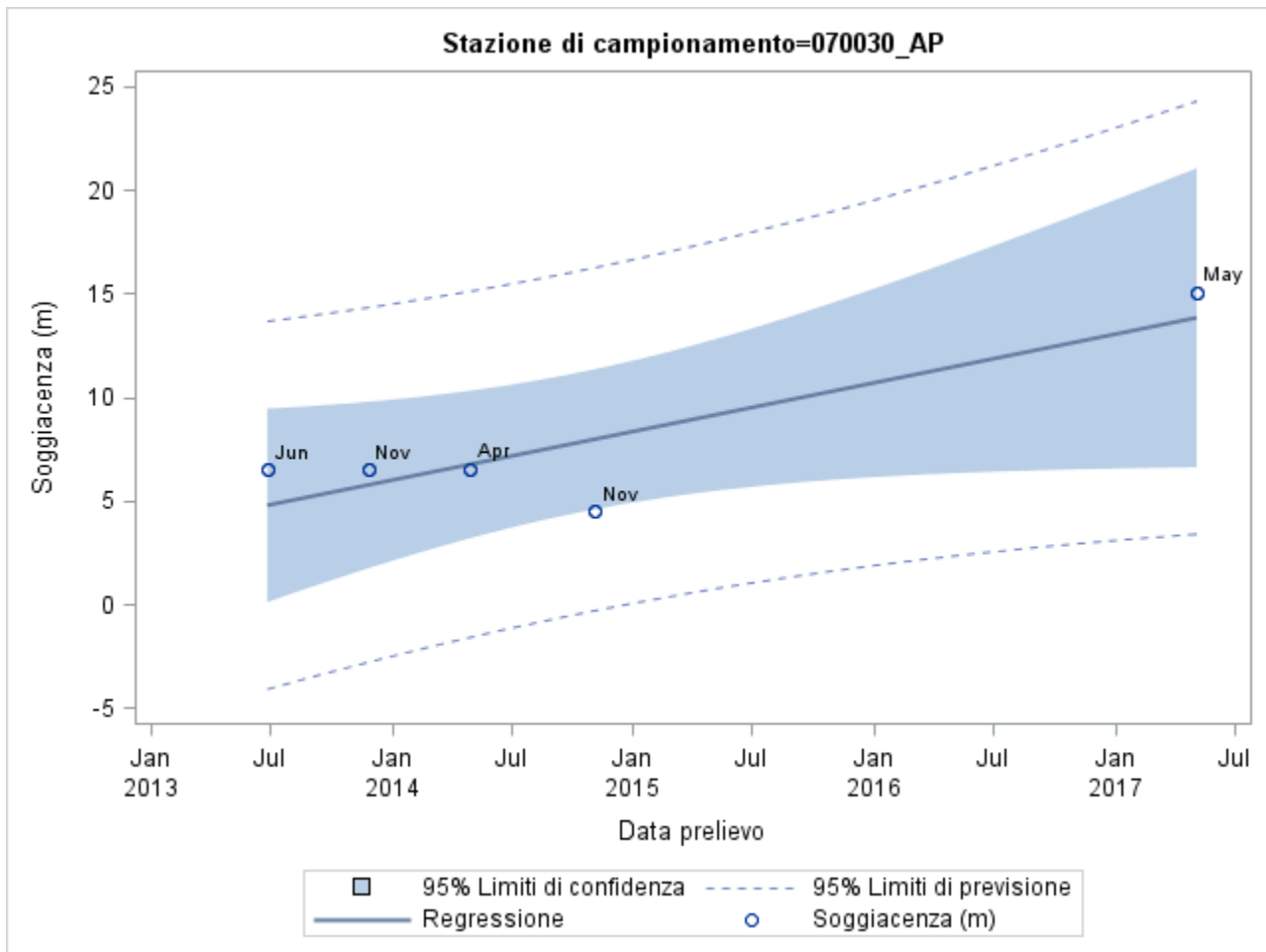
AV_ARZ - ALLUVIONI VALLIVE DEL TORRENTE ARZILLA



Appendice G

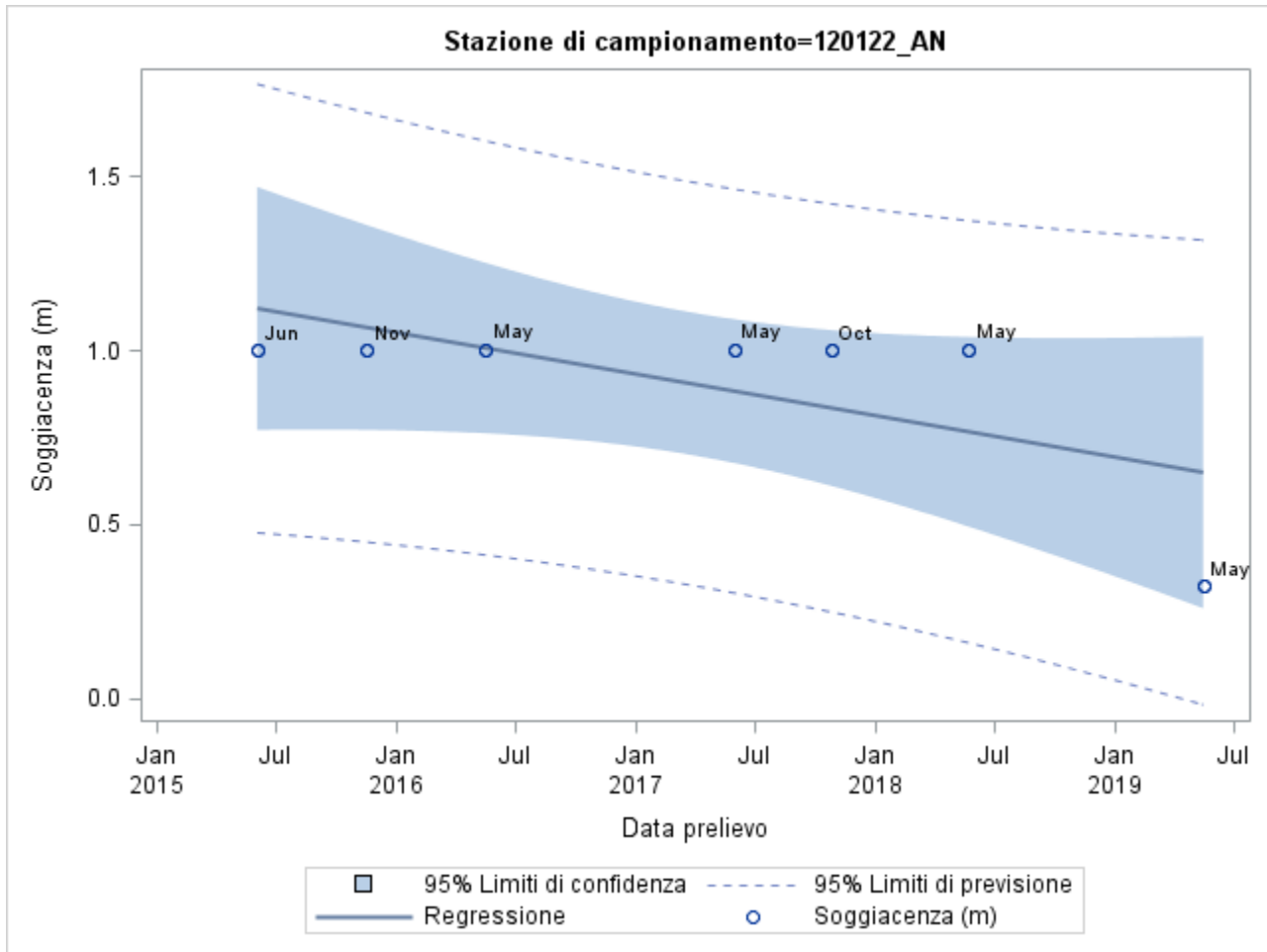


Appendice G

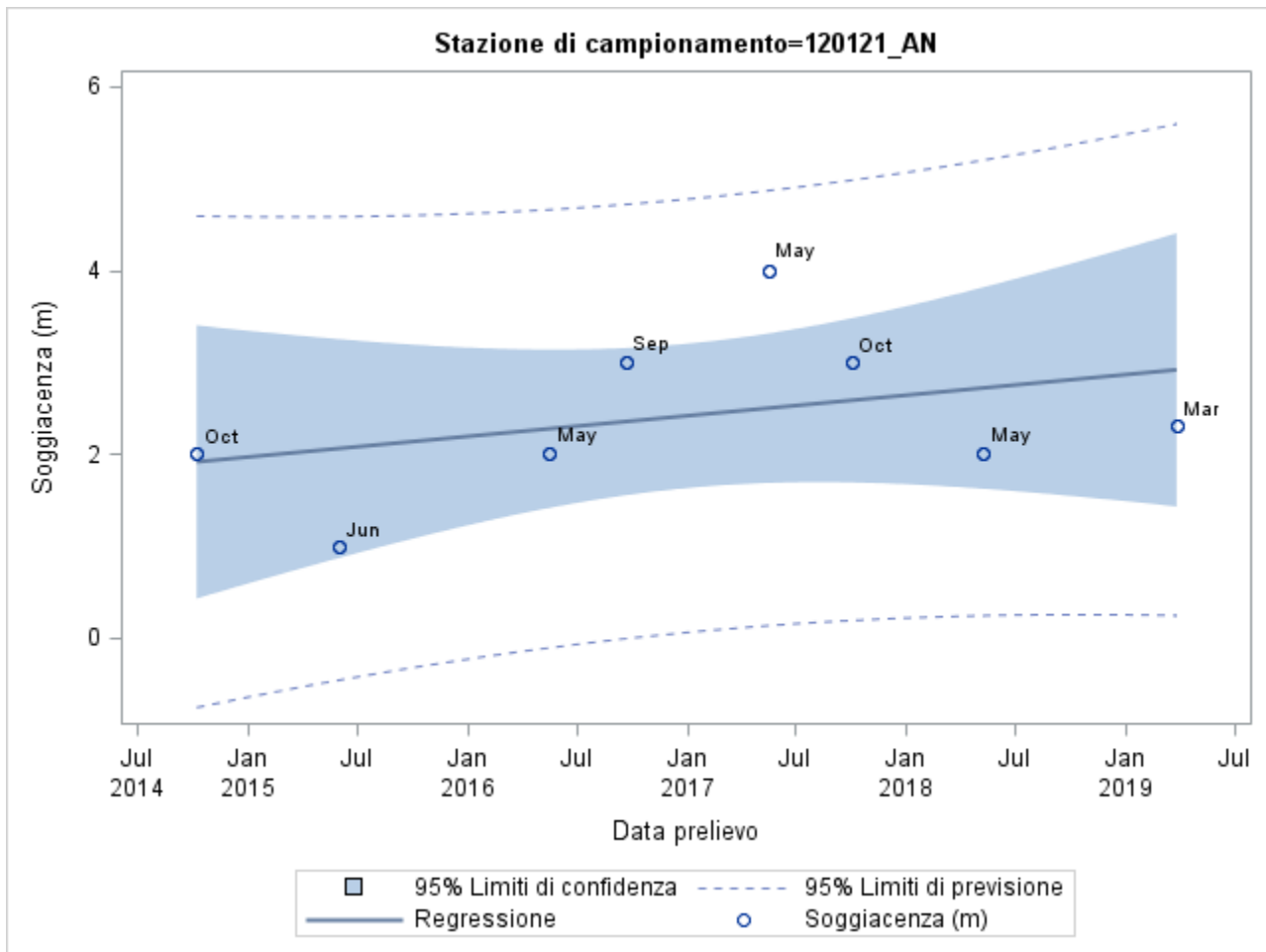


Appendice G

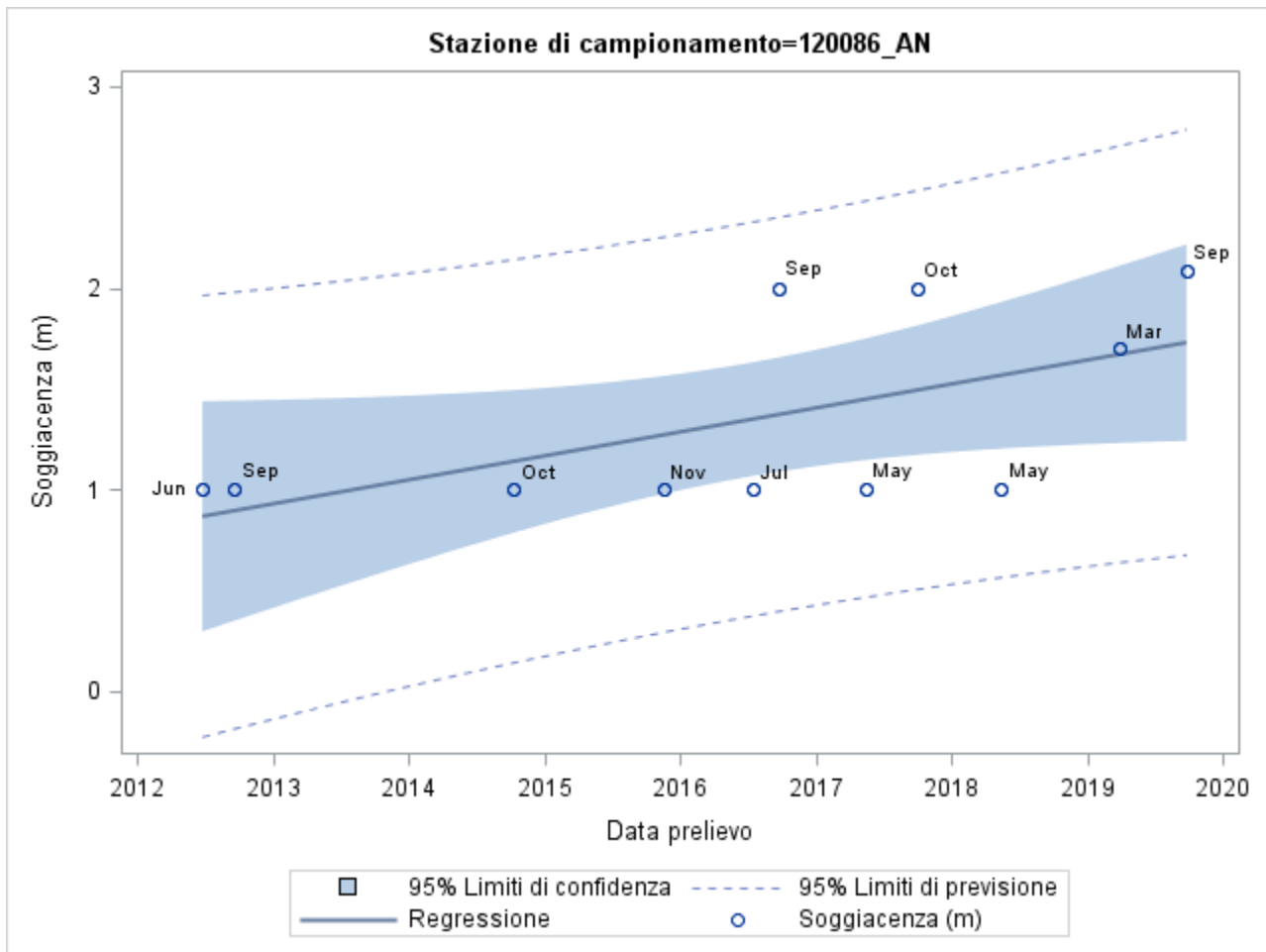
AV_ASP - ALLUVIONI VALLIVE DEL FIUME ASPIO



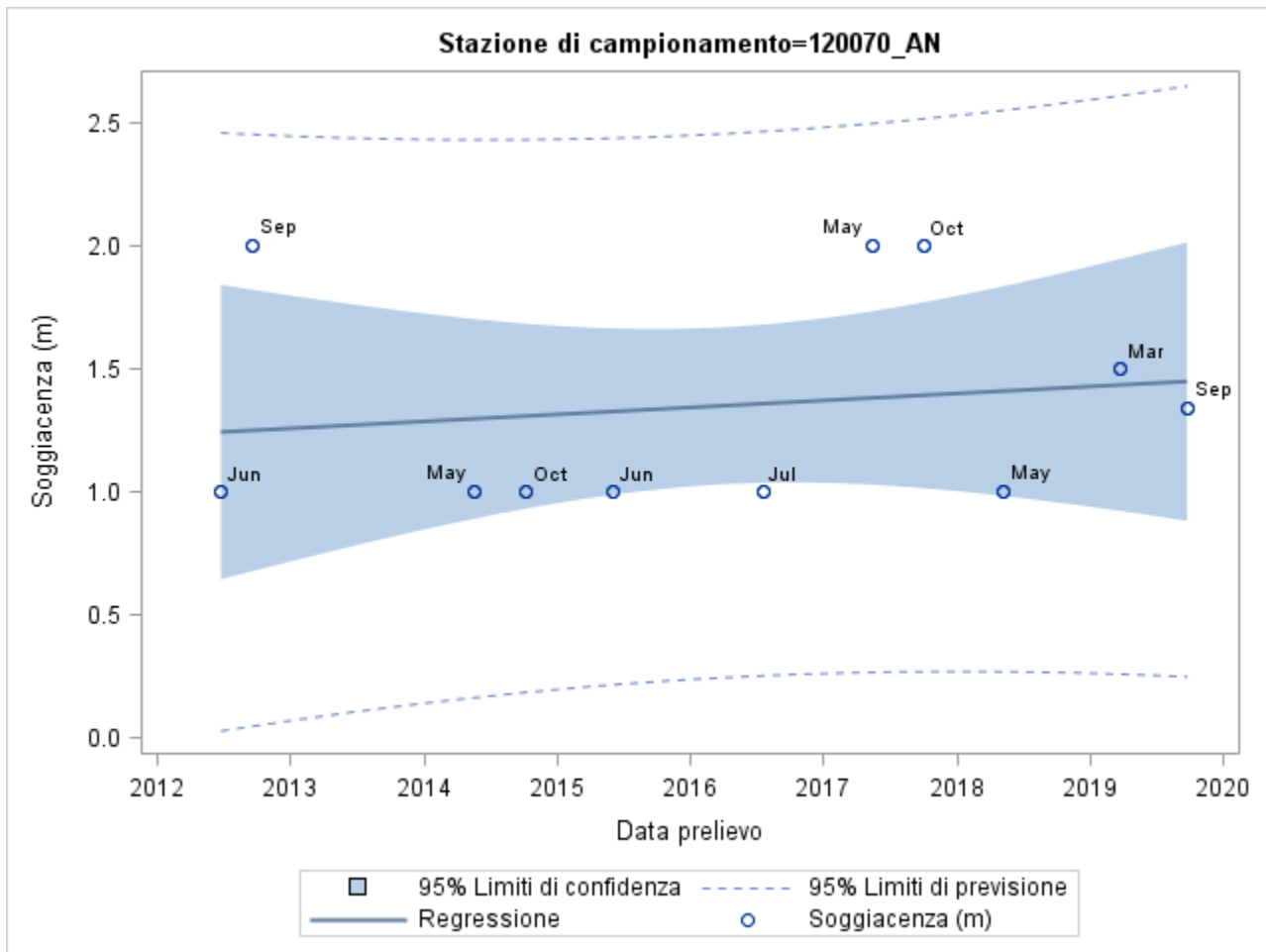
Appendice G



Appendice G

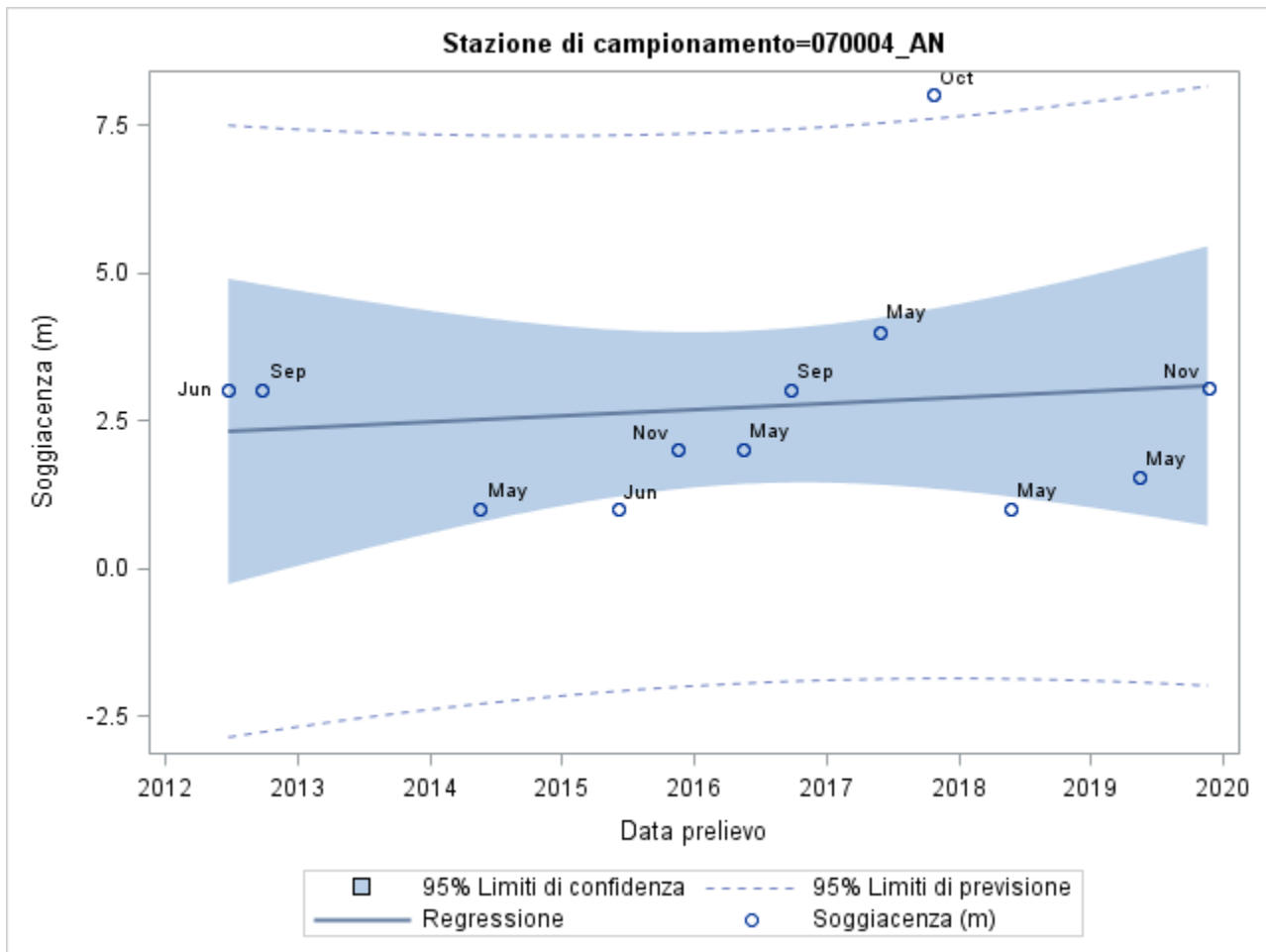


Appendice G

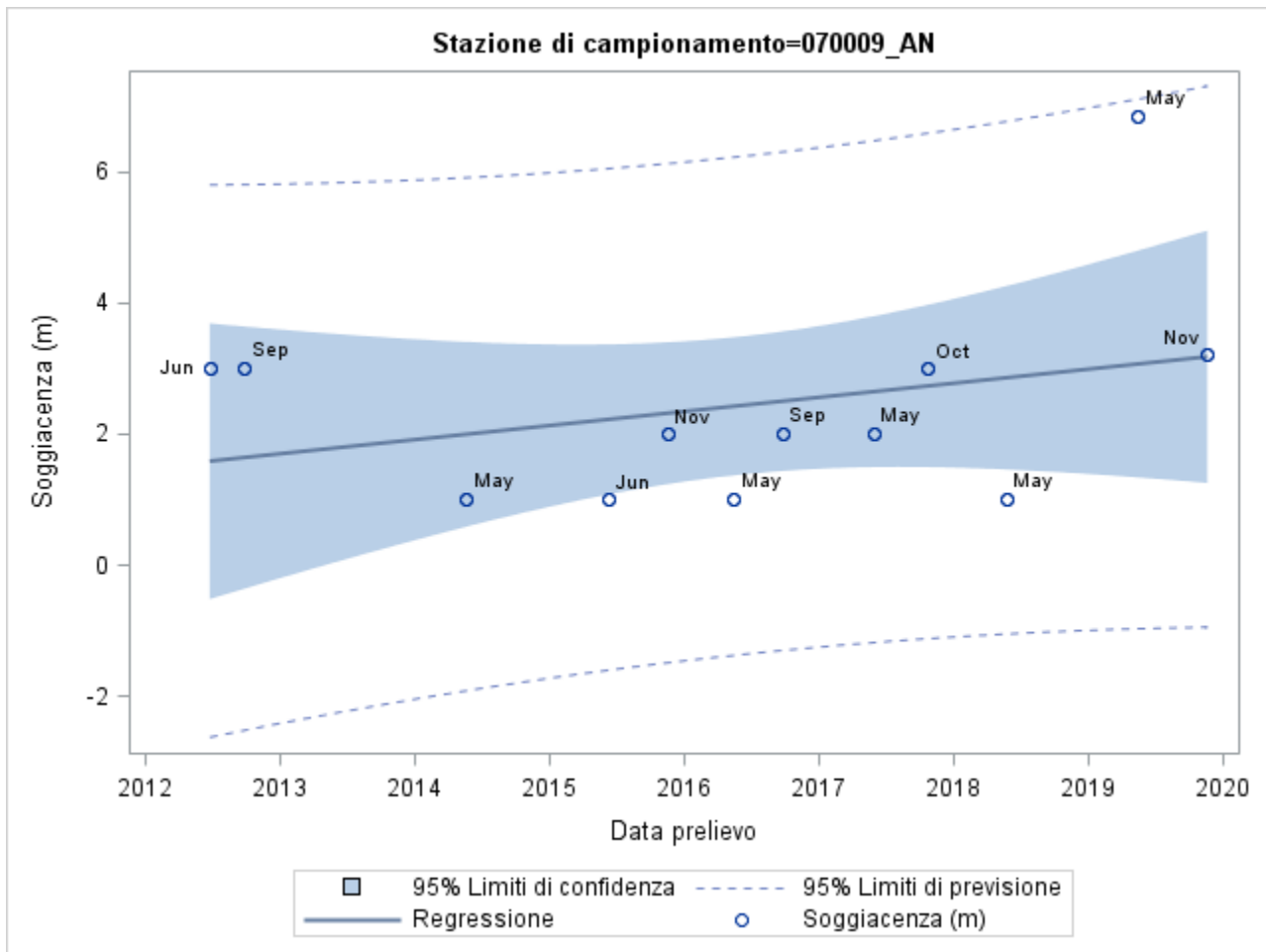


120072

Appendice G

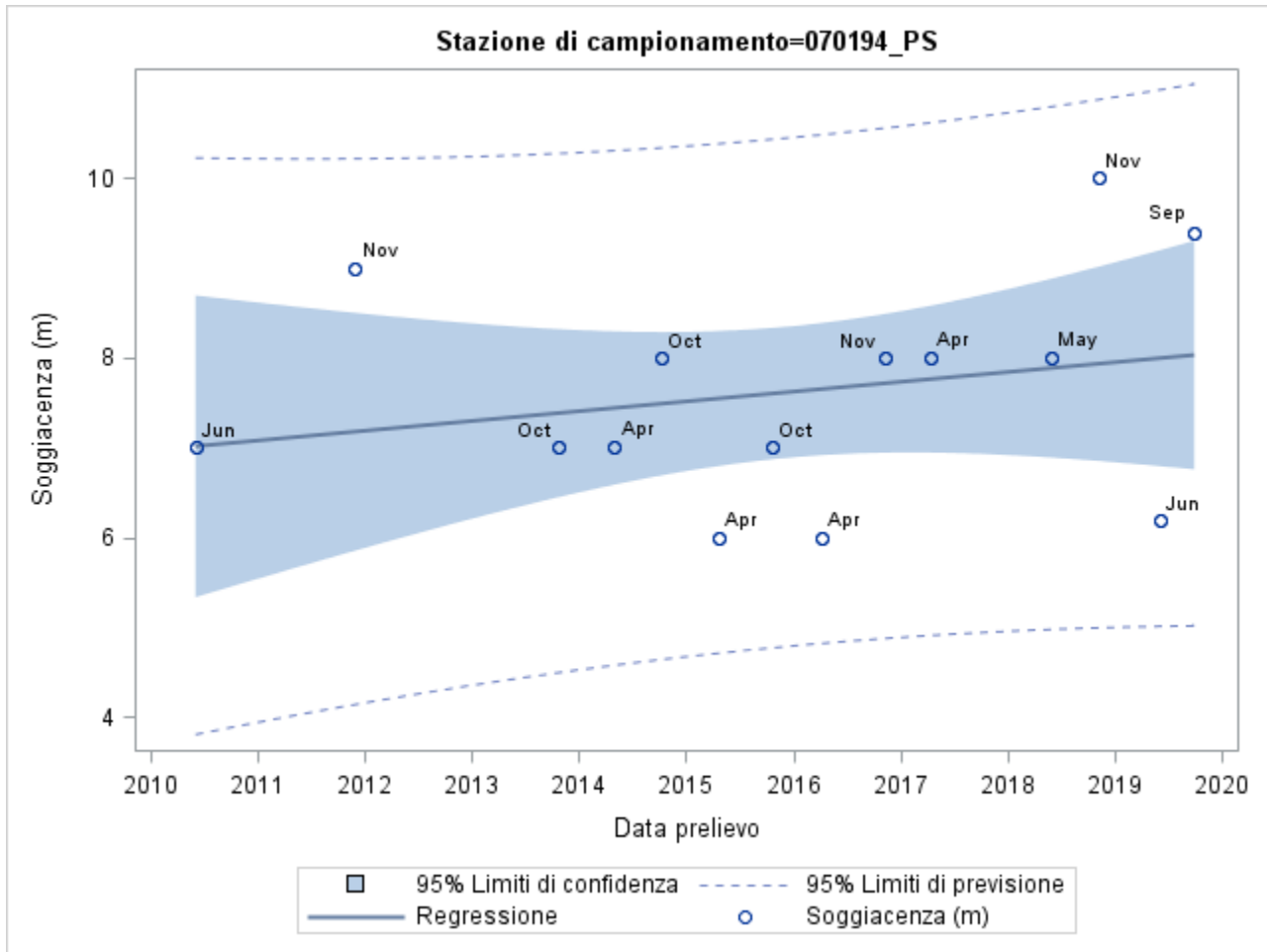


Appendice G

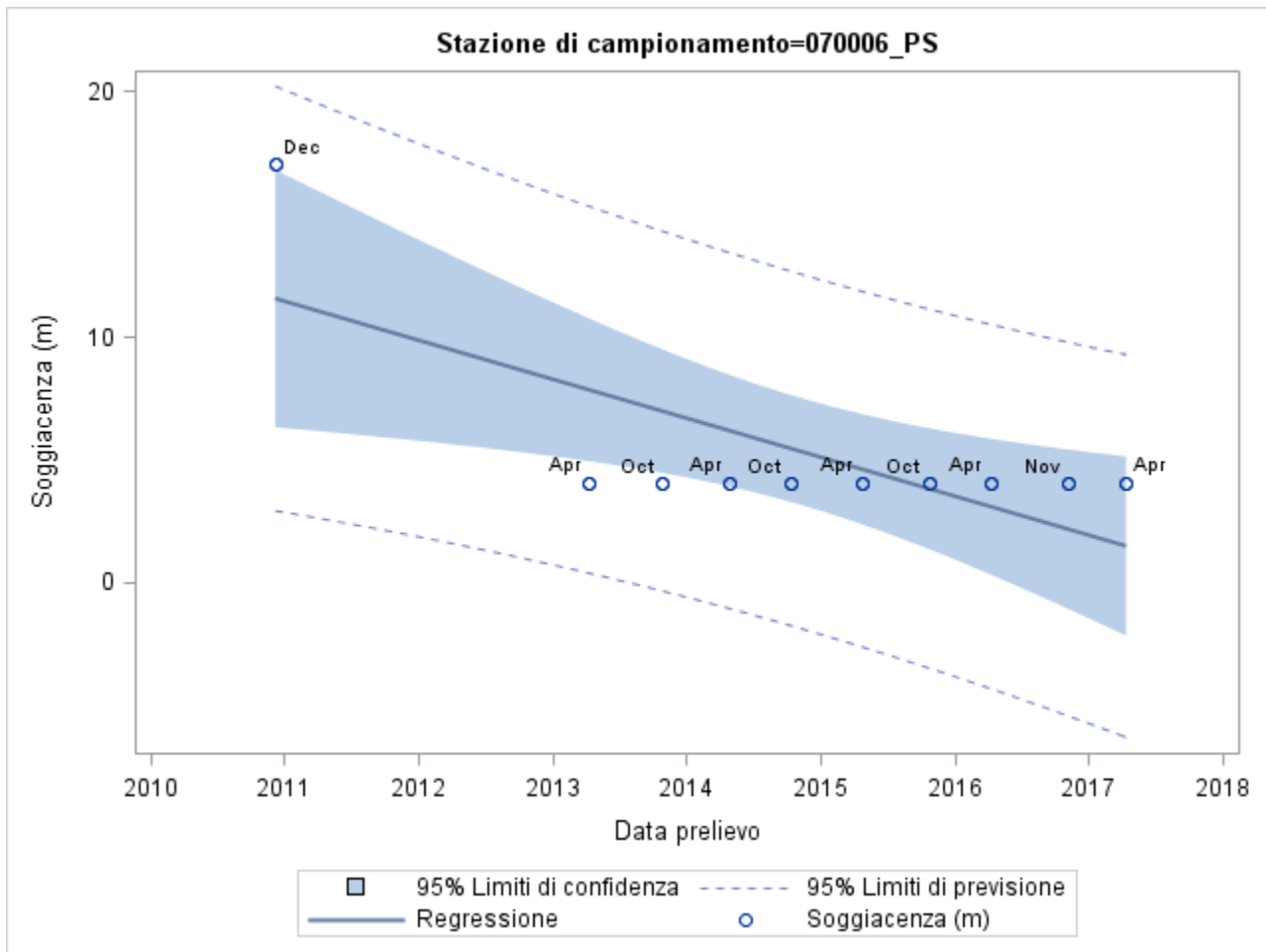


Appendice G

AV_CAN-ALLUVIONI VALLIVE DEL FIUME CANDIGLIANO E DEI SUOI TRIBUTARI

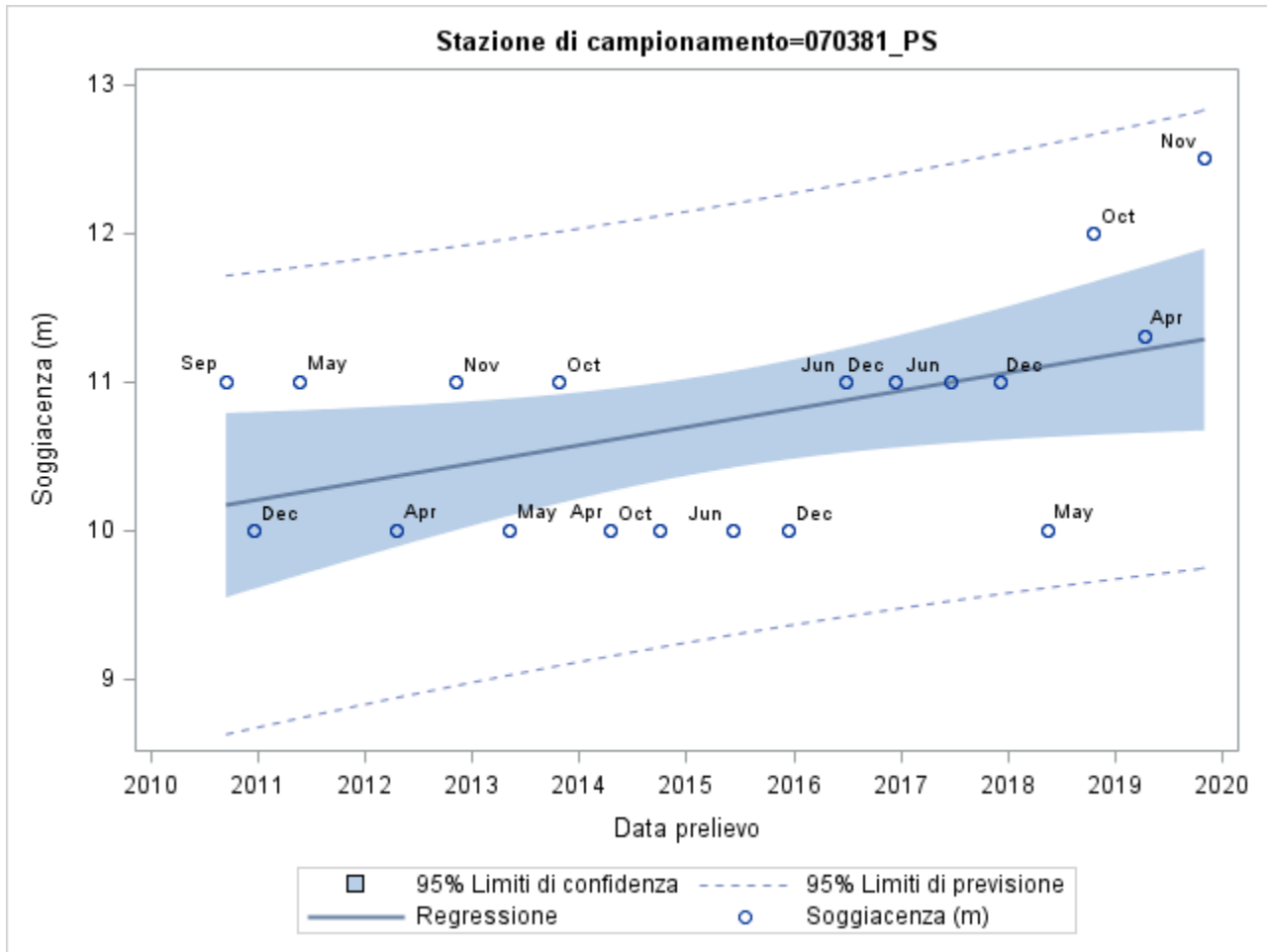


Appendice G

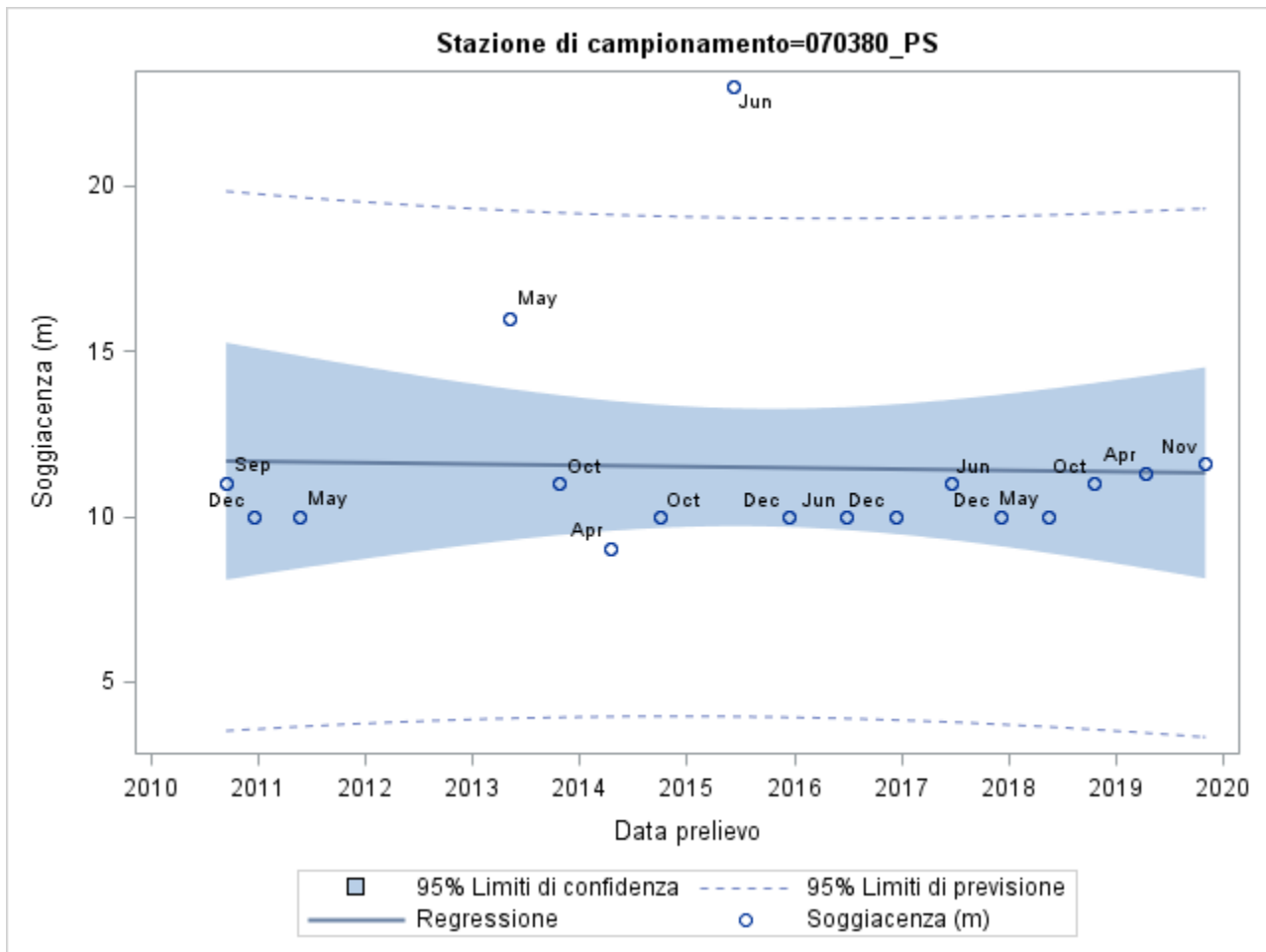


Appendice G

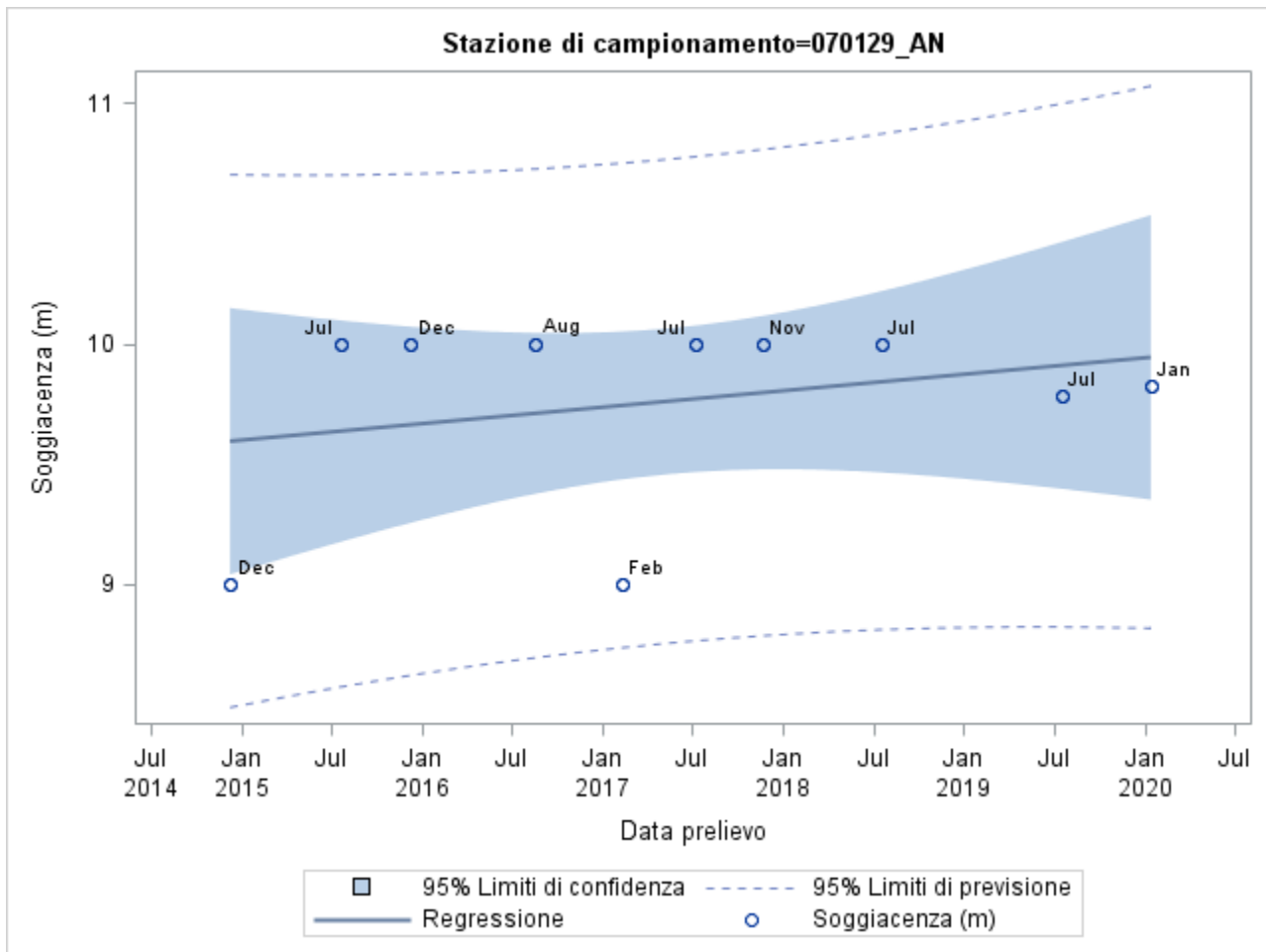
AV_CES-ALLUVIONI VALLIVE DEL FIUME CESANO E DEI SUOI TRIBUTARI



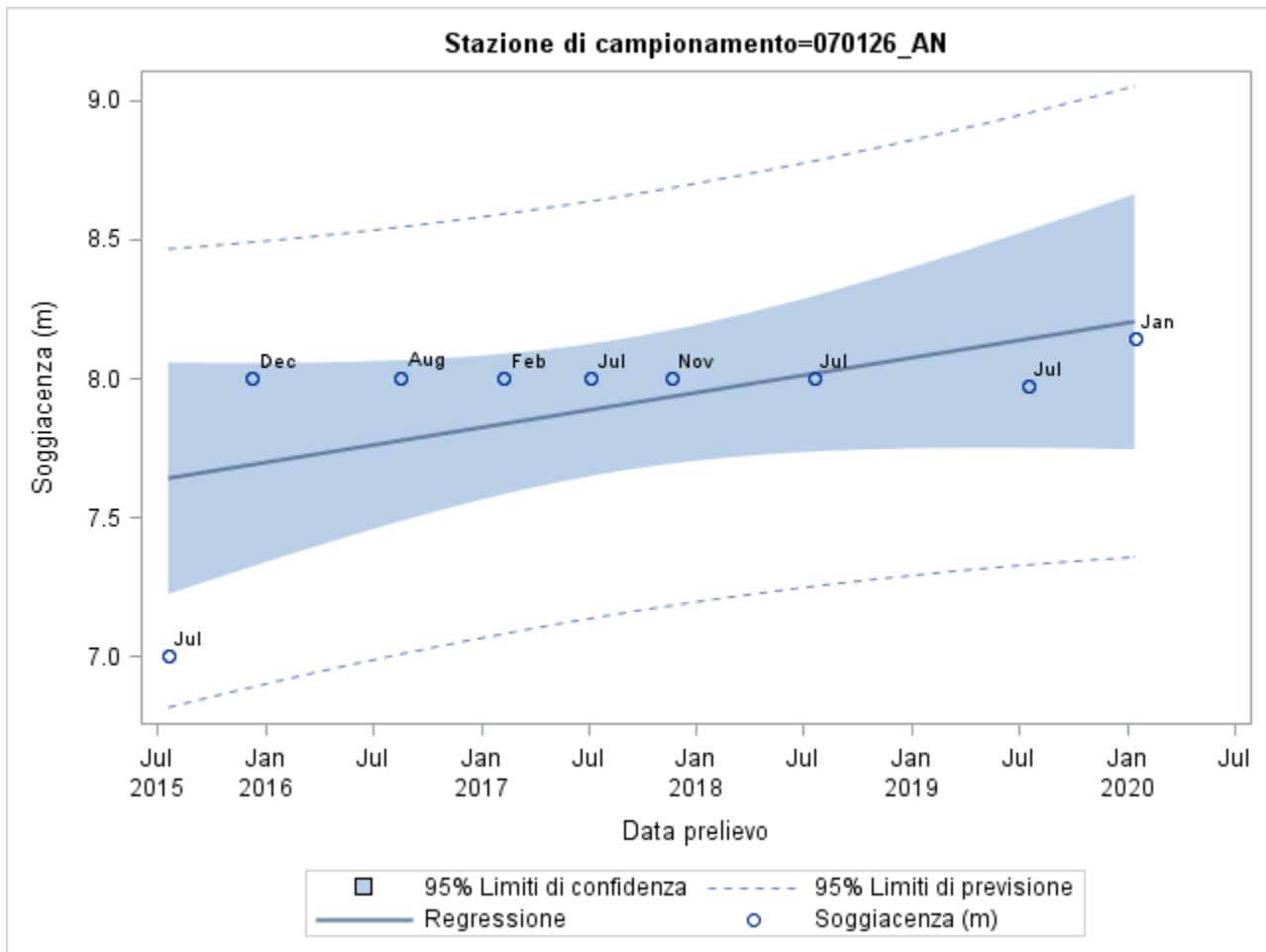
Appendice G



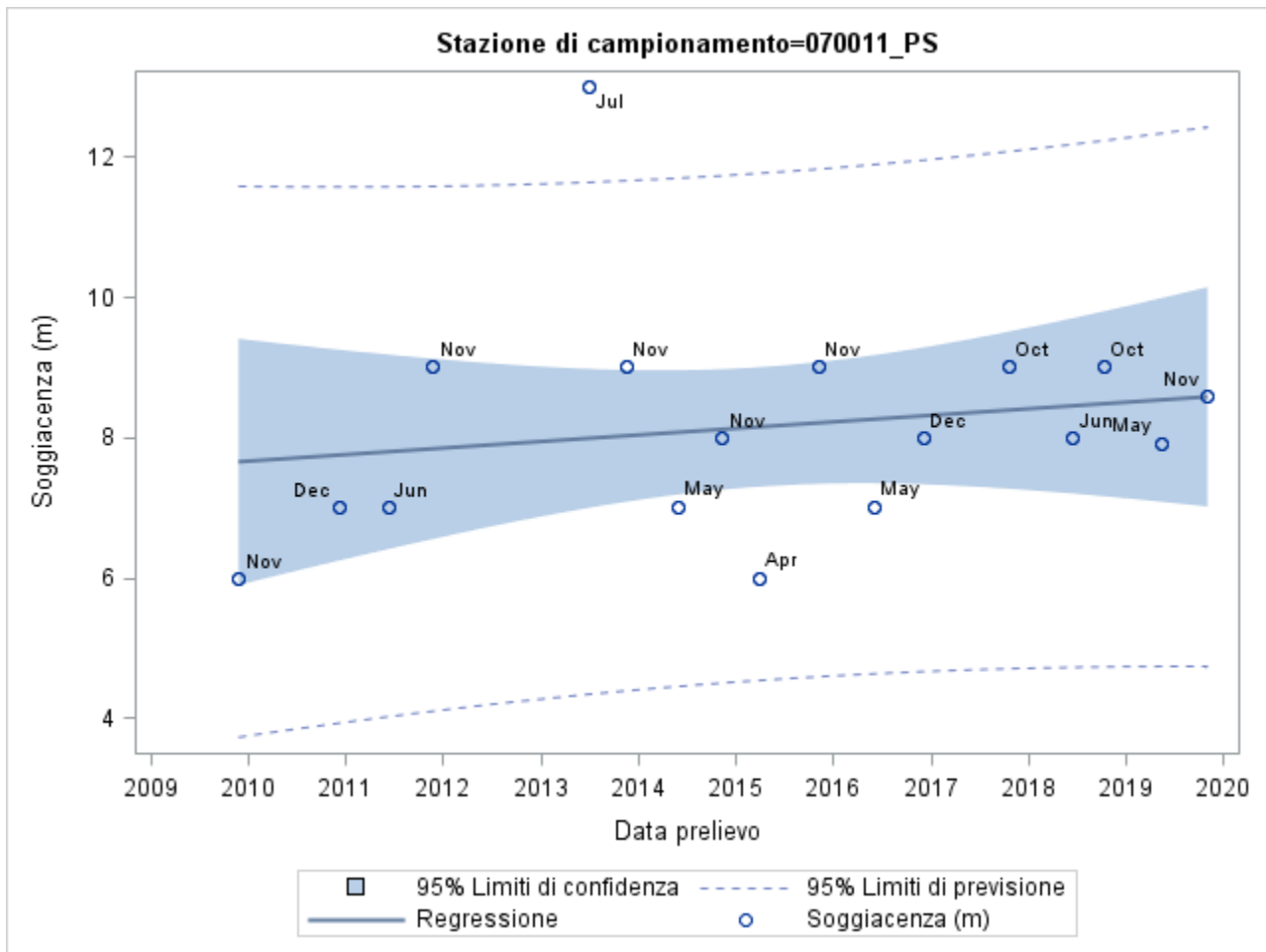
Appendice G



Appendice G

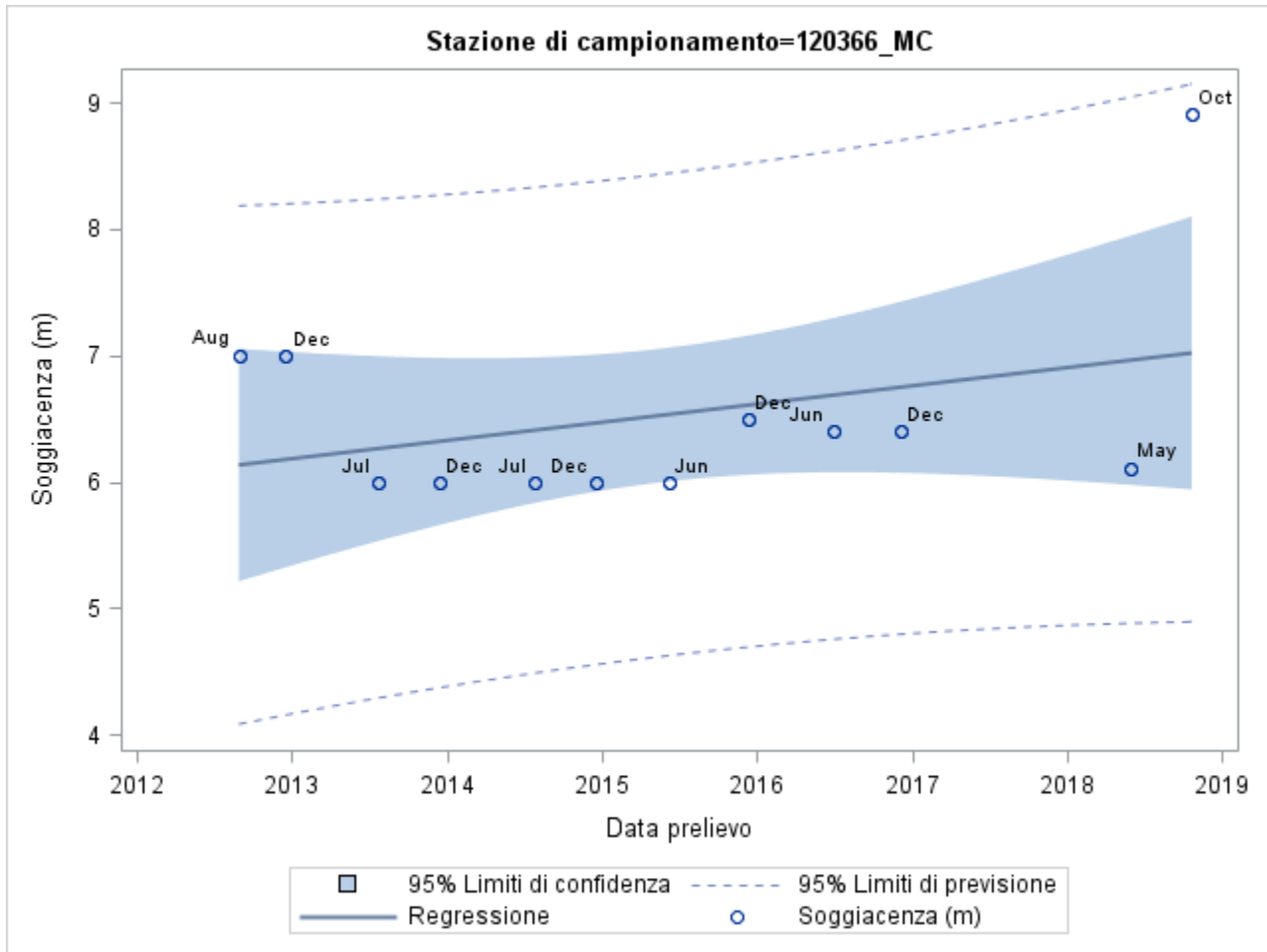


Appendice G

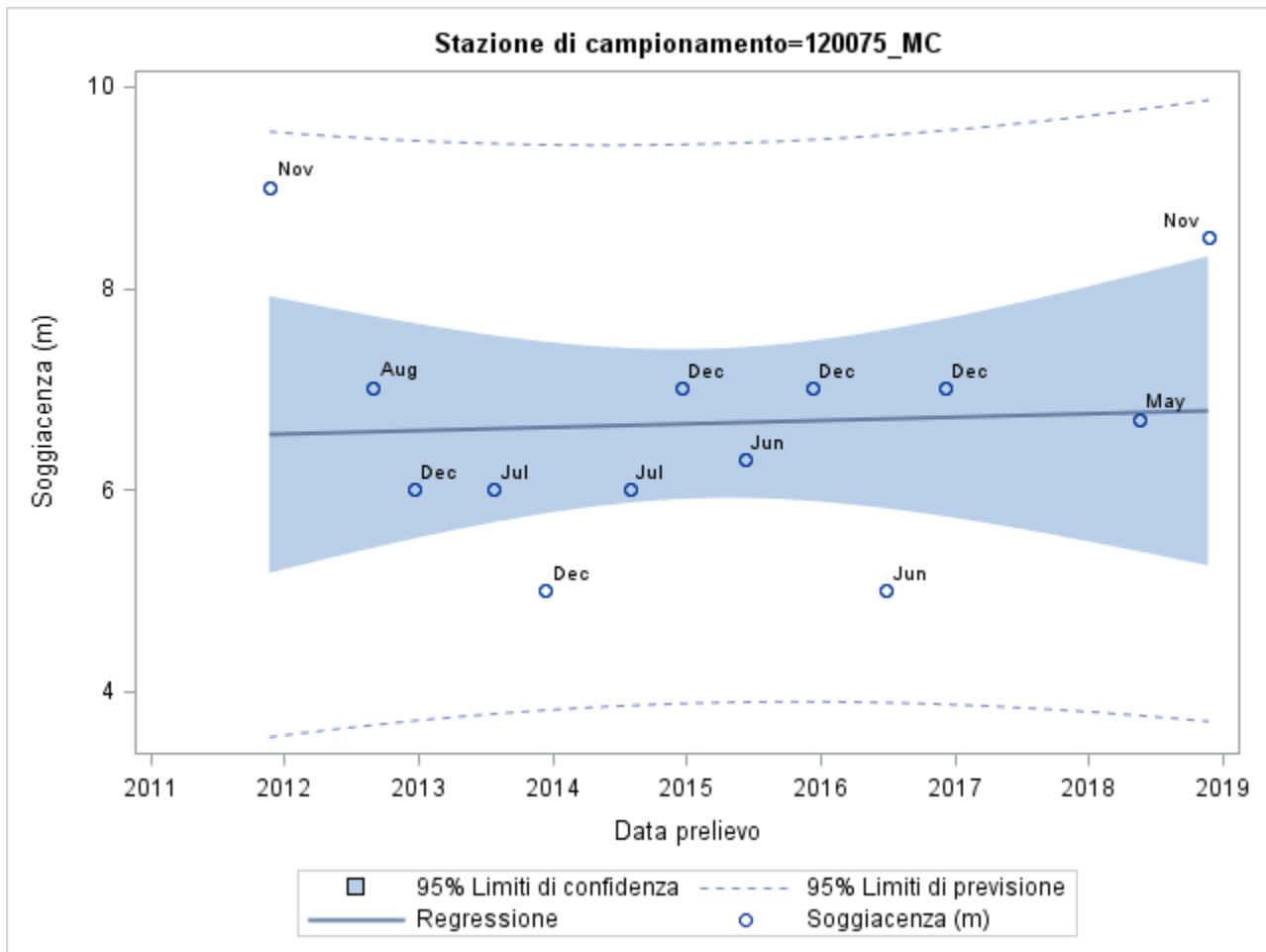


Appendice G

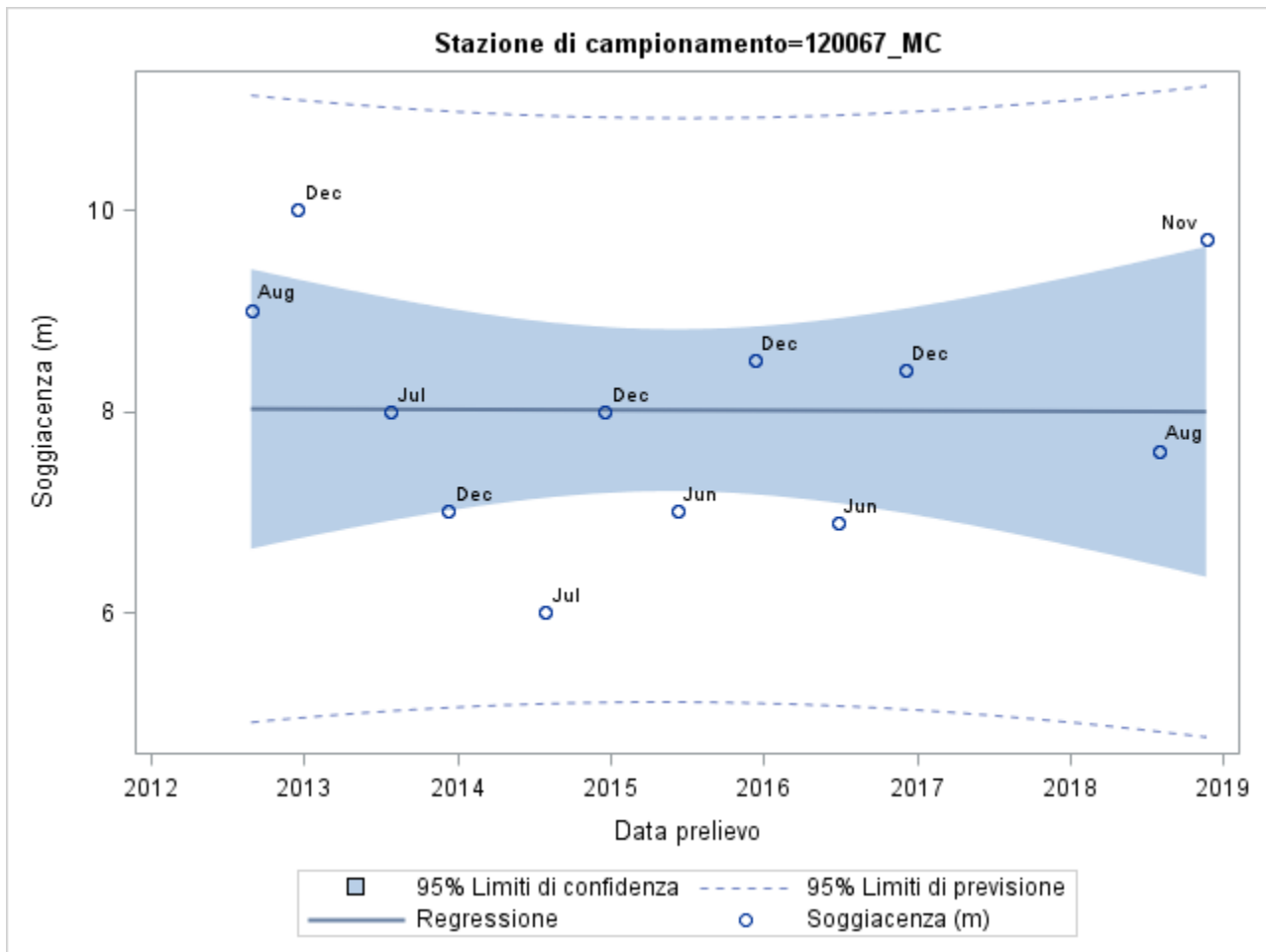
AV_CHI-ALLUVIONI VALLIVE DEL FIUME CHIENZI E DEI SUOI TRIBUTARI



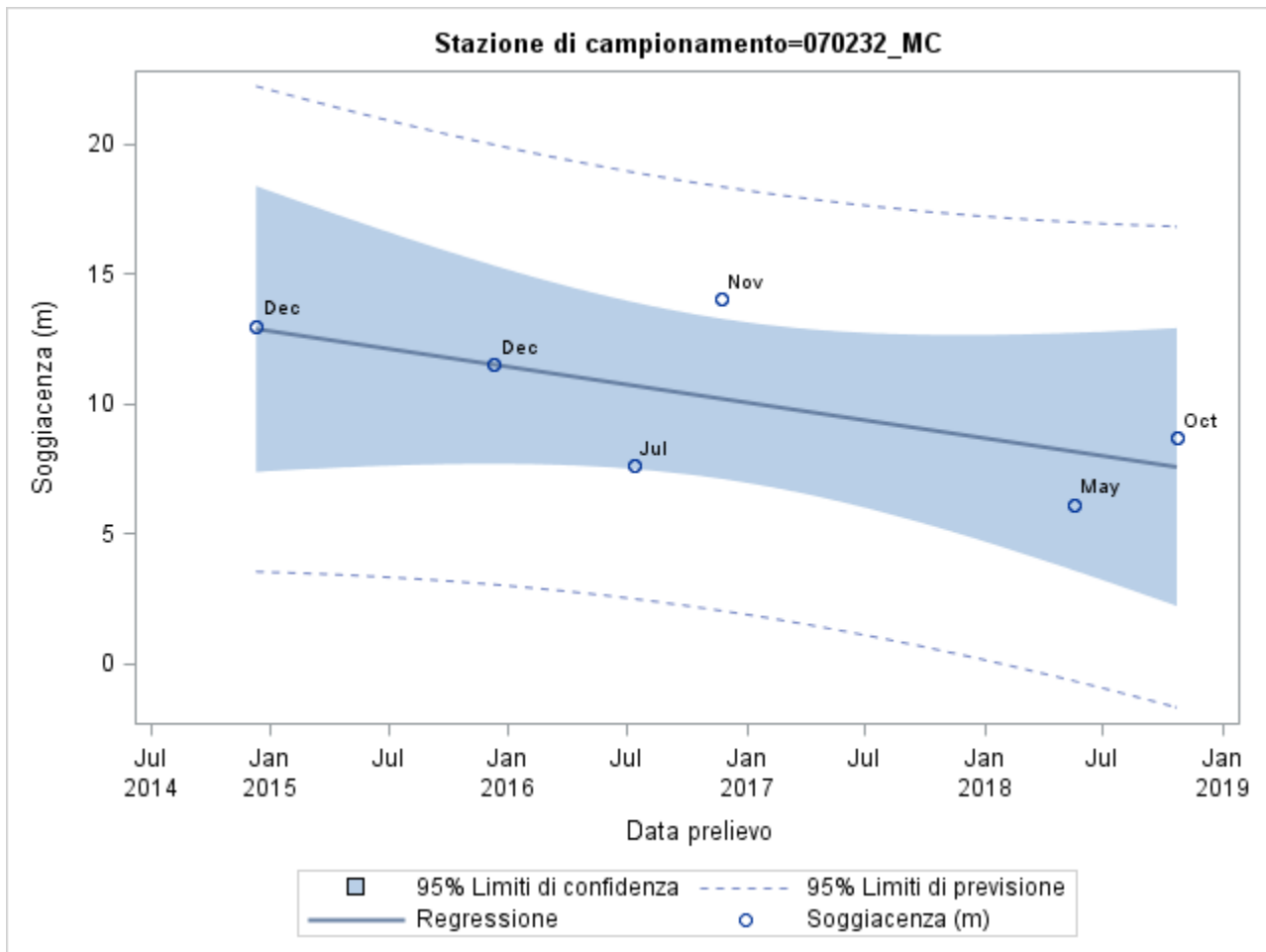
Appendice G



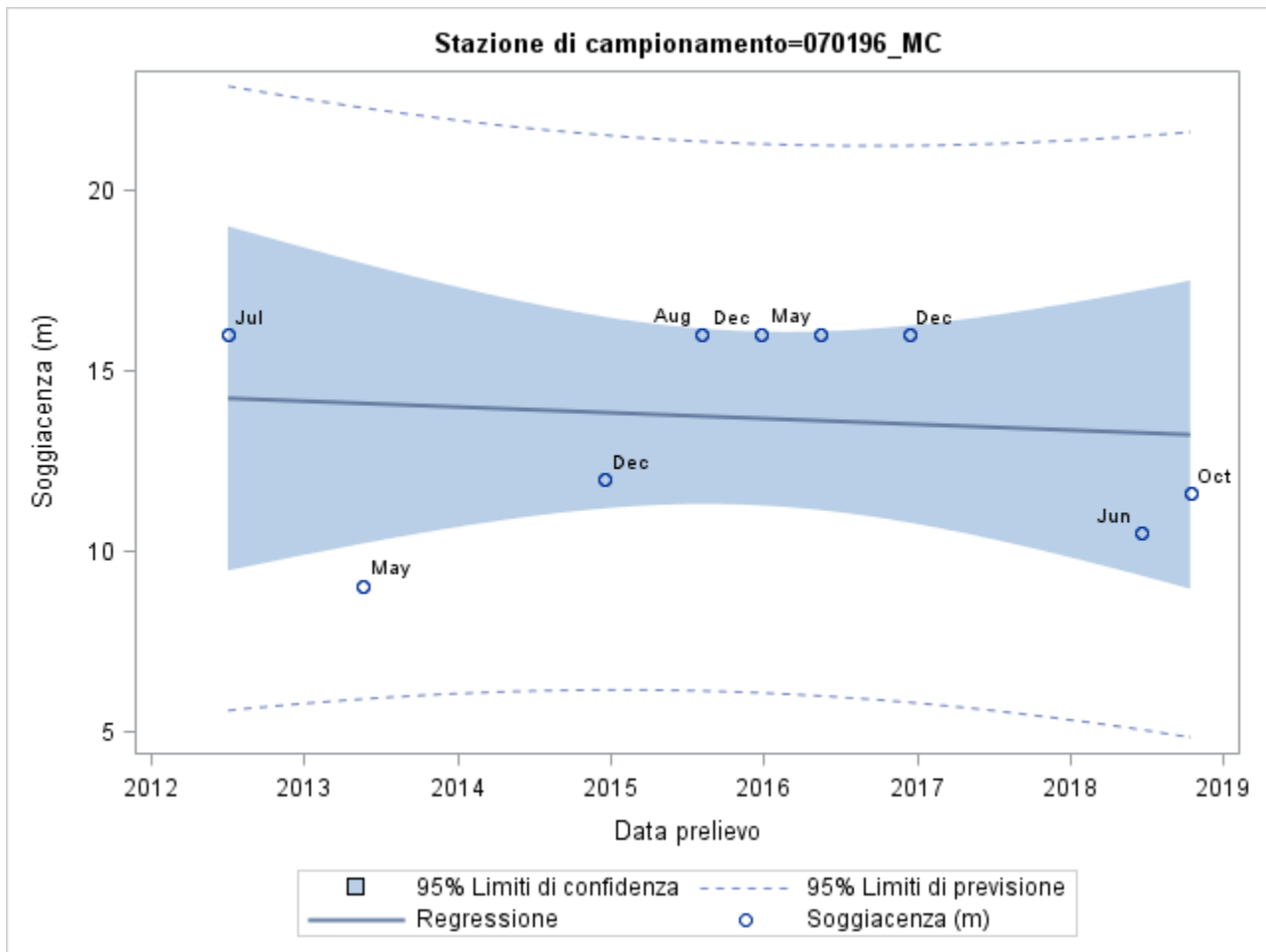
Appendice G



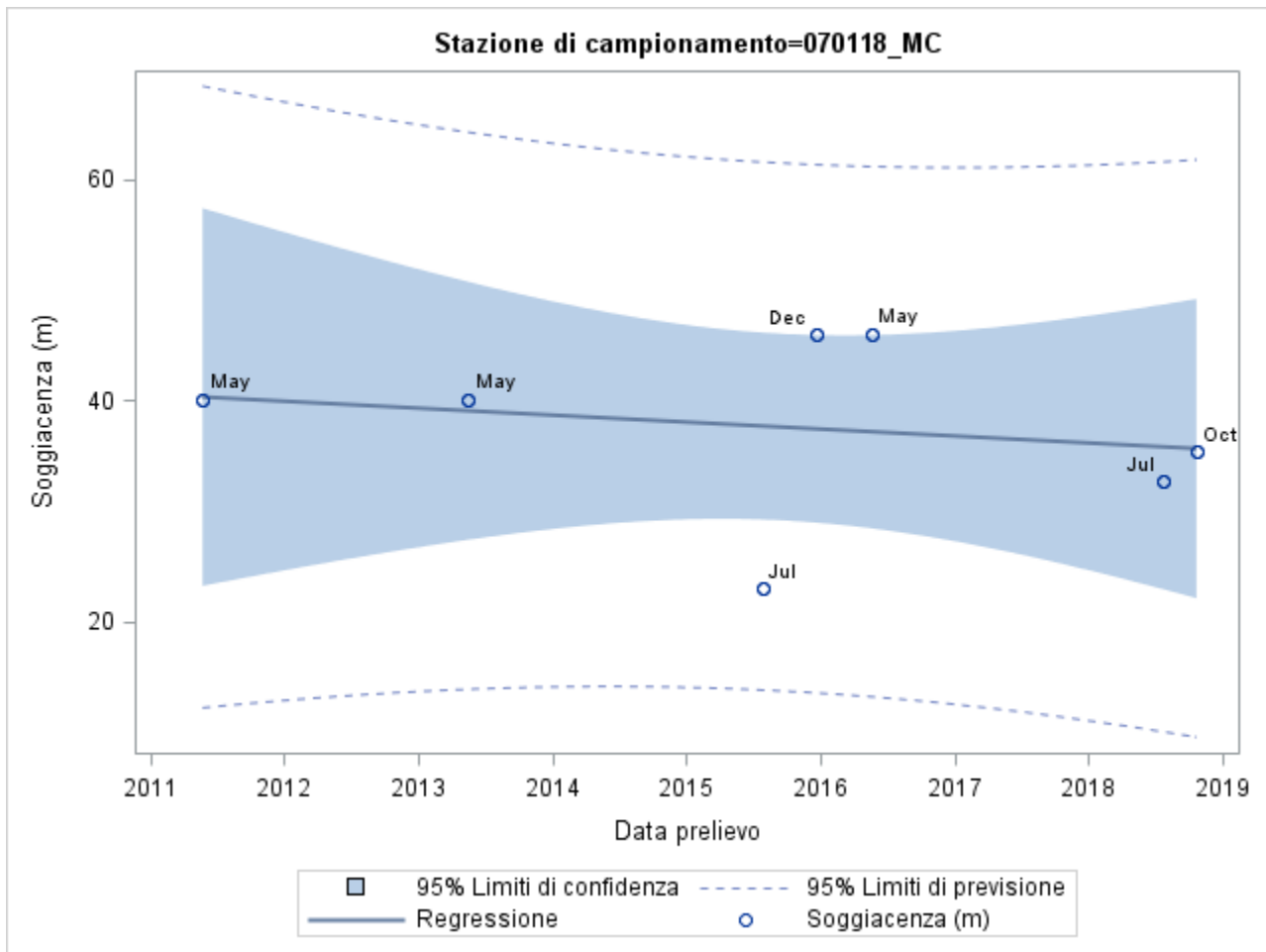
Appendice G



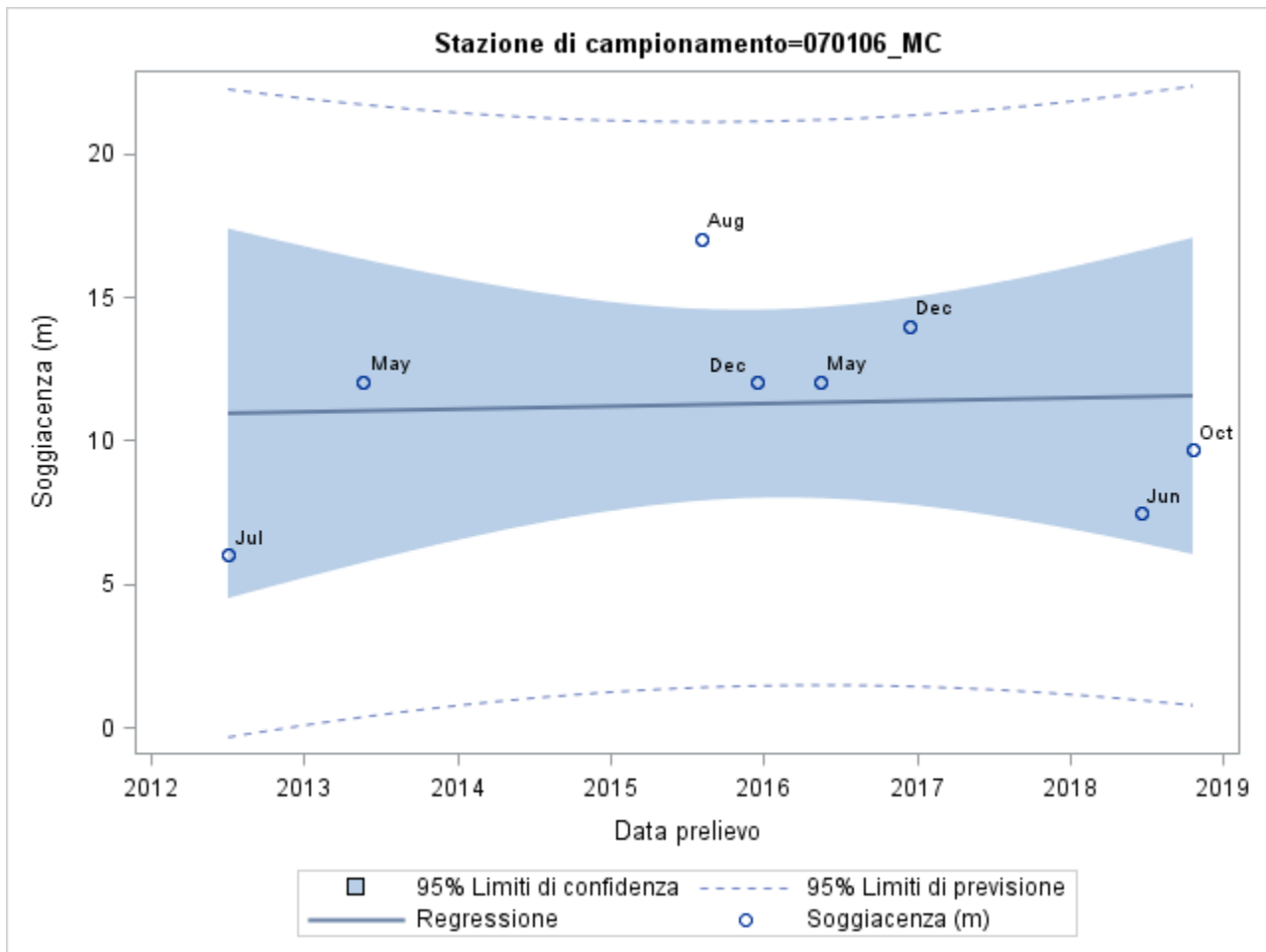
Appendice G



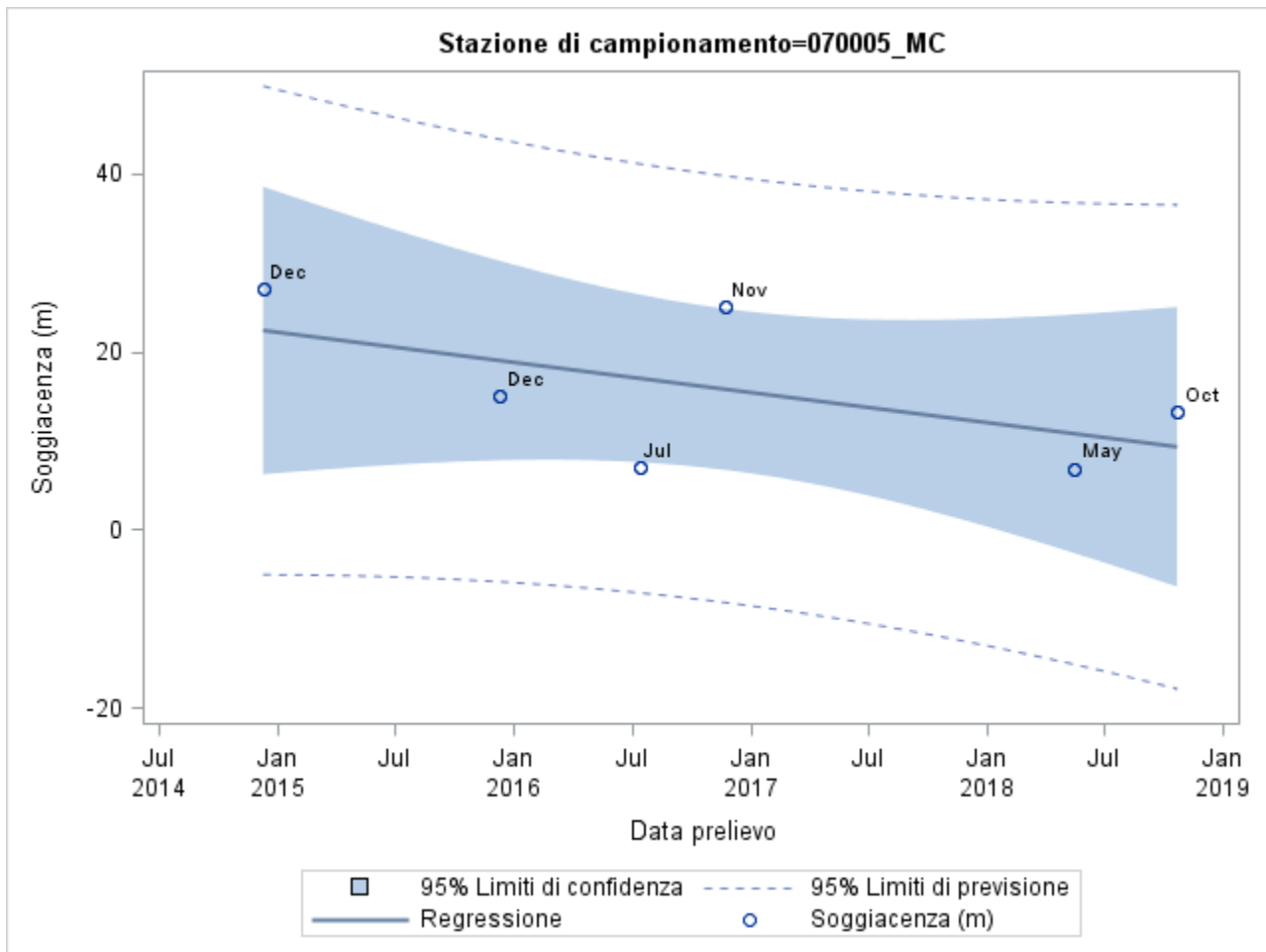
Appendice G



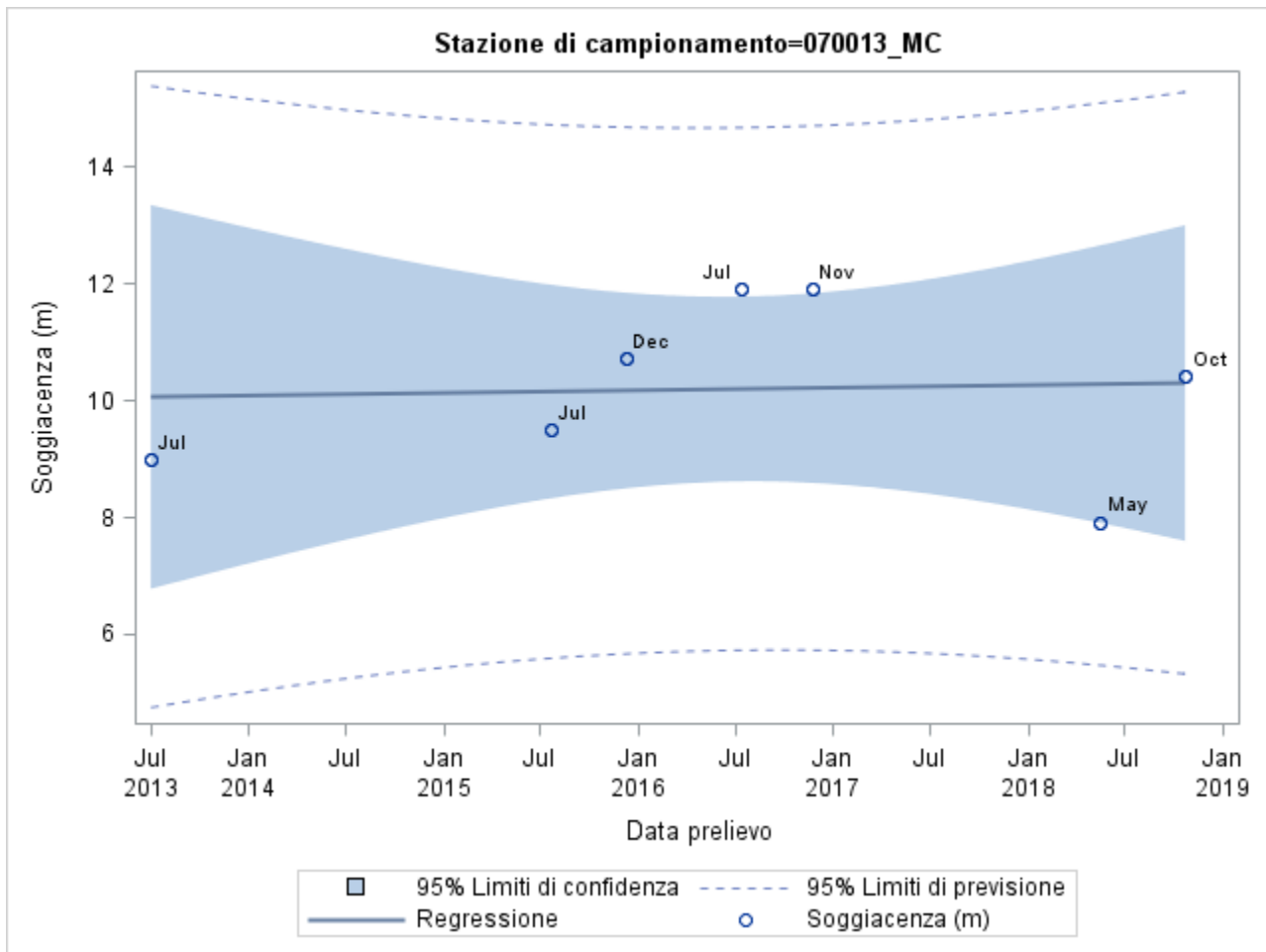
Appendice G



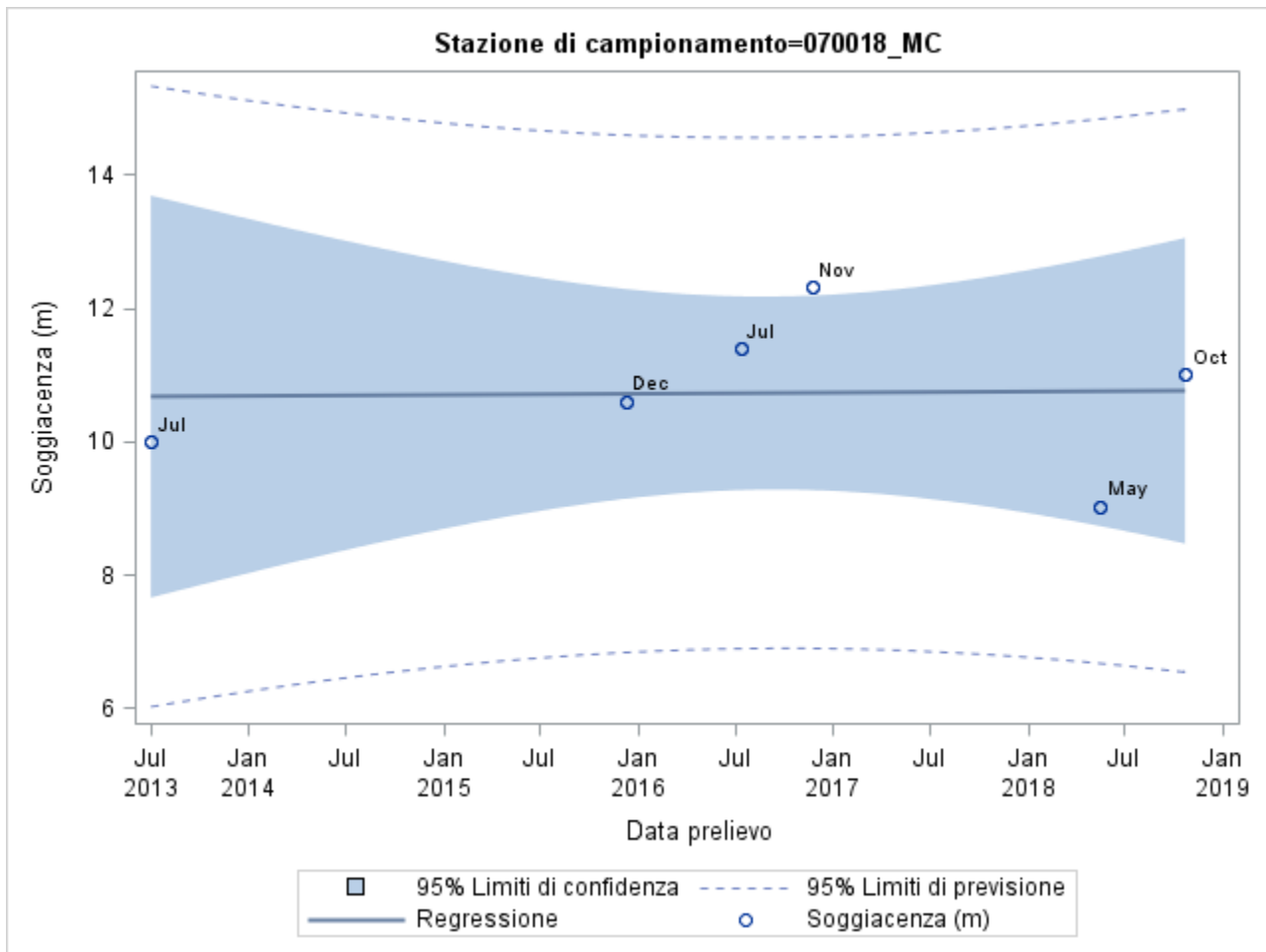
Appendice G



Appendice G

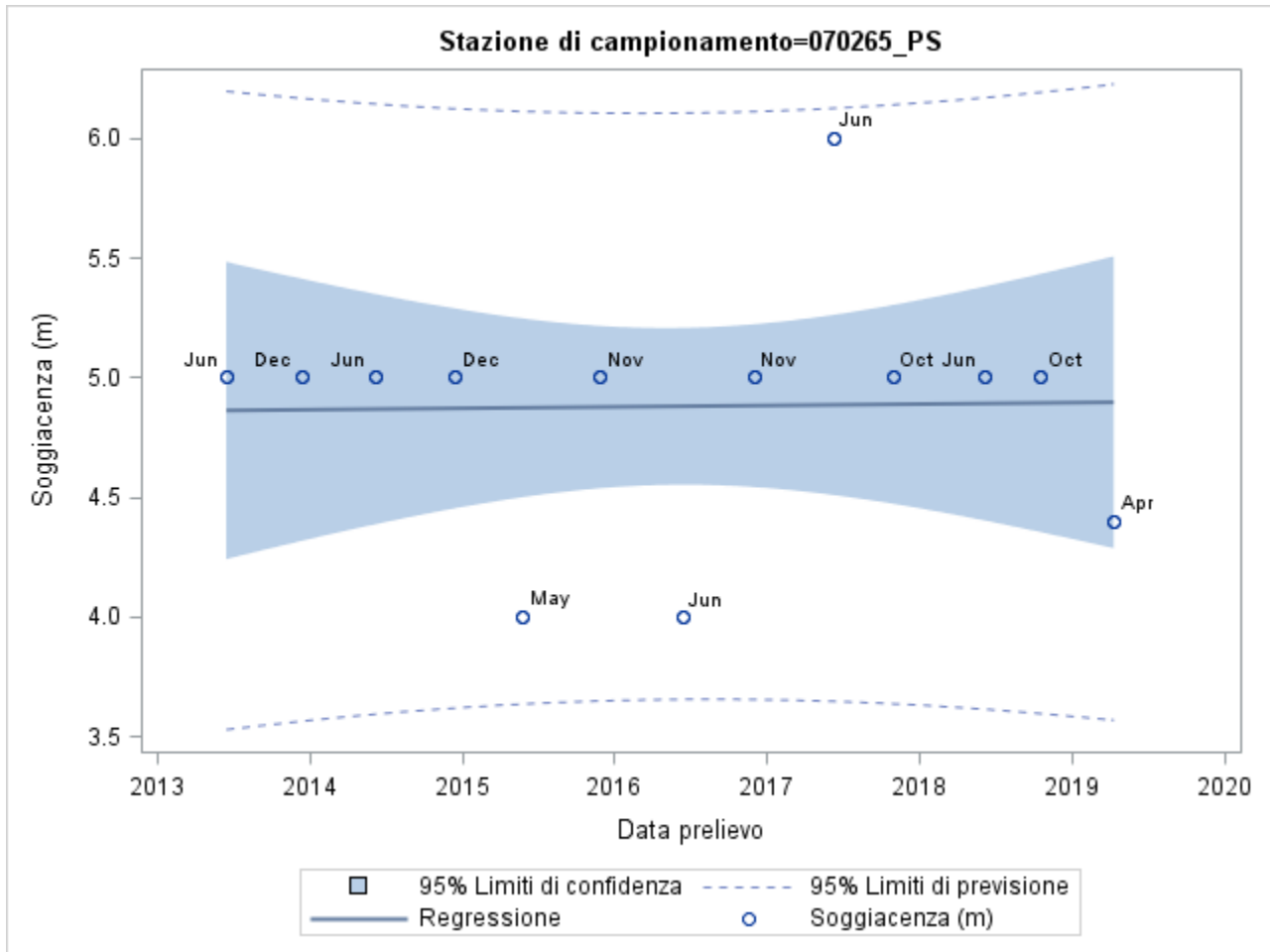


Appendice G



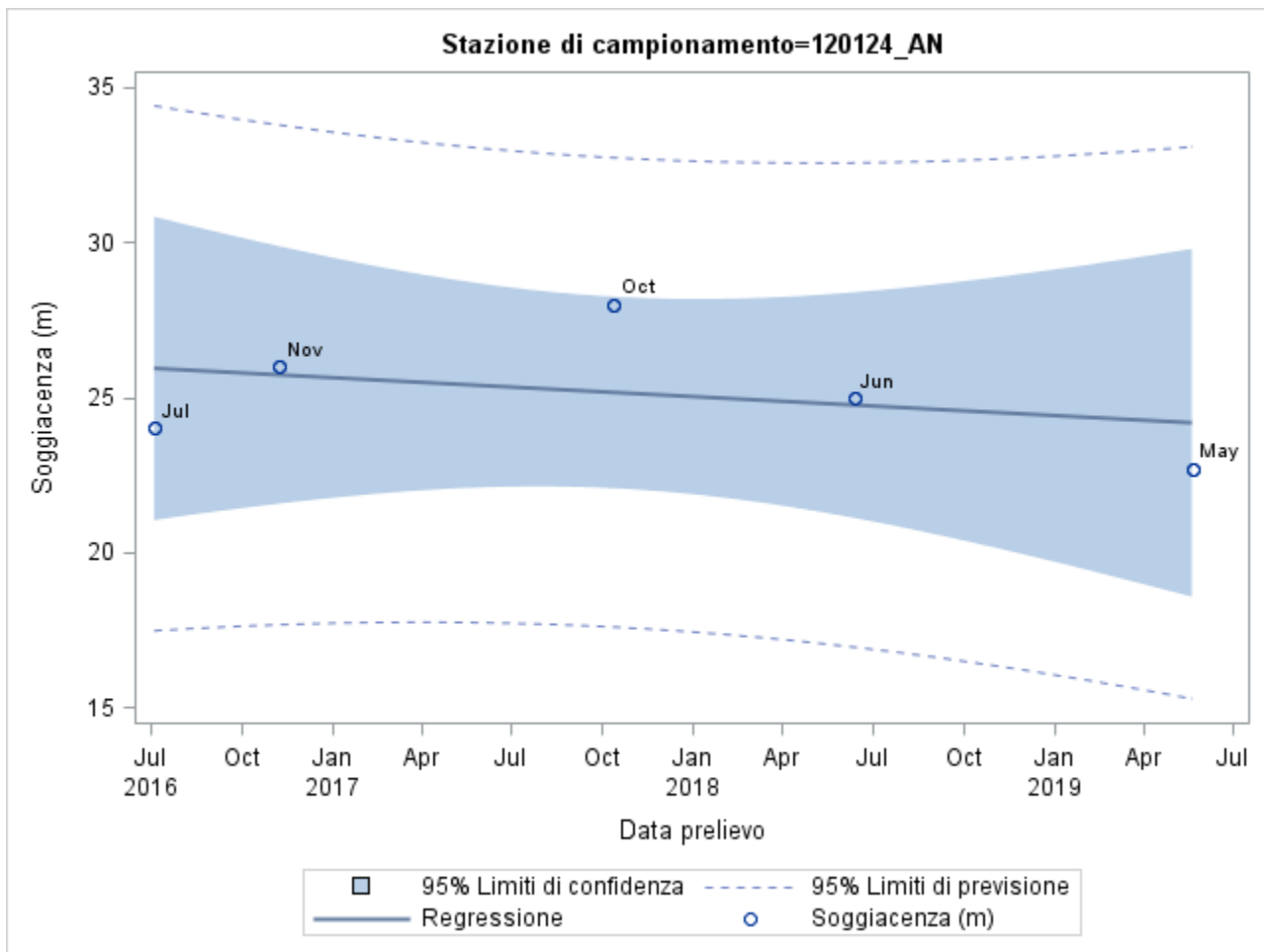
Appendice G

AV_CON - ALLUVIONI VALLIVE DEL TORRENTE CONCA

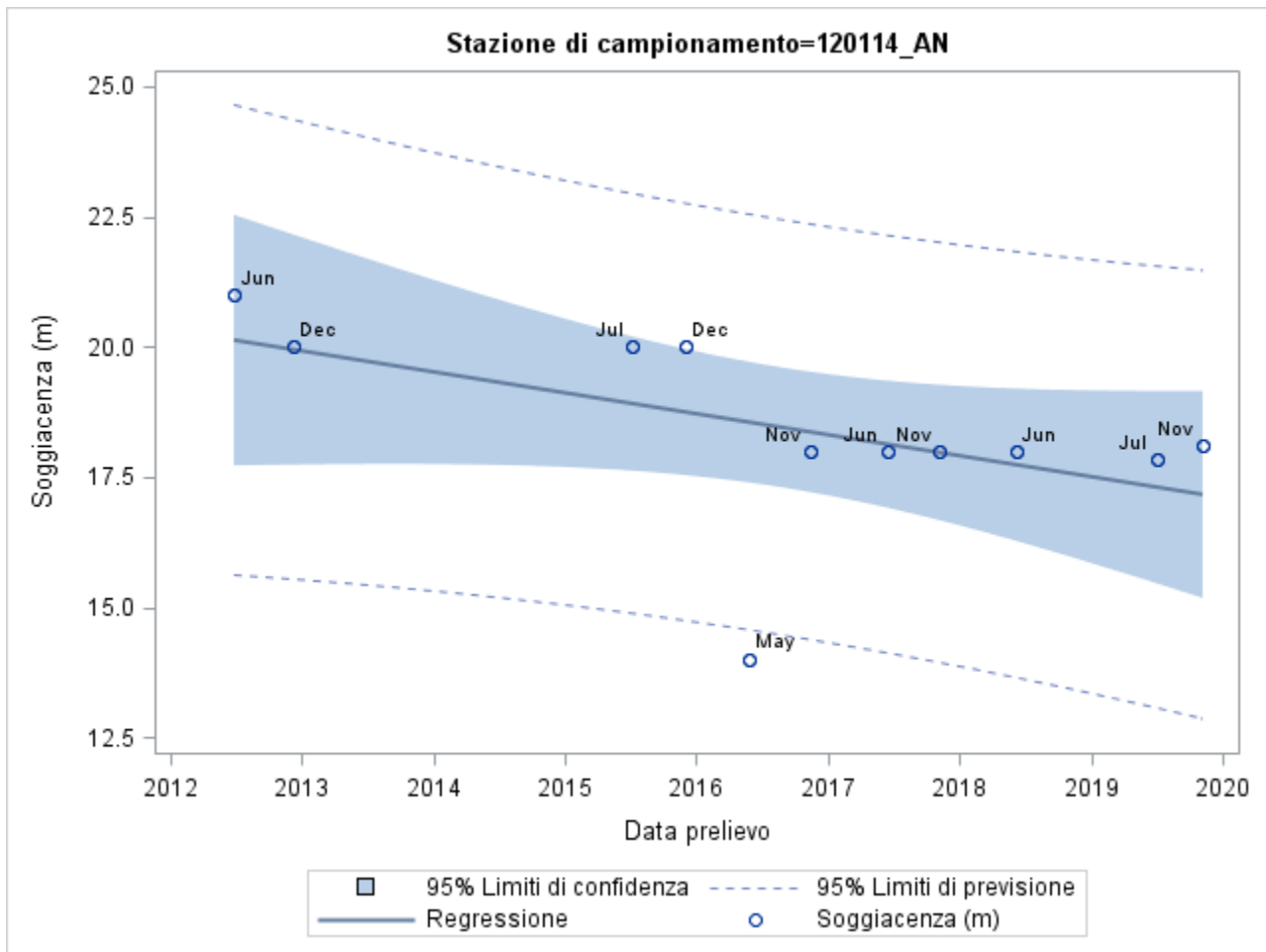


Appendice G

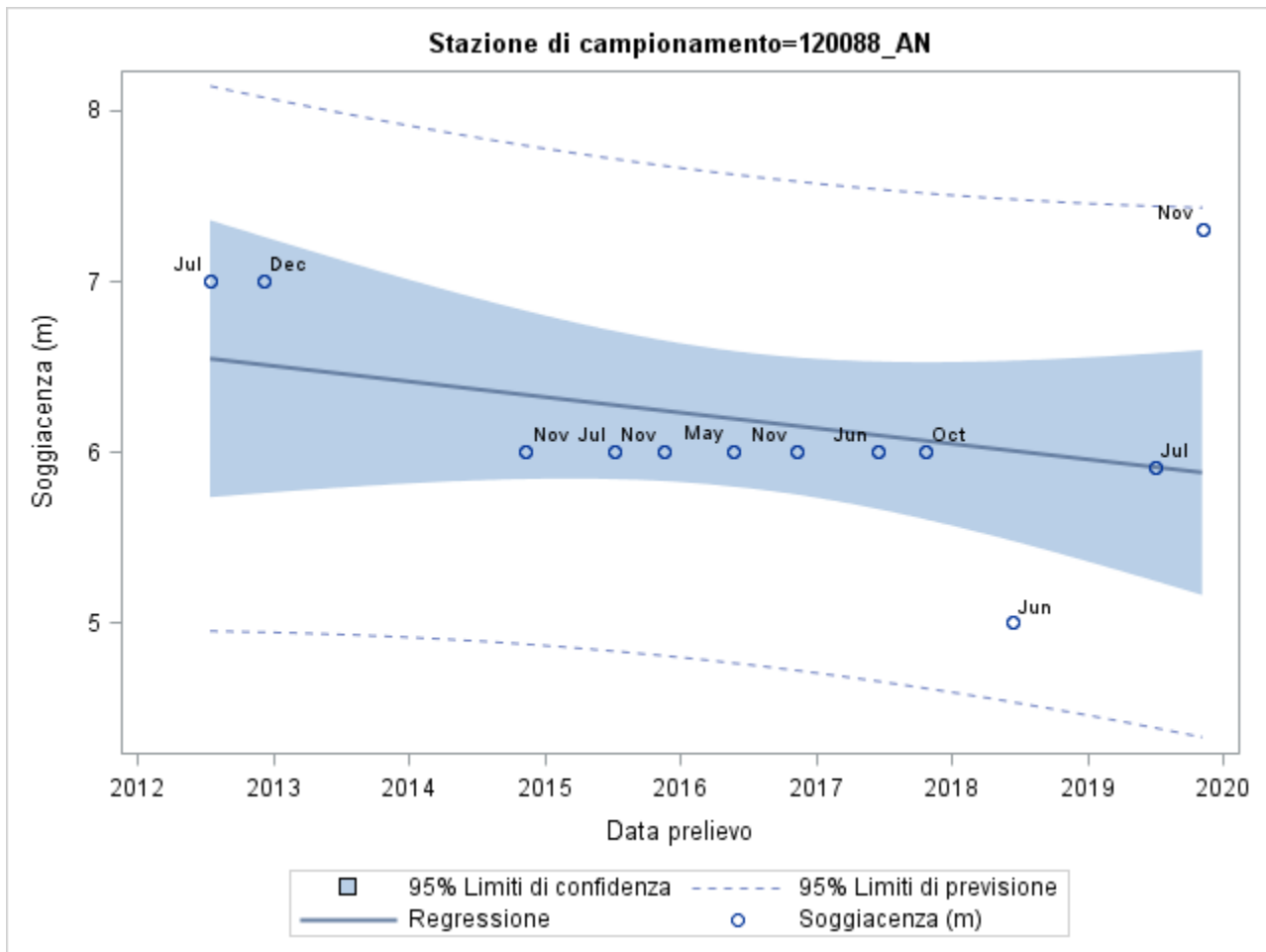
AV_ESI - ALLUVIONI VALLIVE DEL FIUME ESINO E DEI SUOI TRIBUTARI



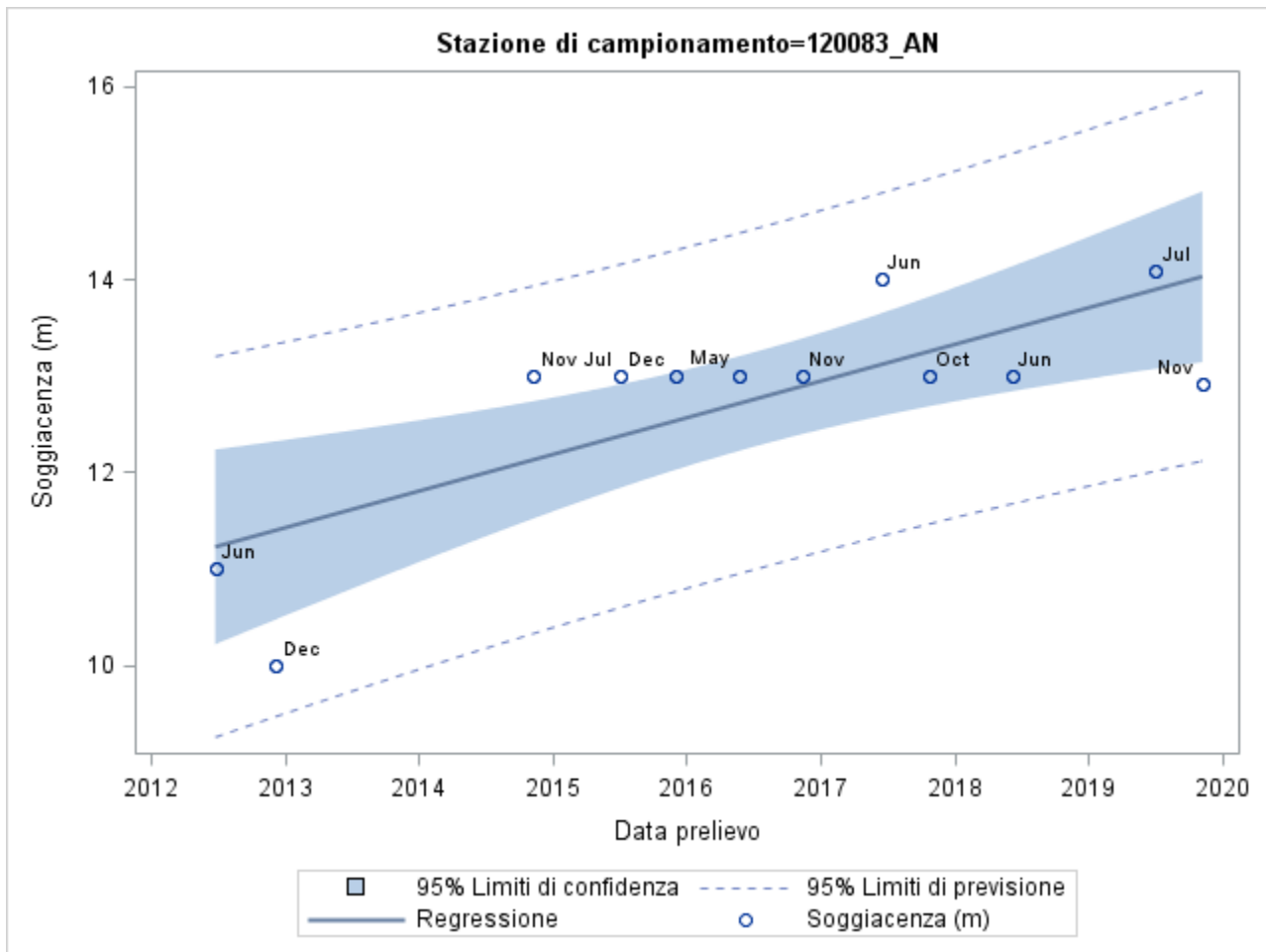
Appendice G



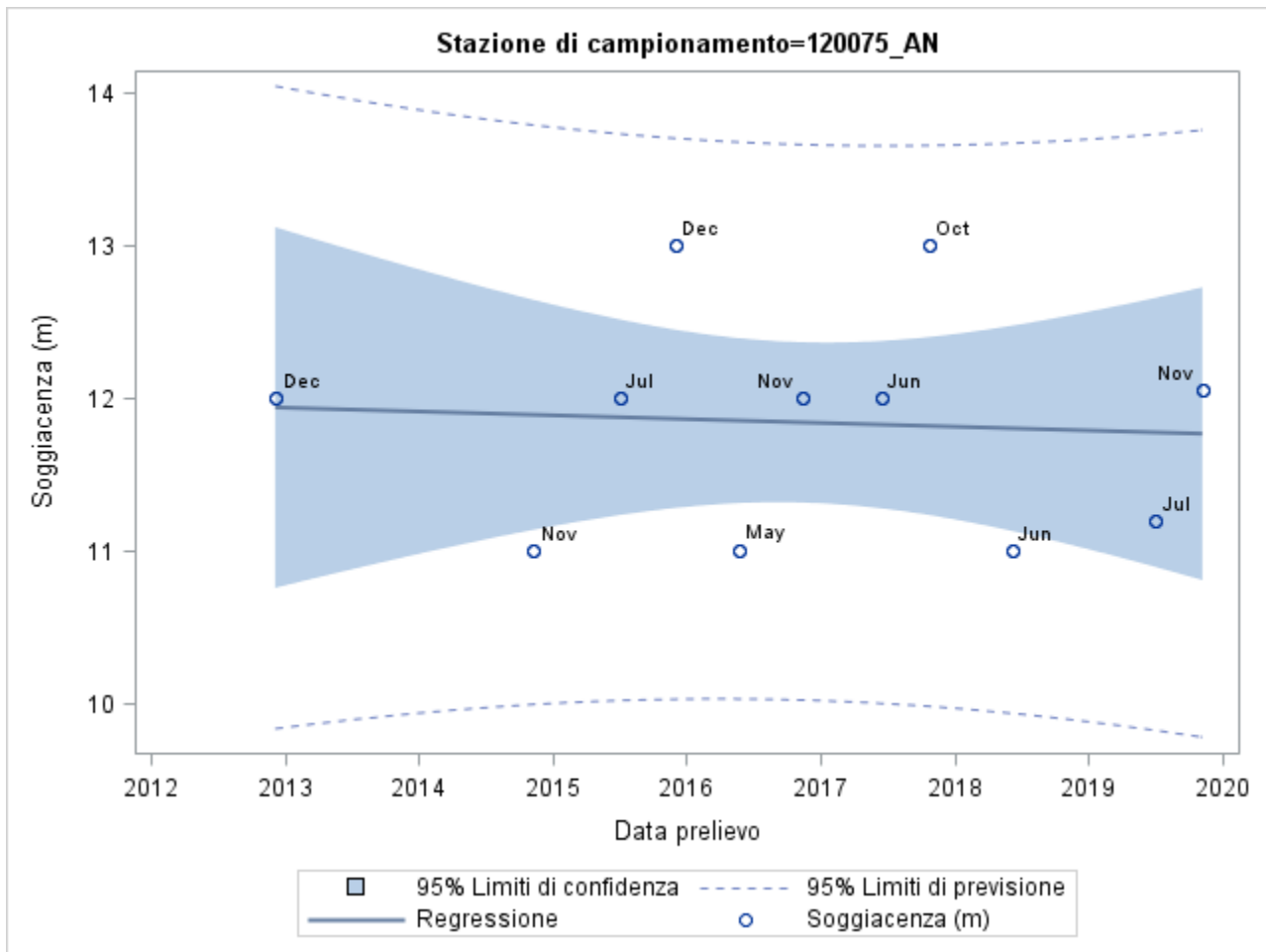
Appendice G



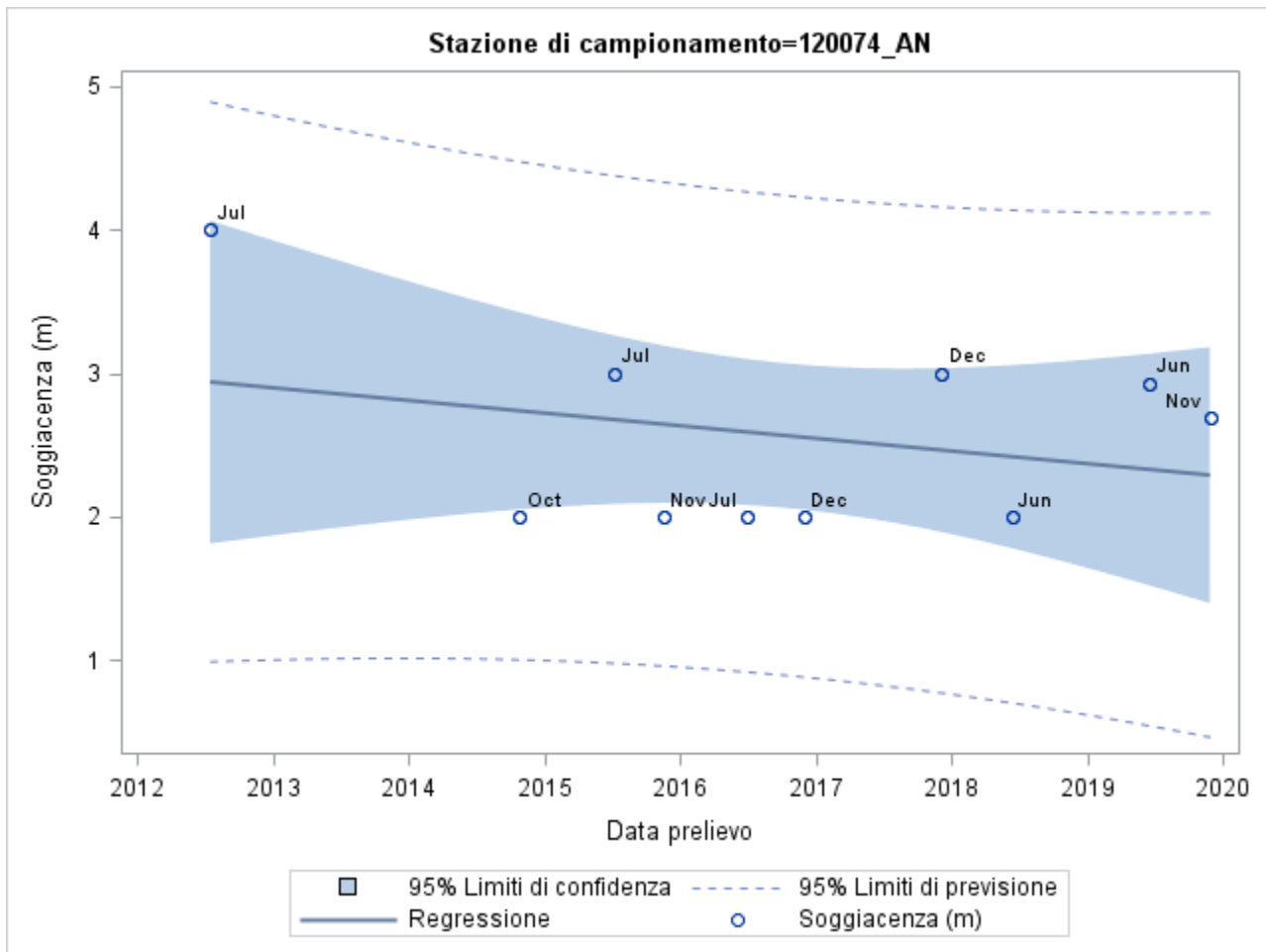
Appendice G



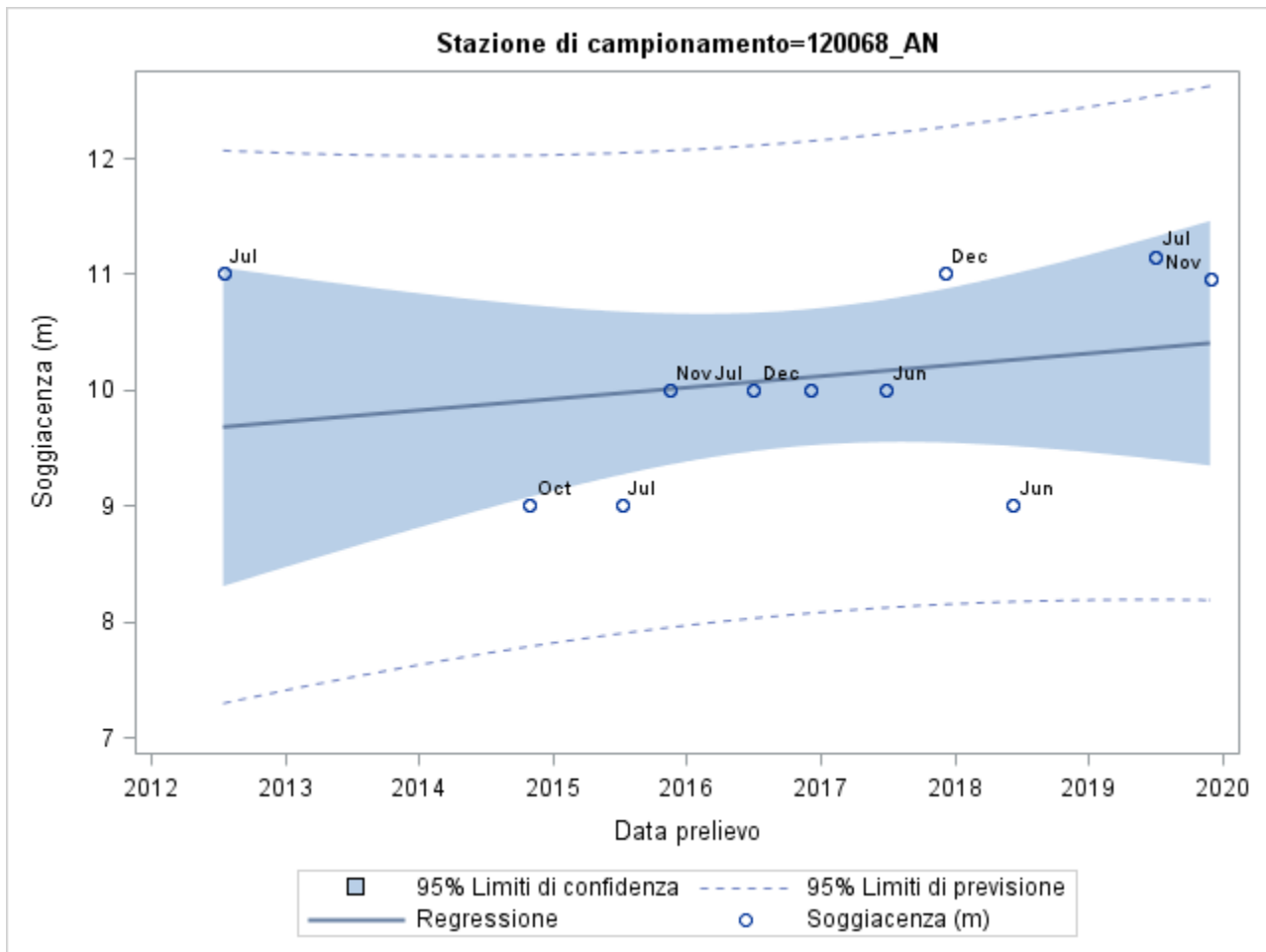
Appendice G



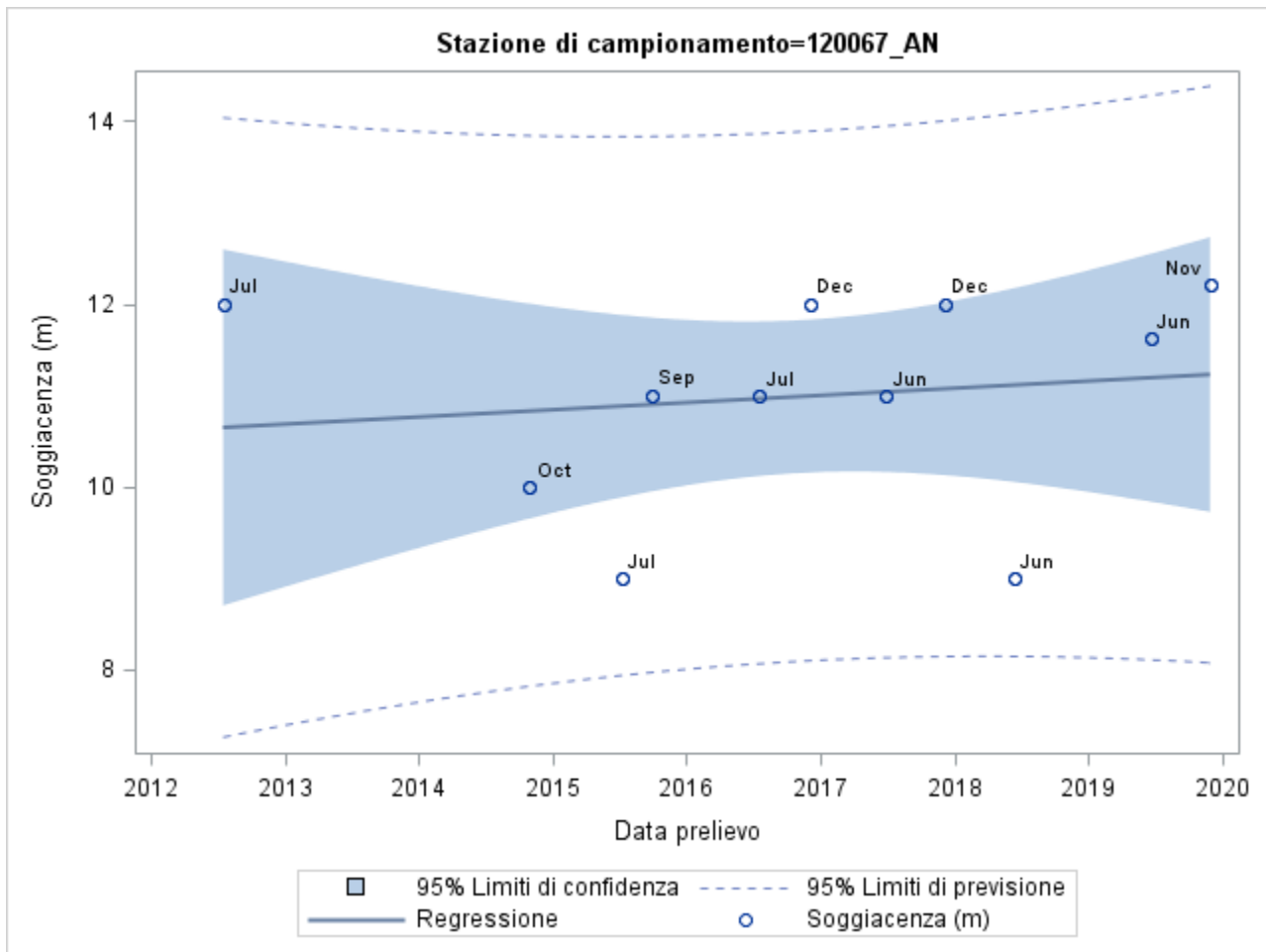
Appendice G



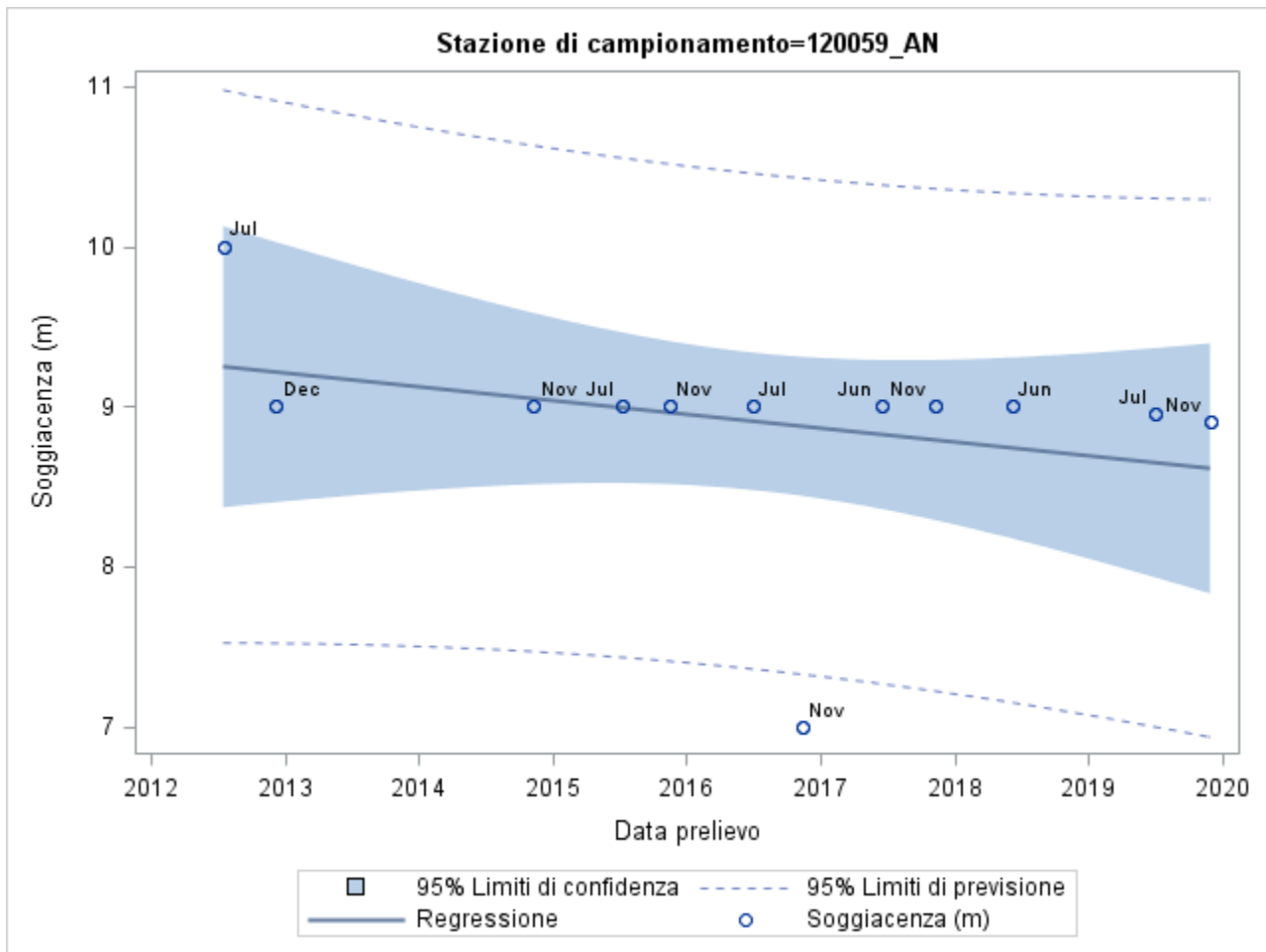
Appendice G



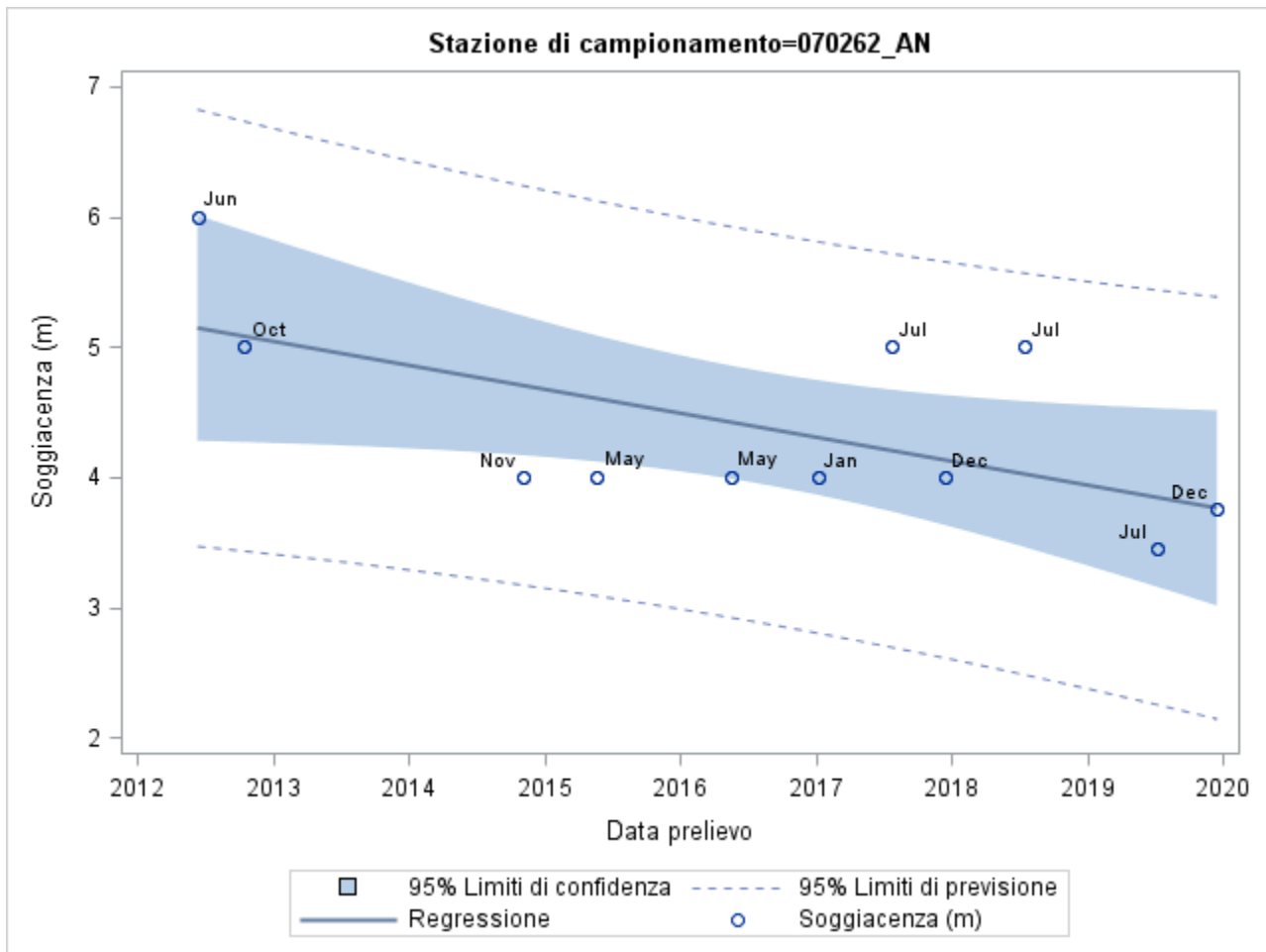
Appendice G



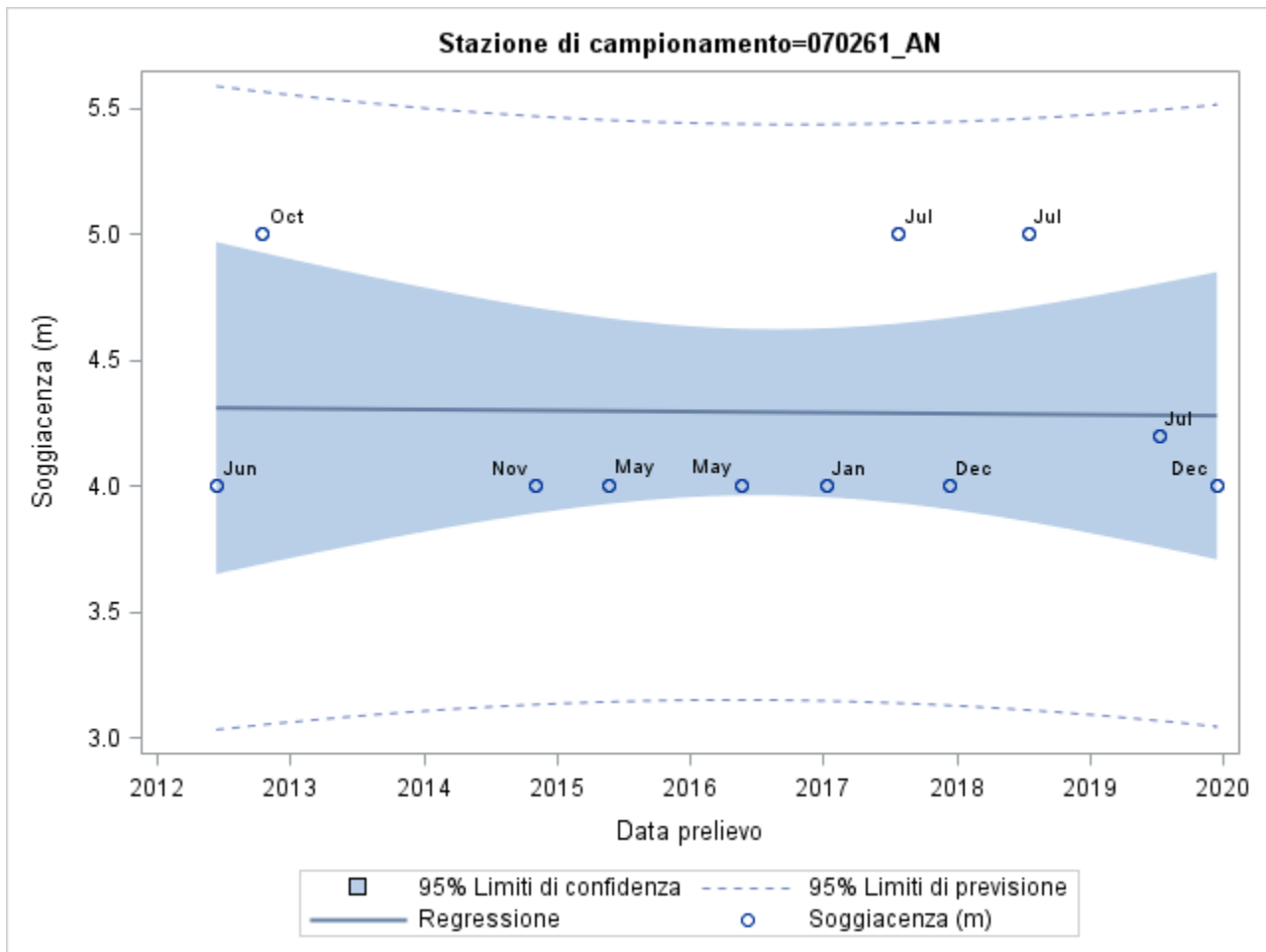
Appendice G



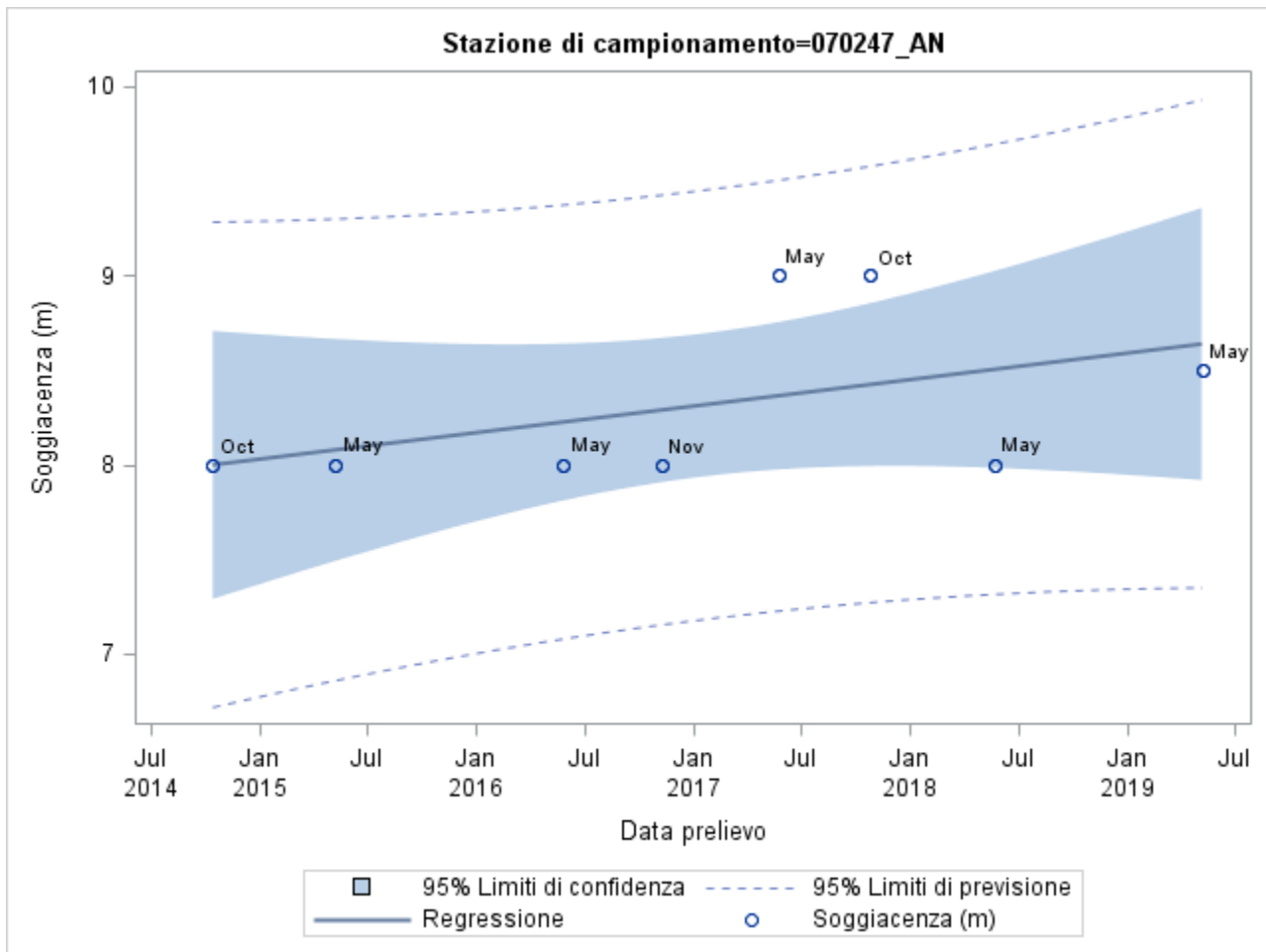
Appendice G



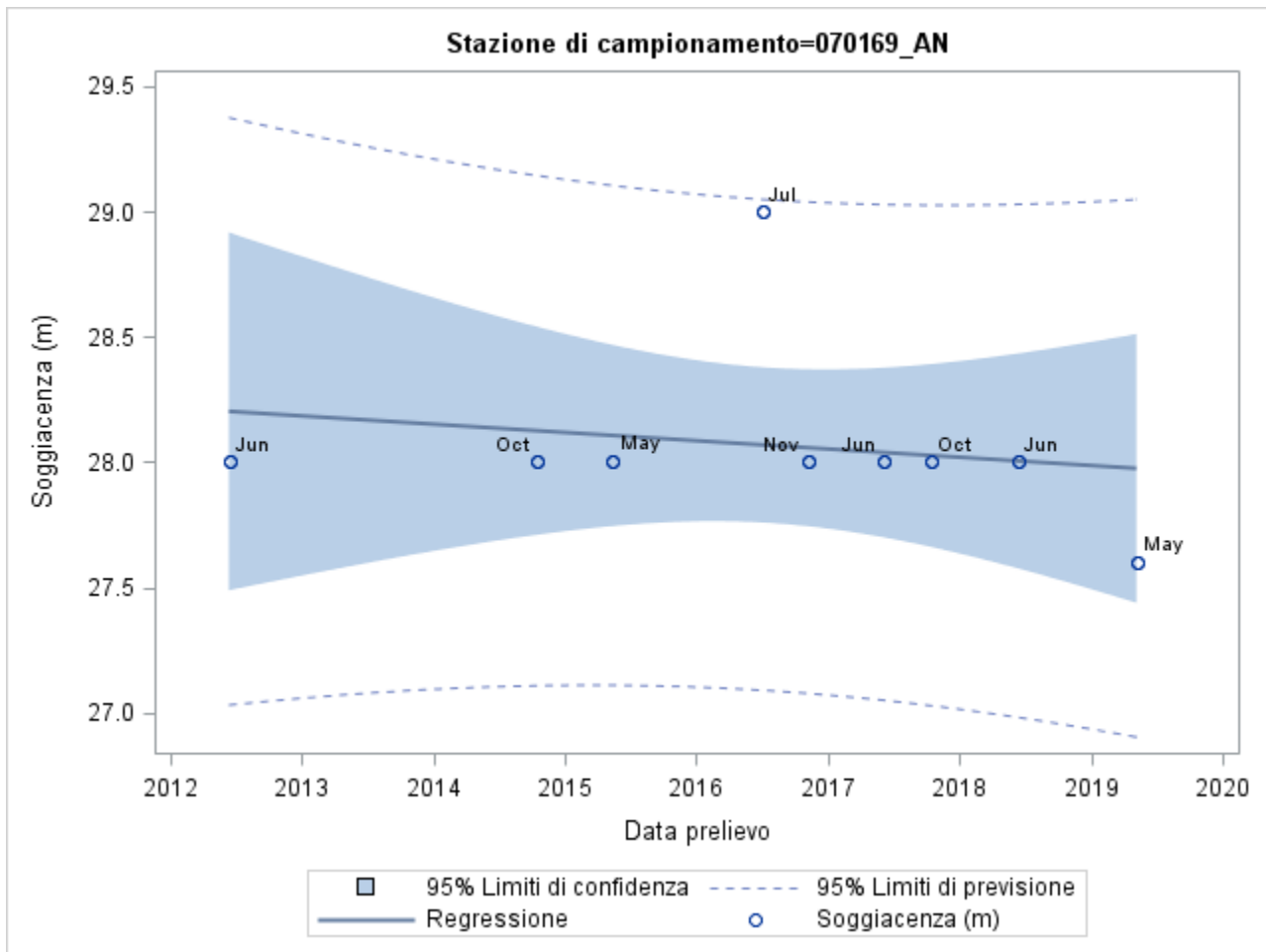
Appendice G



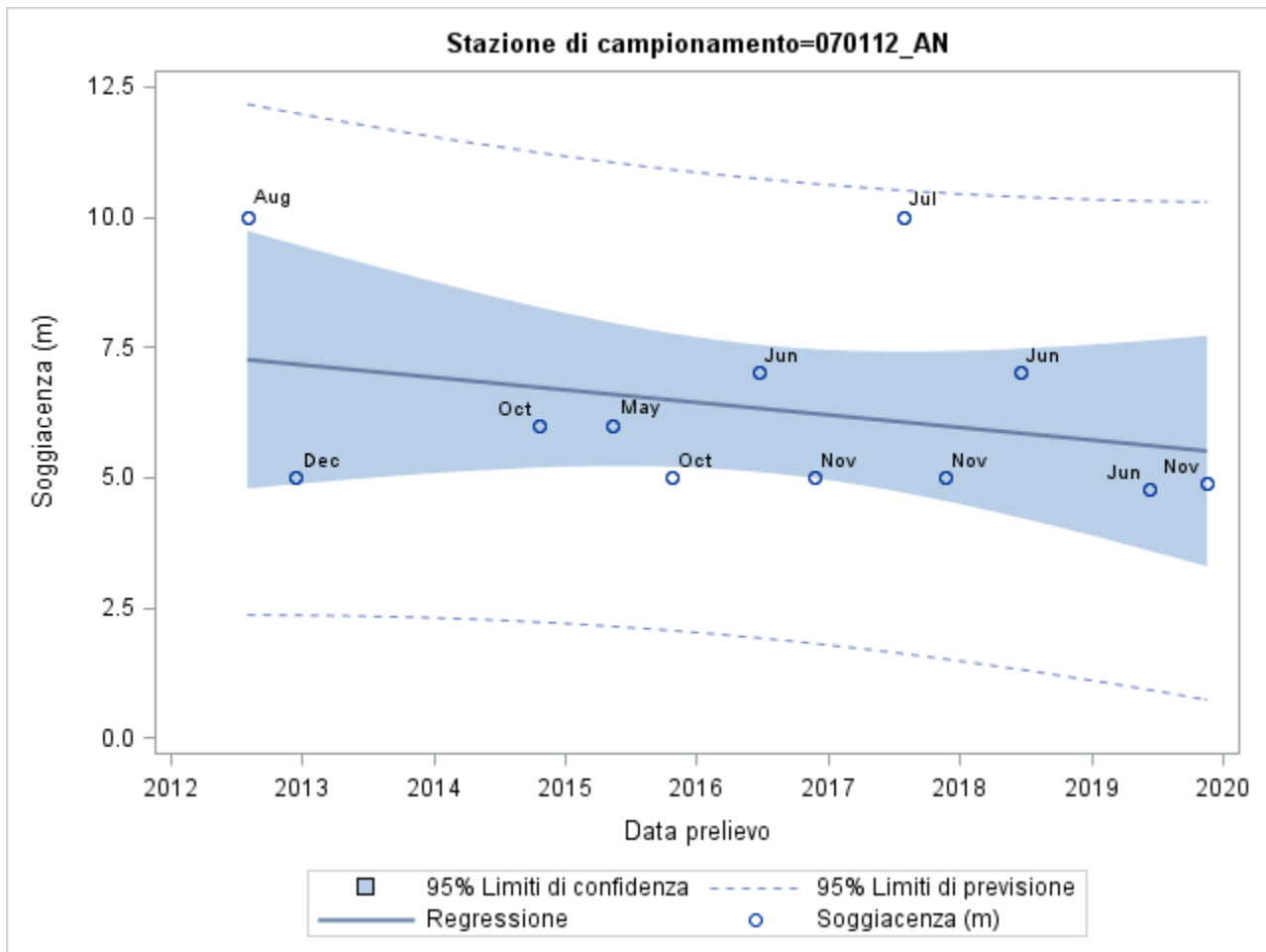
Appendice G



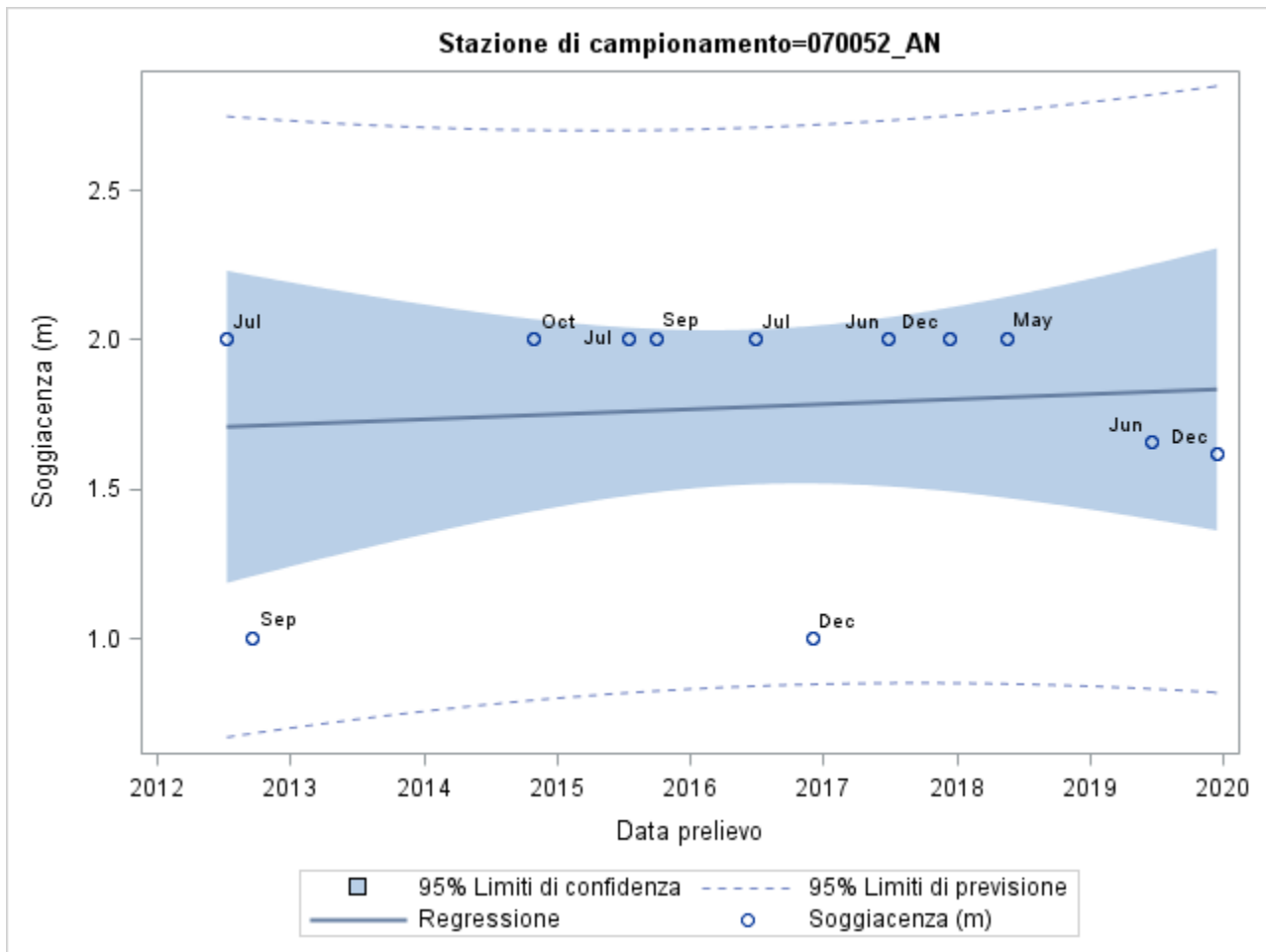
Appendice G



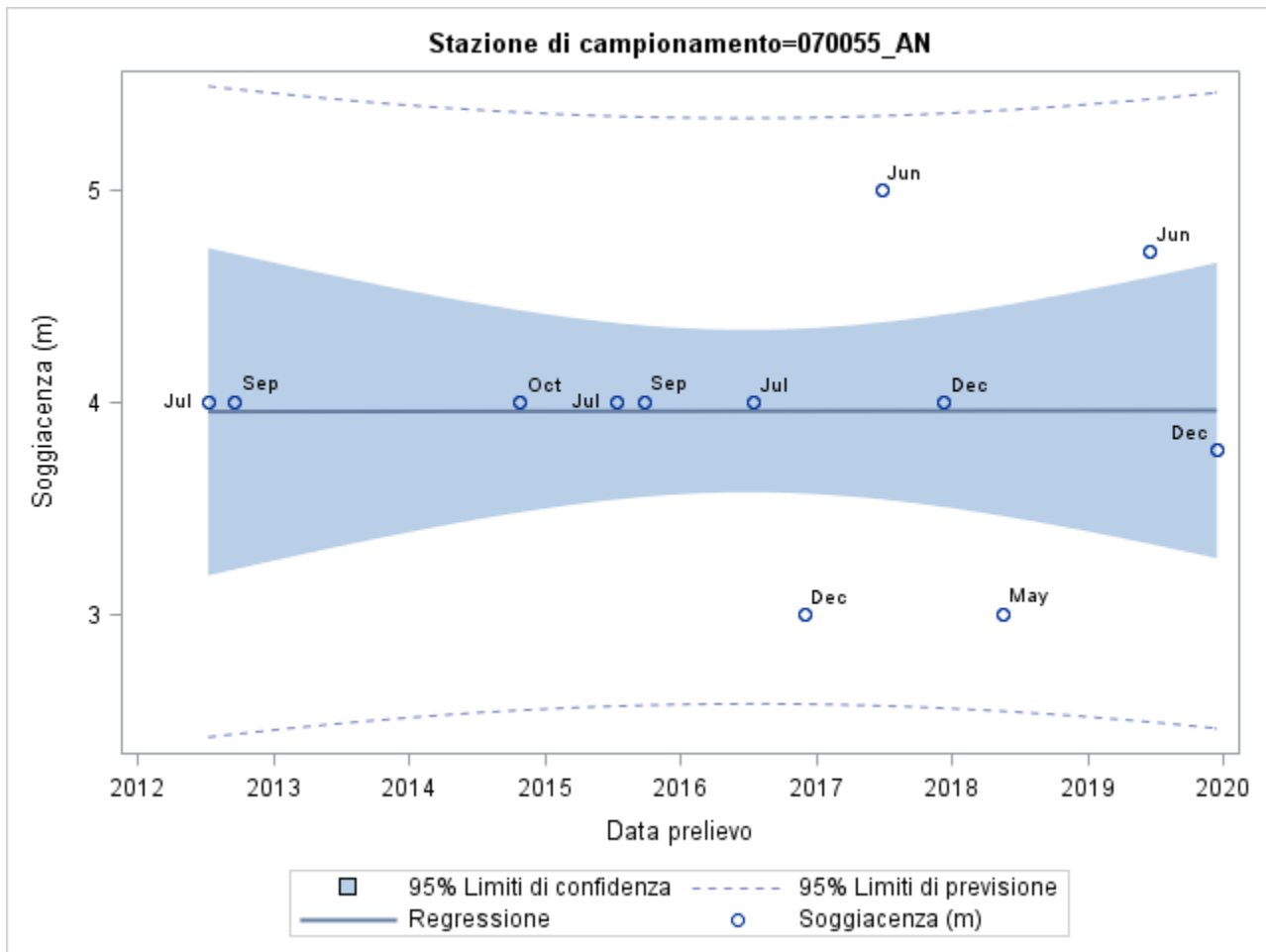
Appendice G



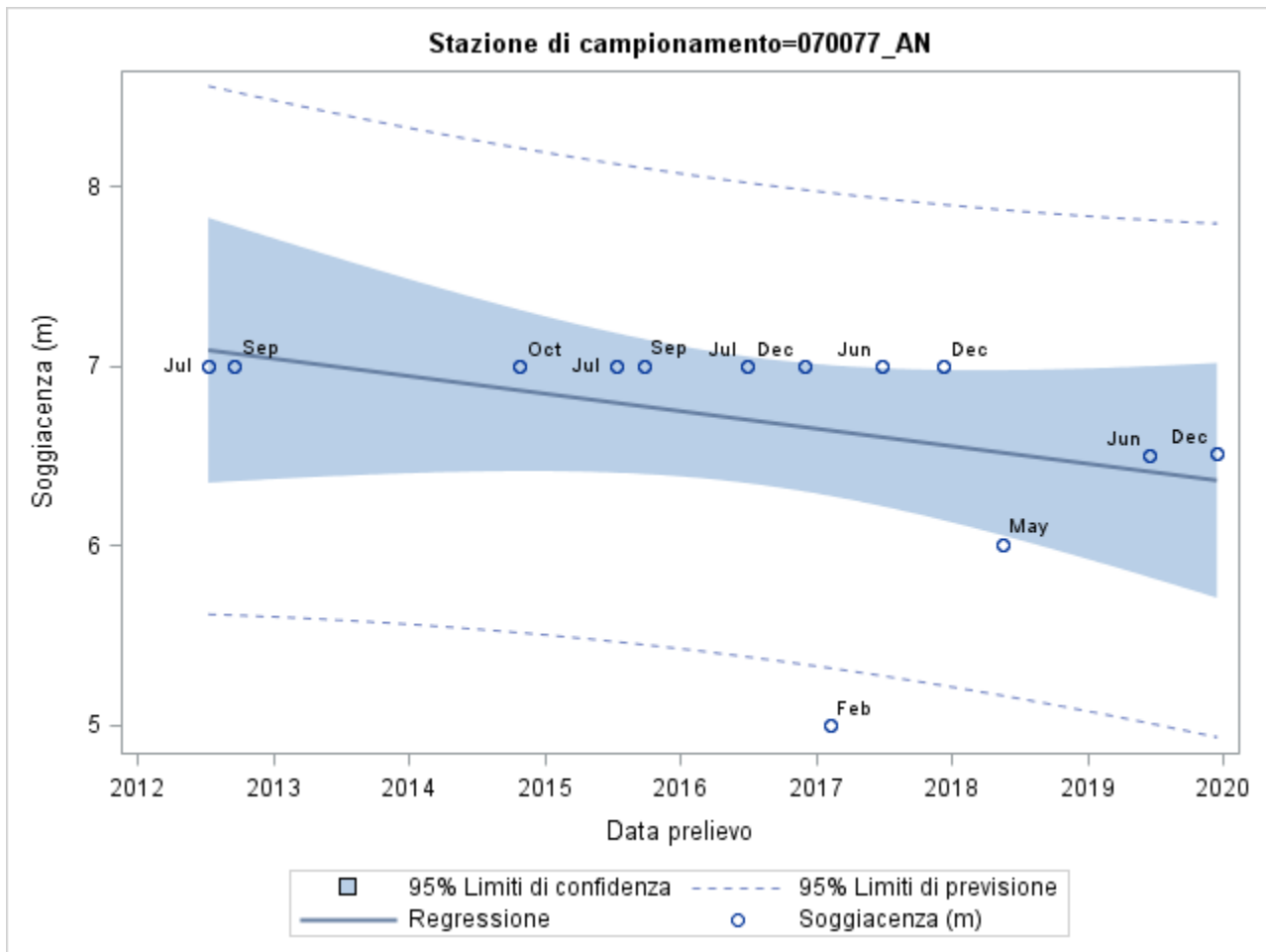
Appendice G



Appendice G

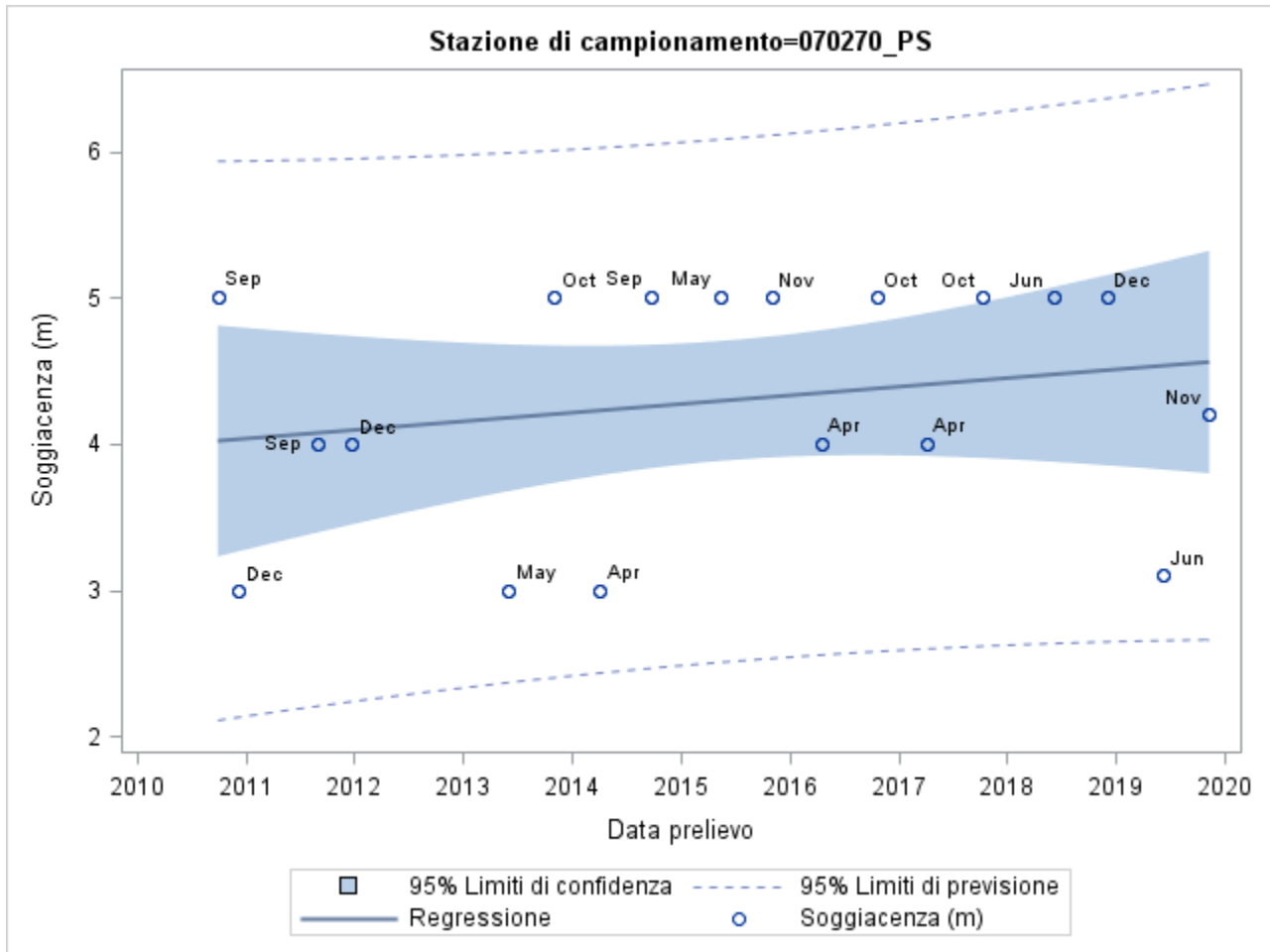


Appendice G

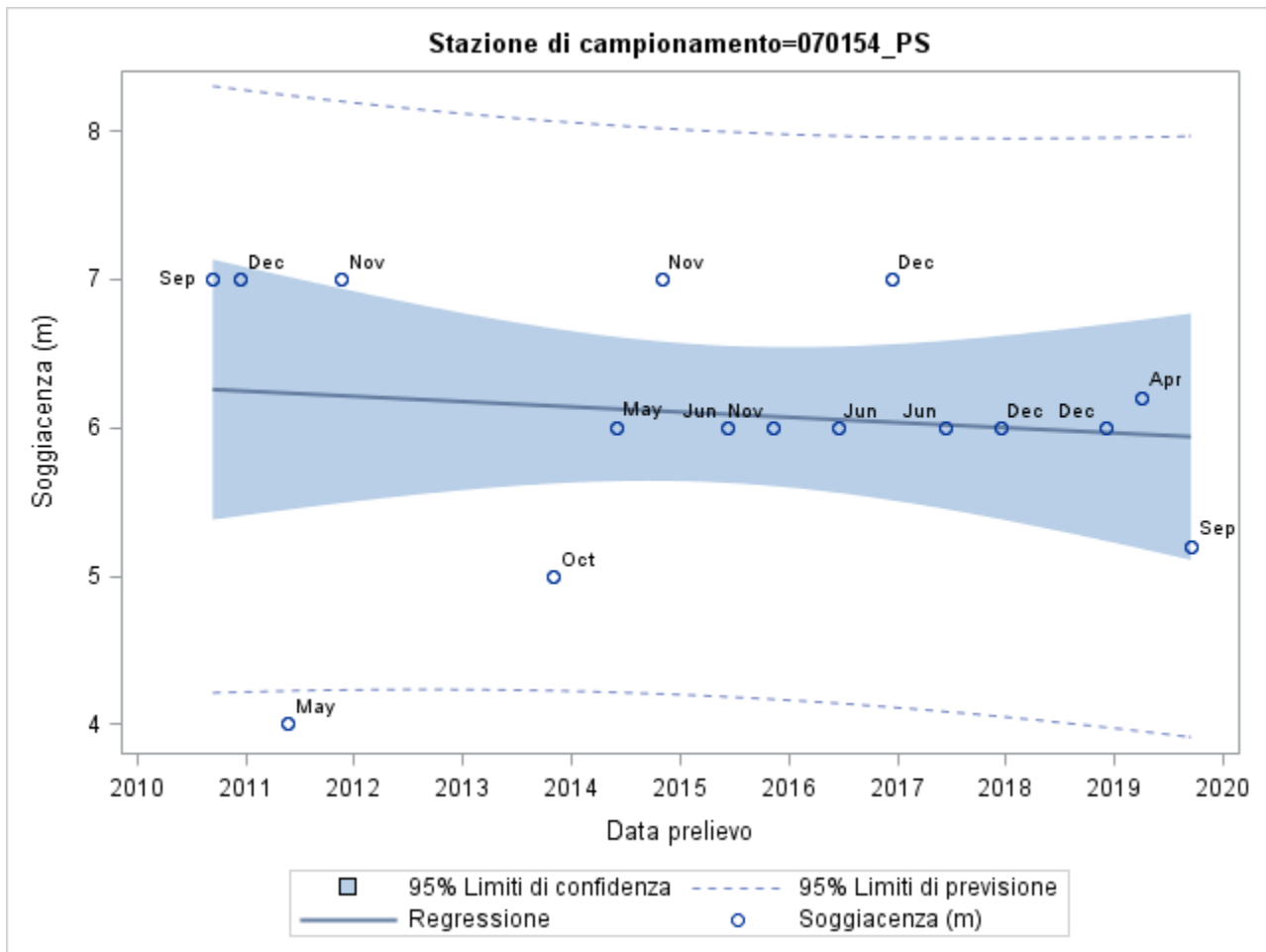


Appendice G

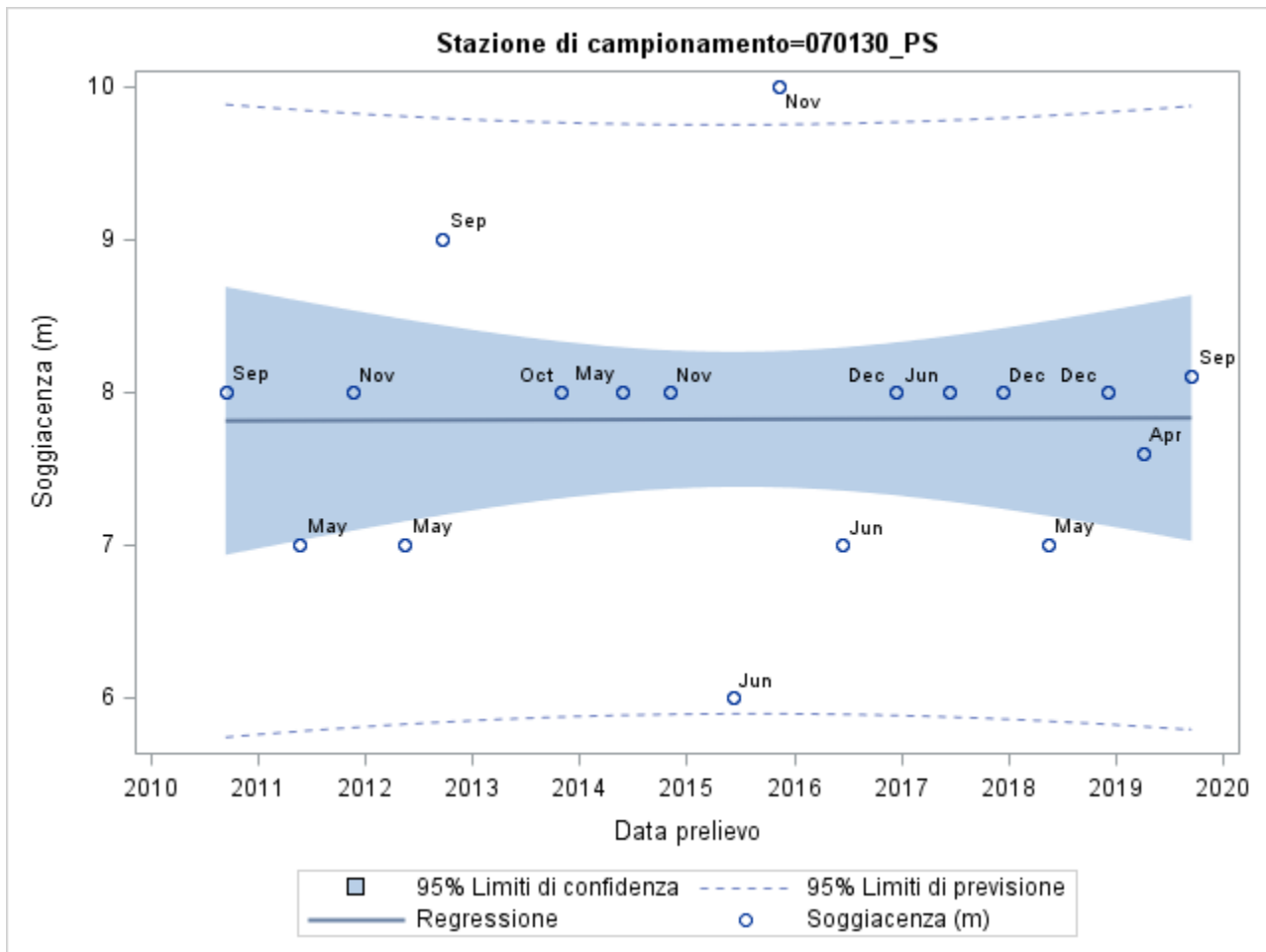
AV_FOG - ALLUVIONI VALLIVE DEL FIUME FOGLIA E DEI SUOI TRIBUTARI



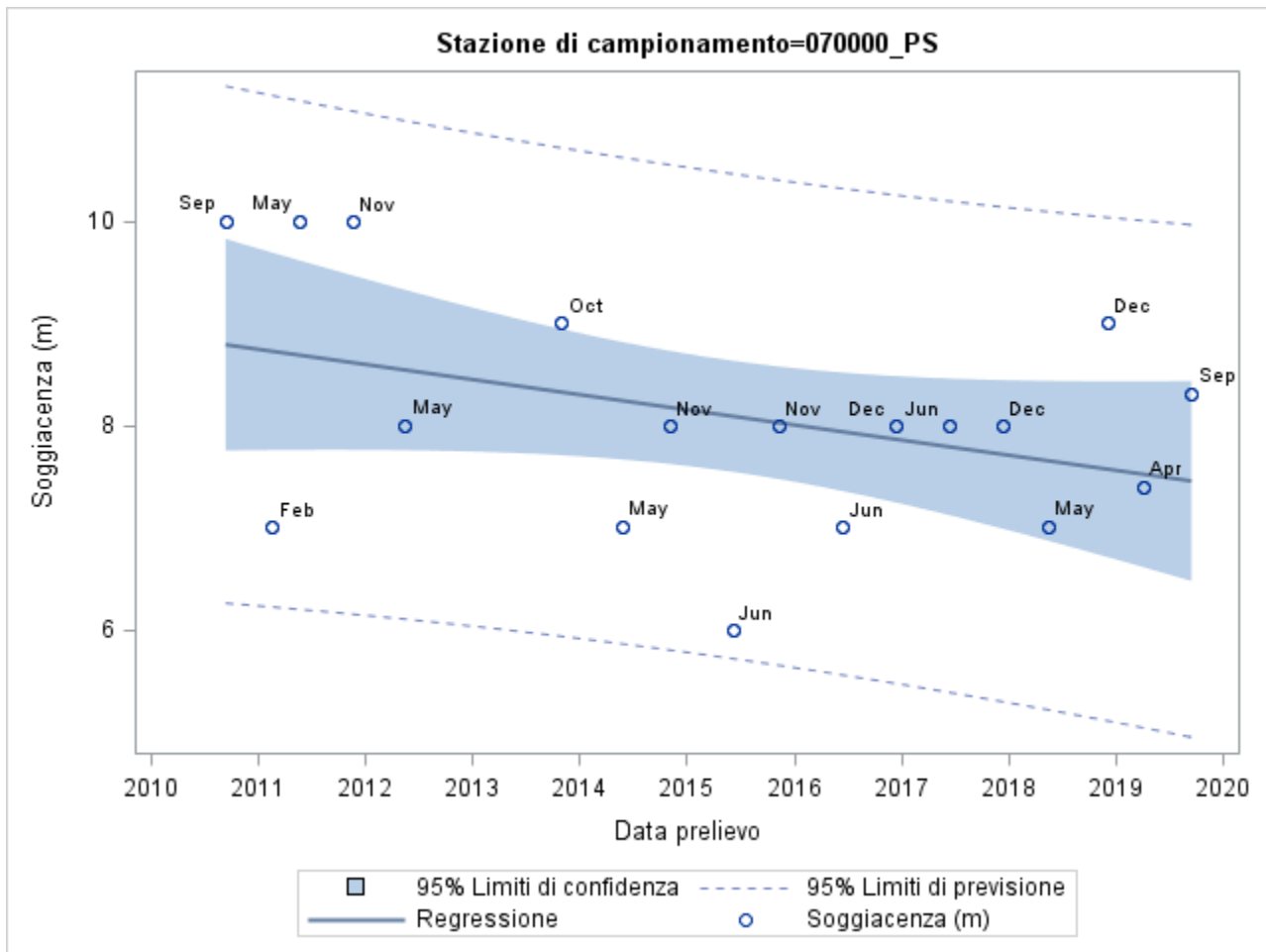
Appendice G



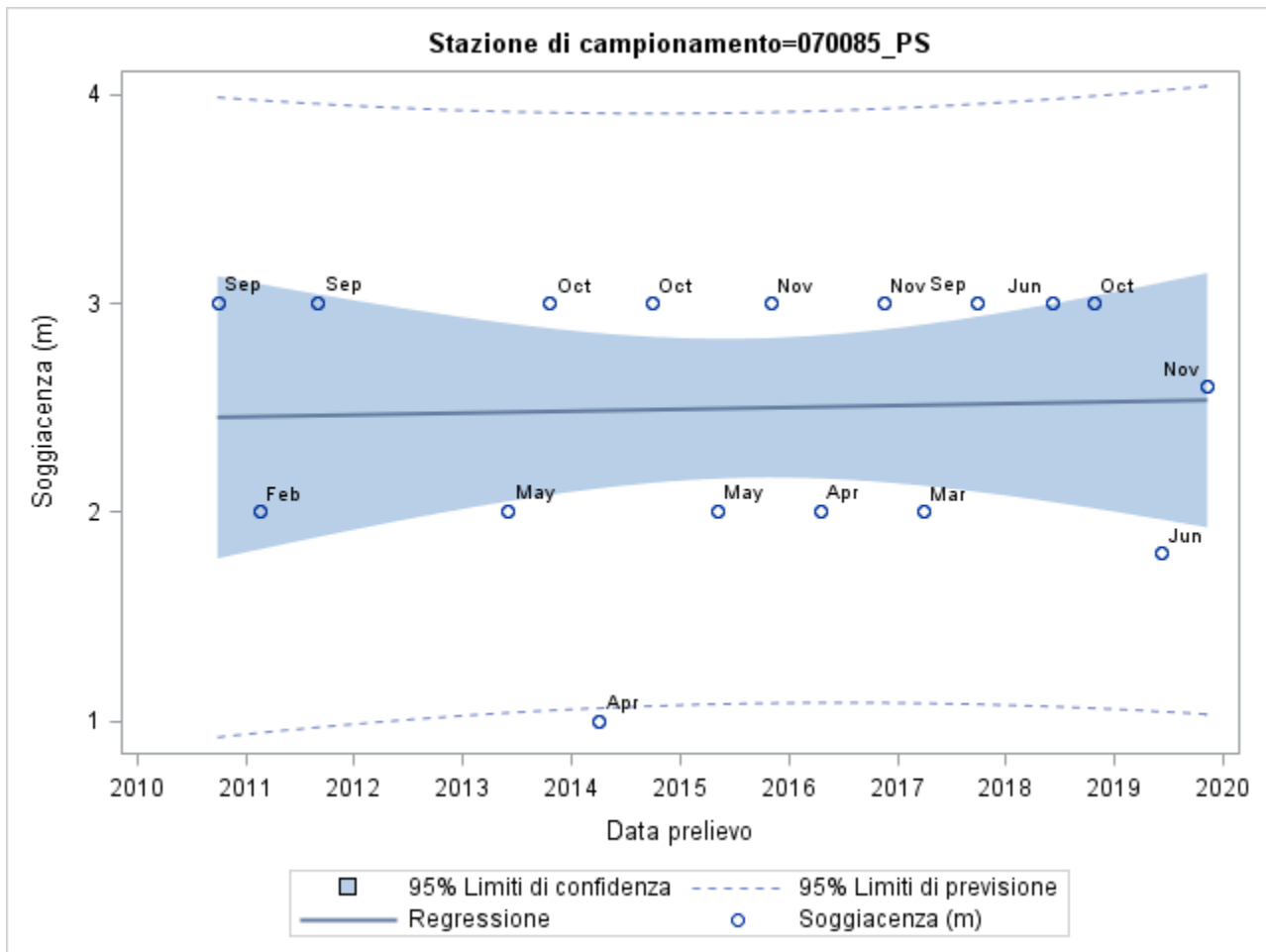
Appendice G



Appendice G

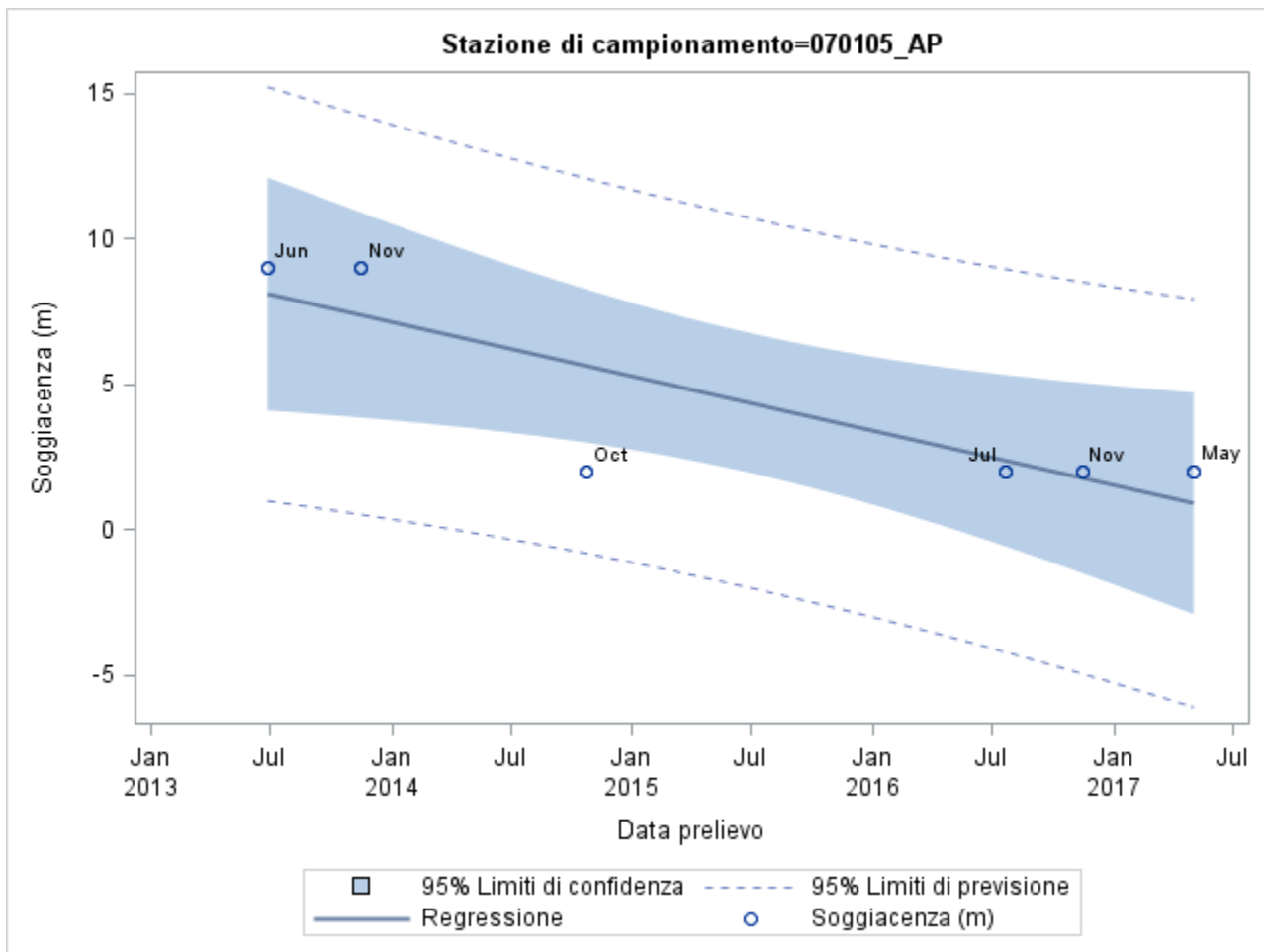


Appendice G



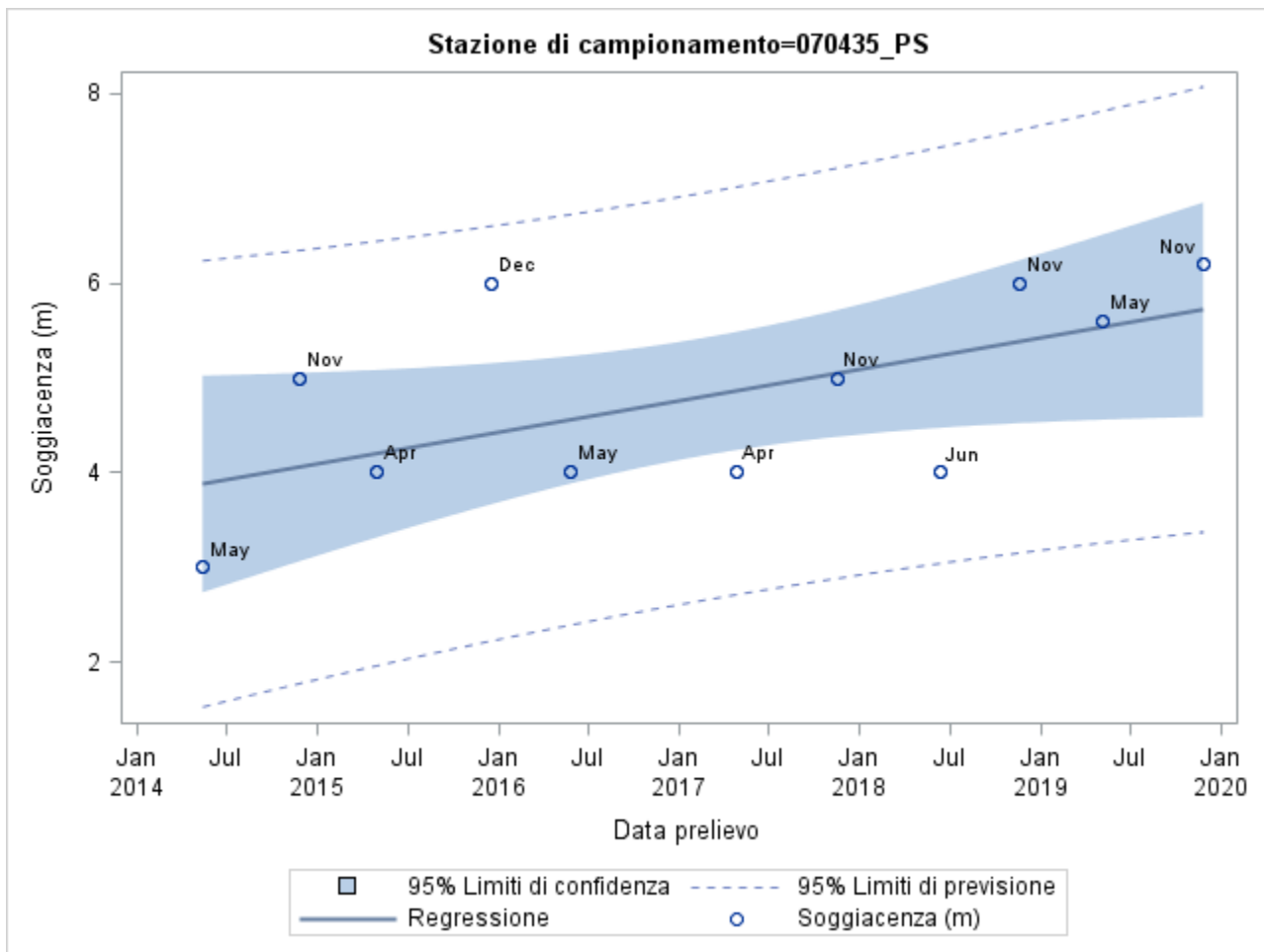
Appendice G

AV_MEN - ALLUVIONI VALLIVE DEL TORRENTE MENOCCHIA

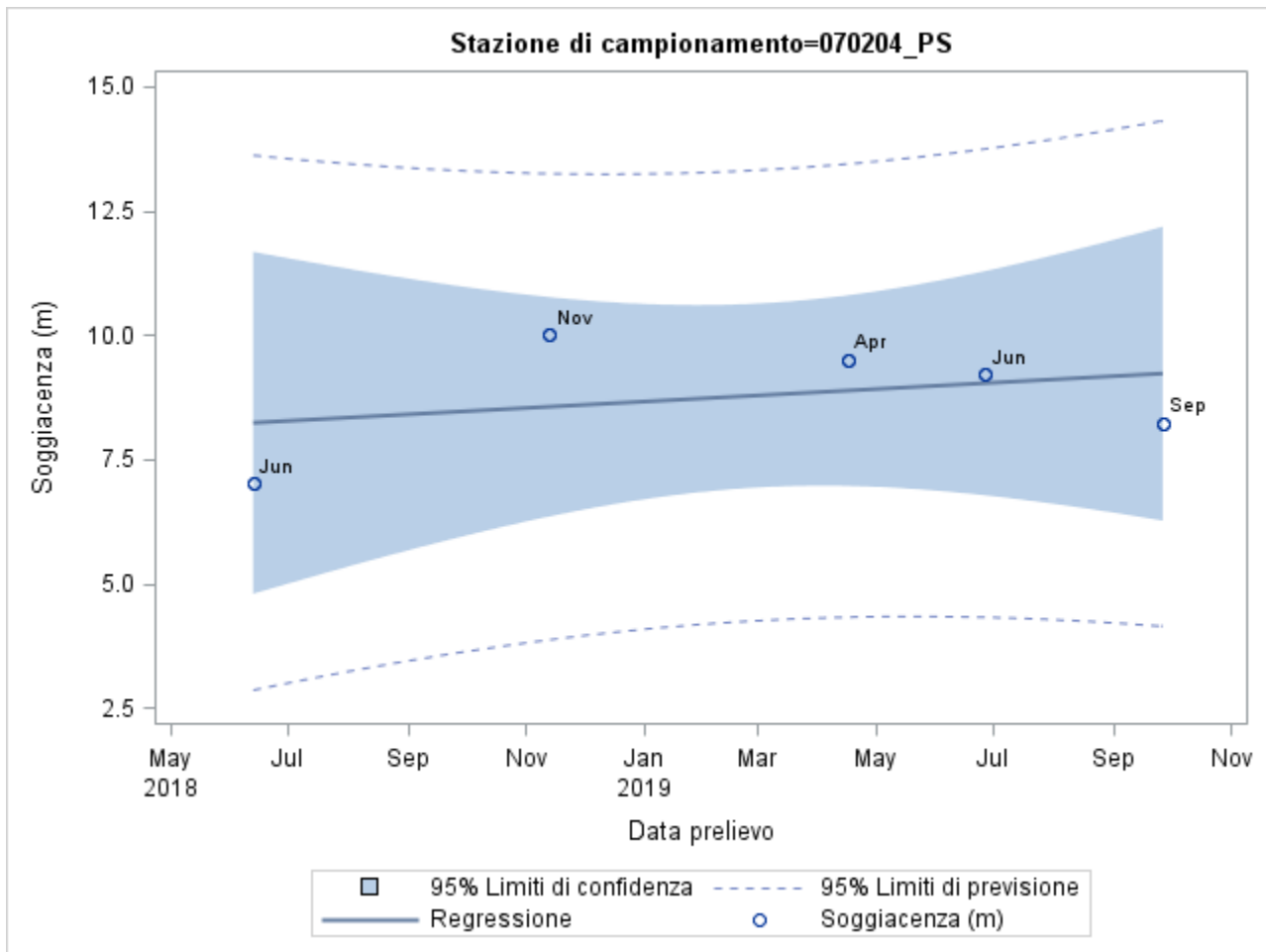


Appendice G

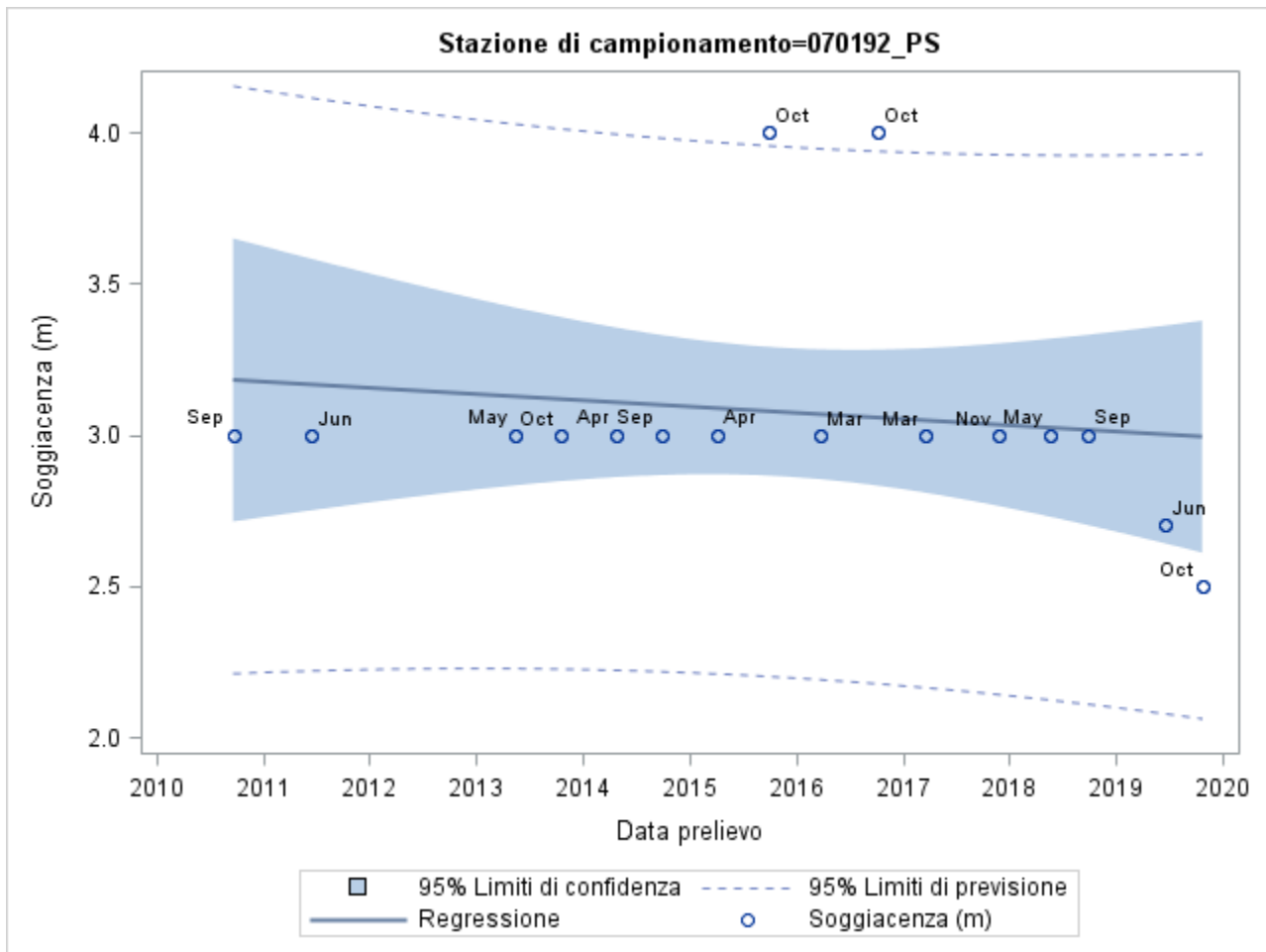
AV_MET - ALLUVIONI VALLIVE DEL FIUME METAURO



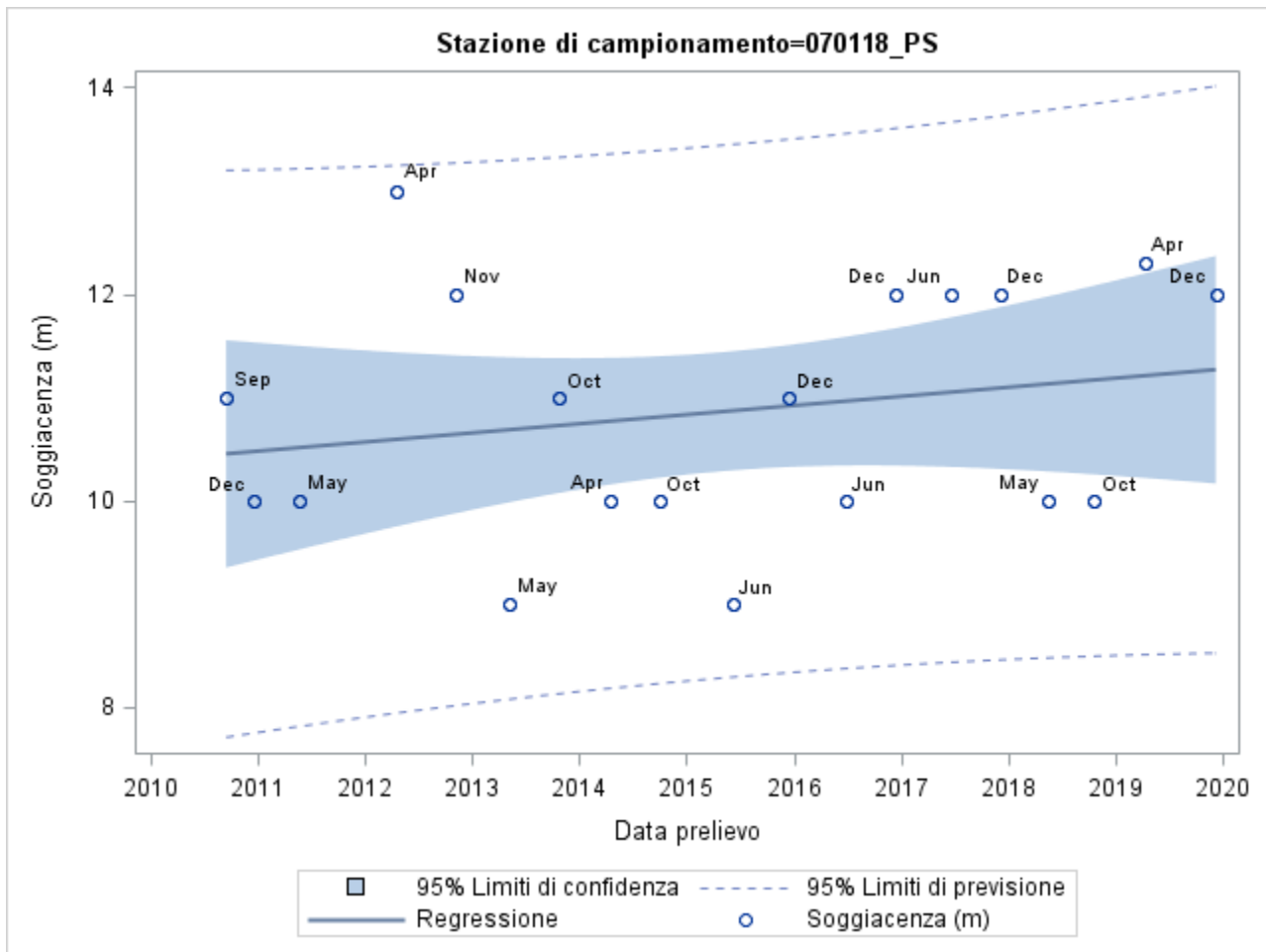
Appendice G



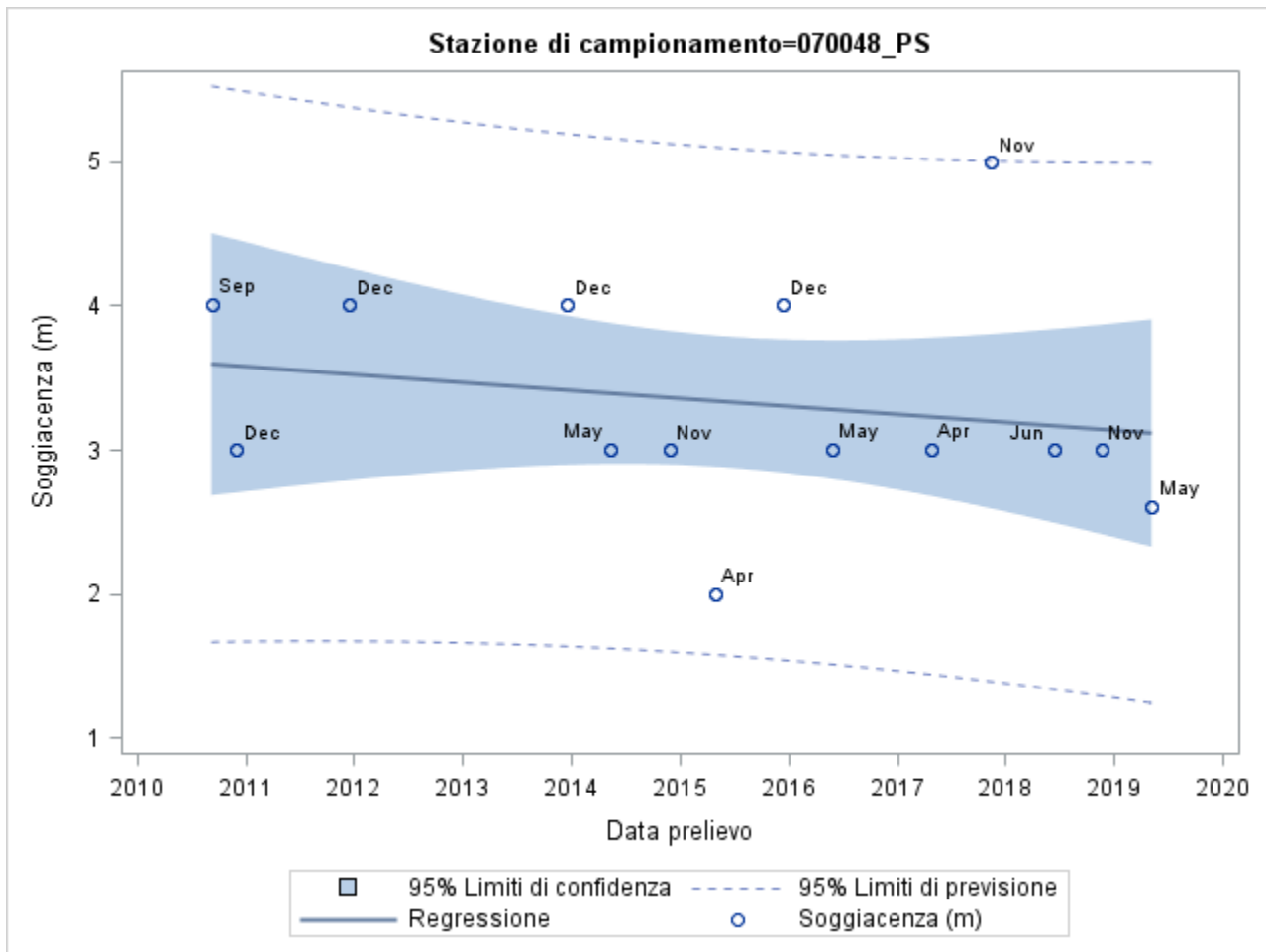
Appendice G



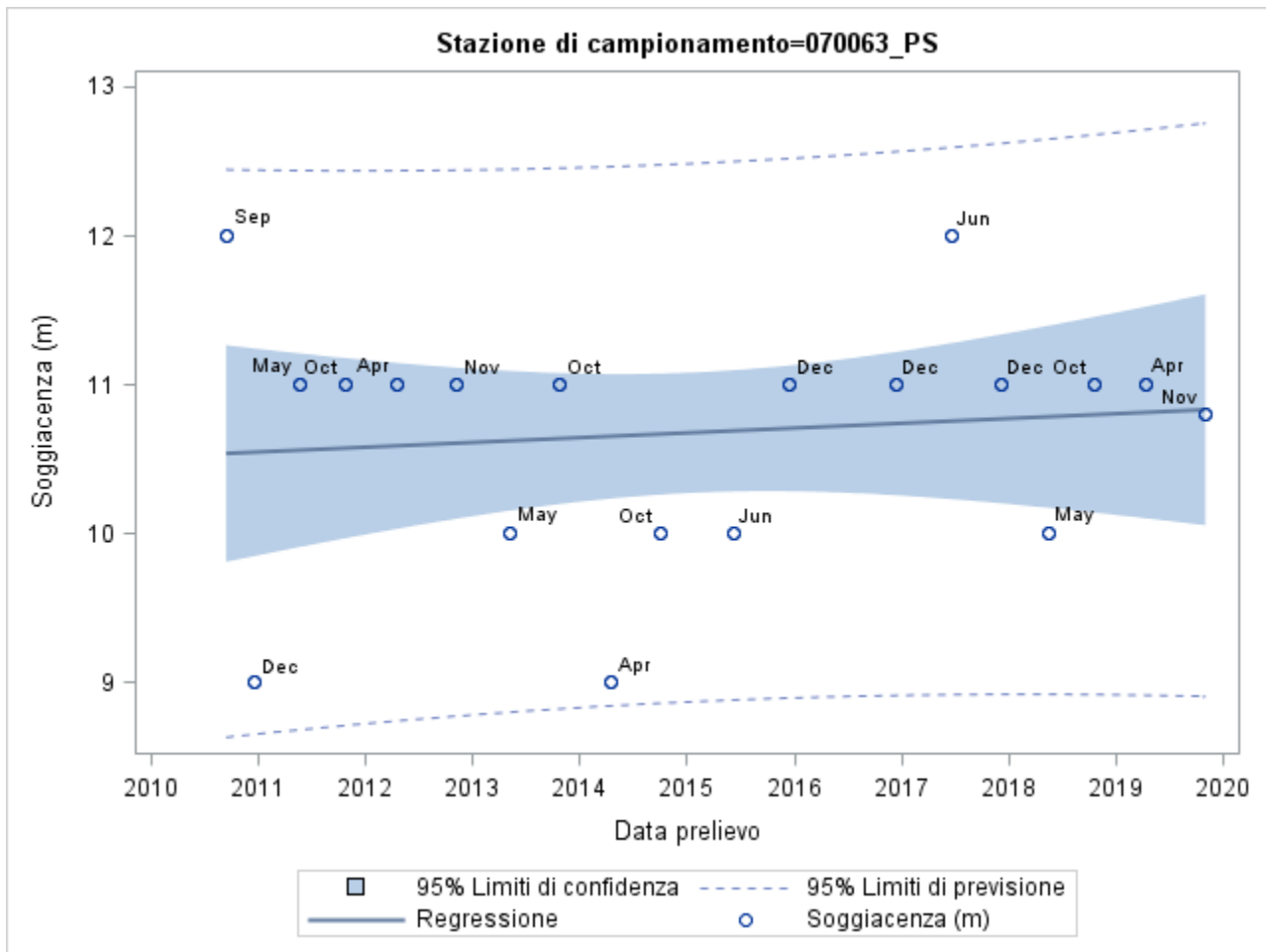
Appendice G



Appendice G

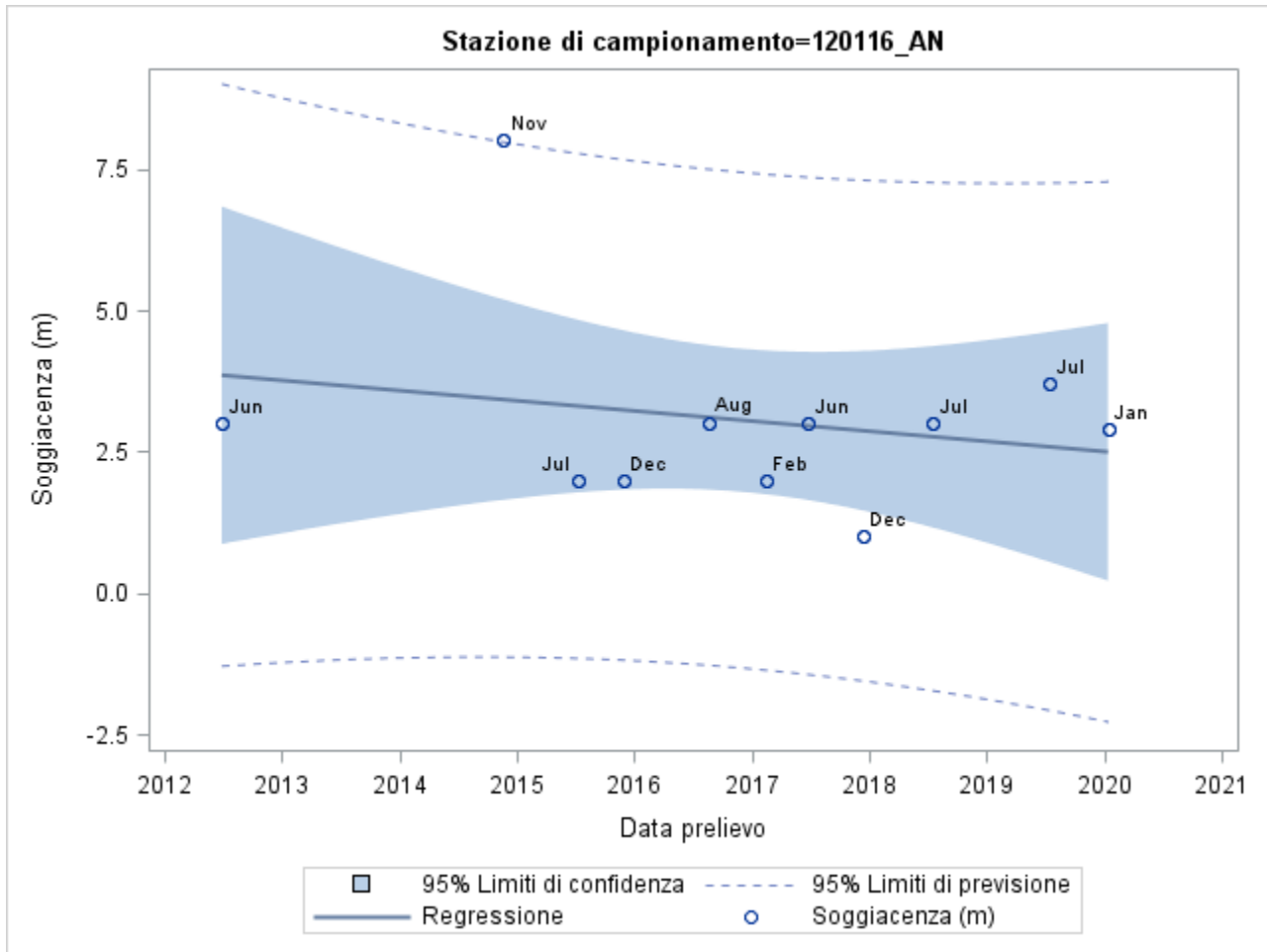


Appendice G

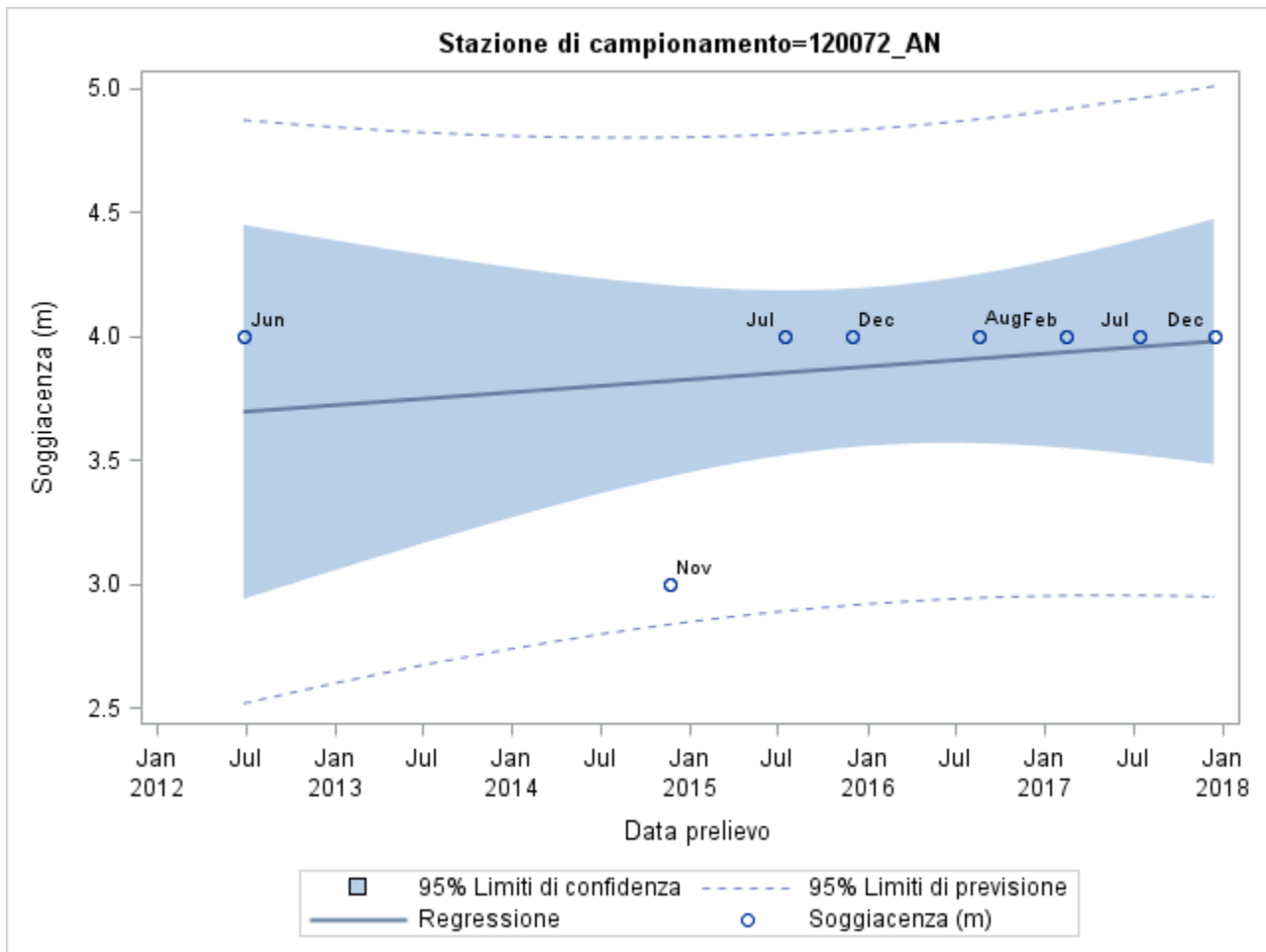


Appendice G

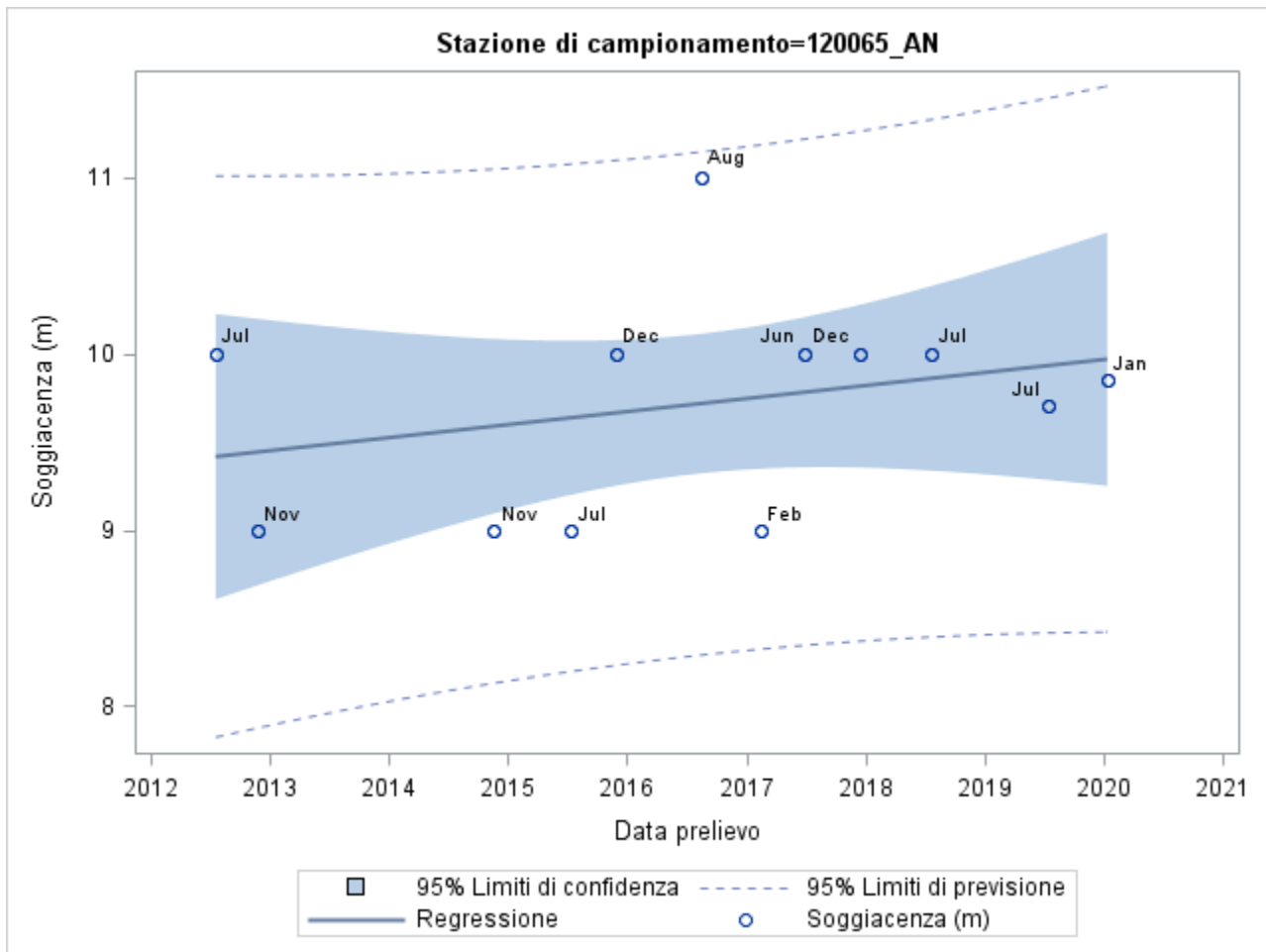
AV_MIS - ALLUVIONI VALLIVE DEL FIUME MISA E DEI SUOI TRIBUTARI



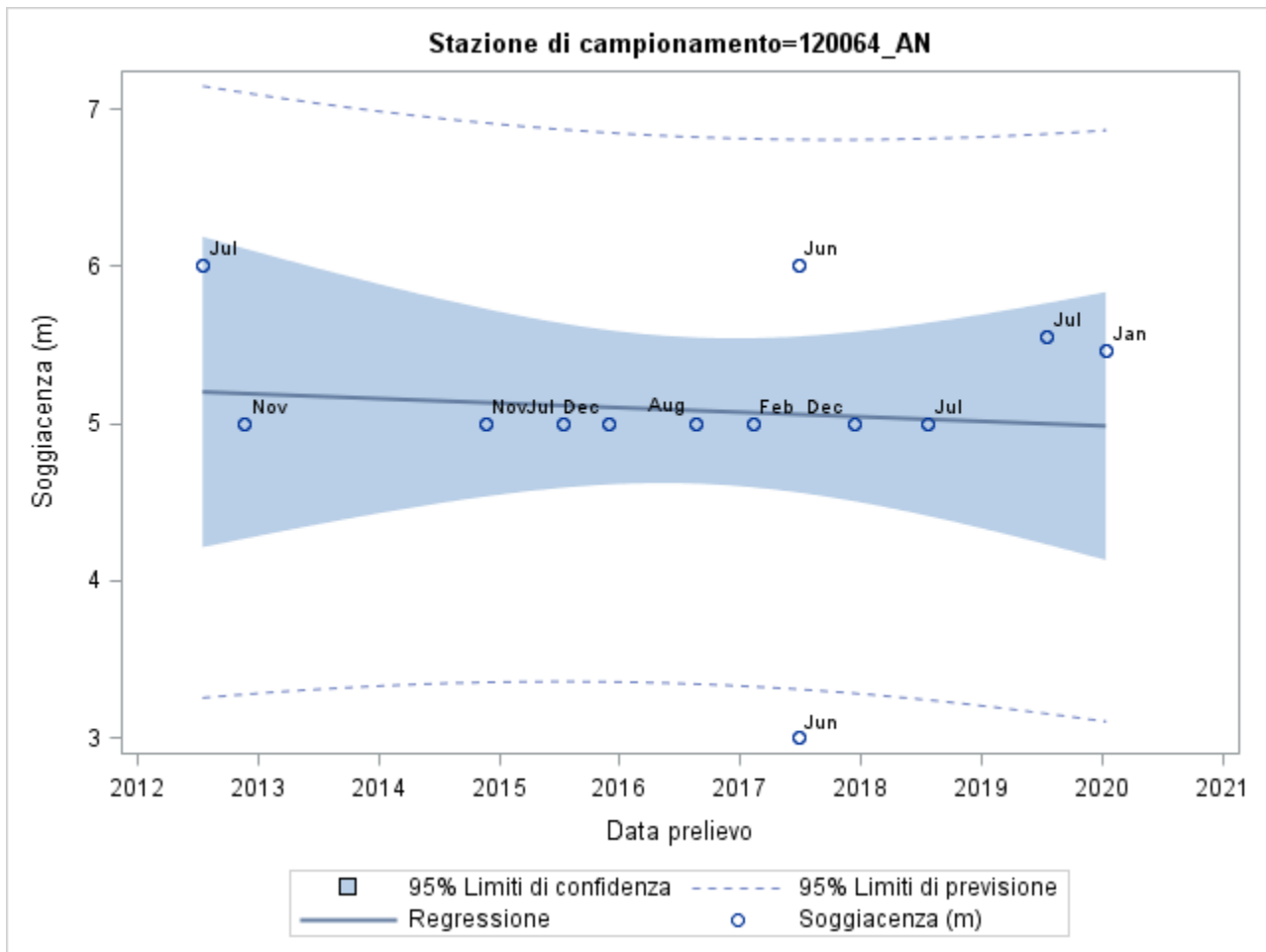
Appendice G



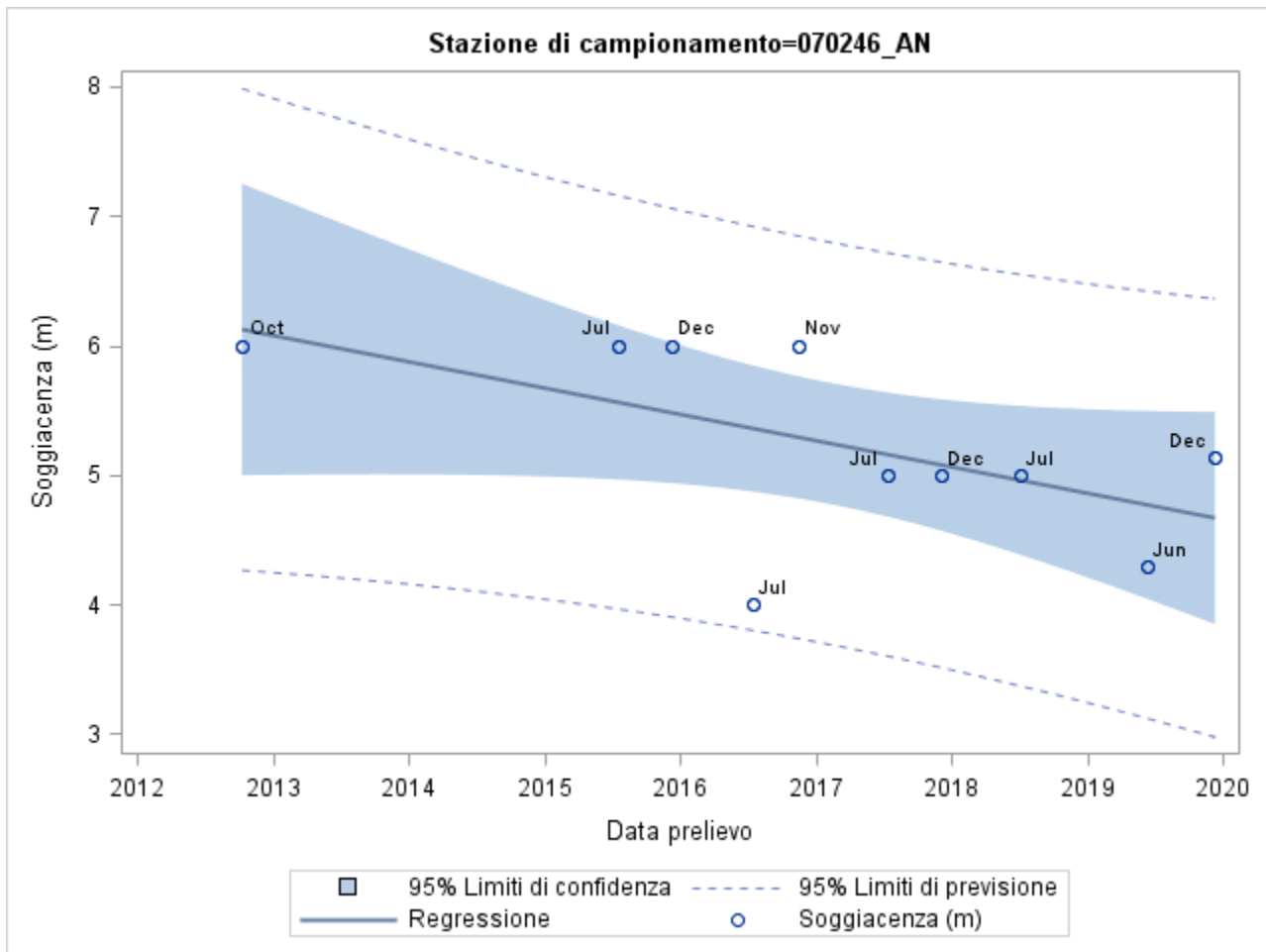
Appendice G



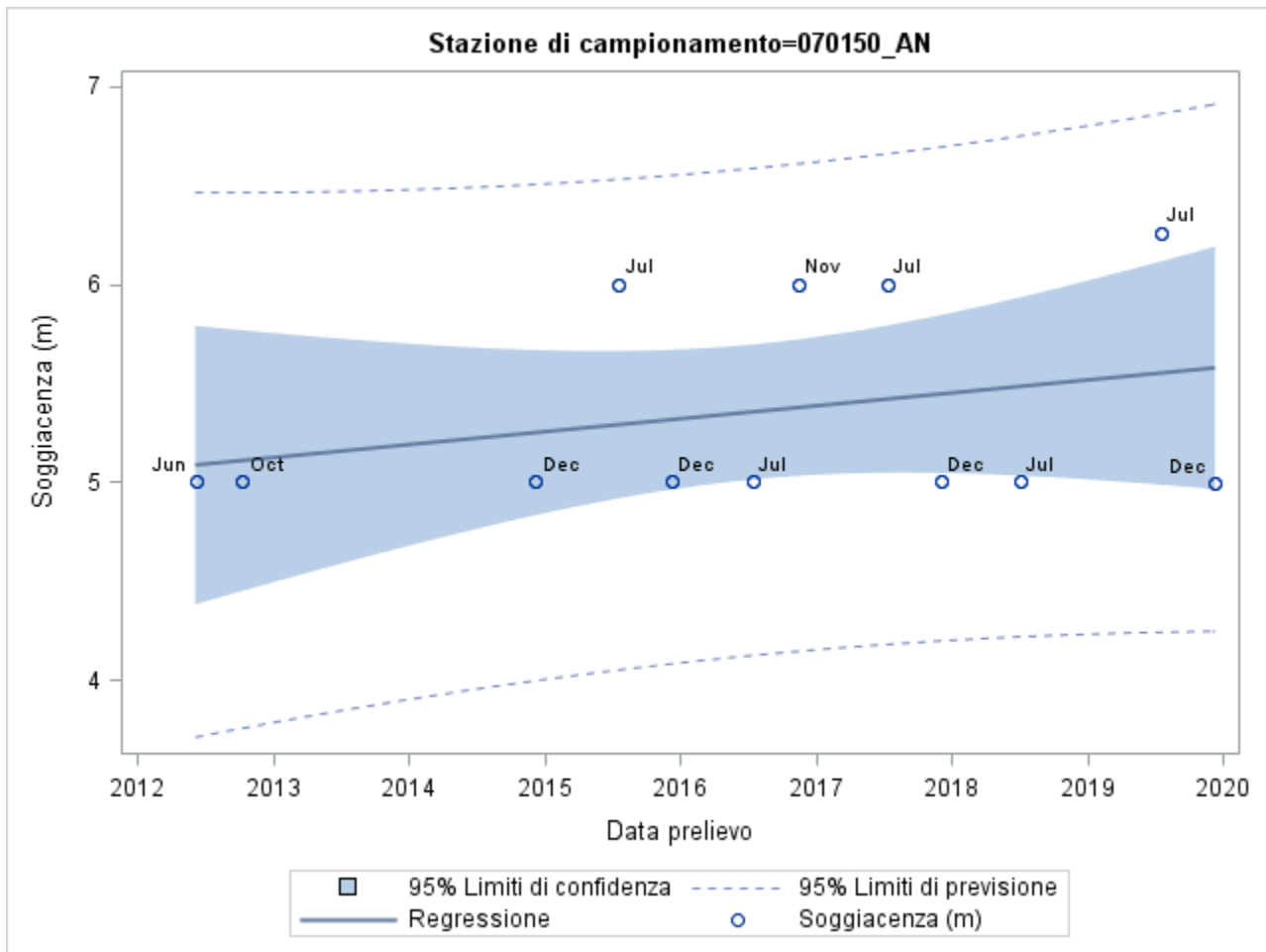
Appendice G



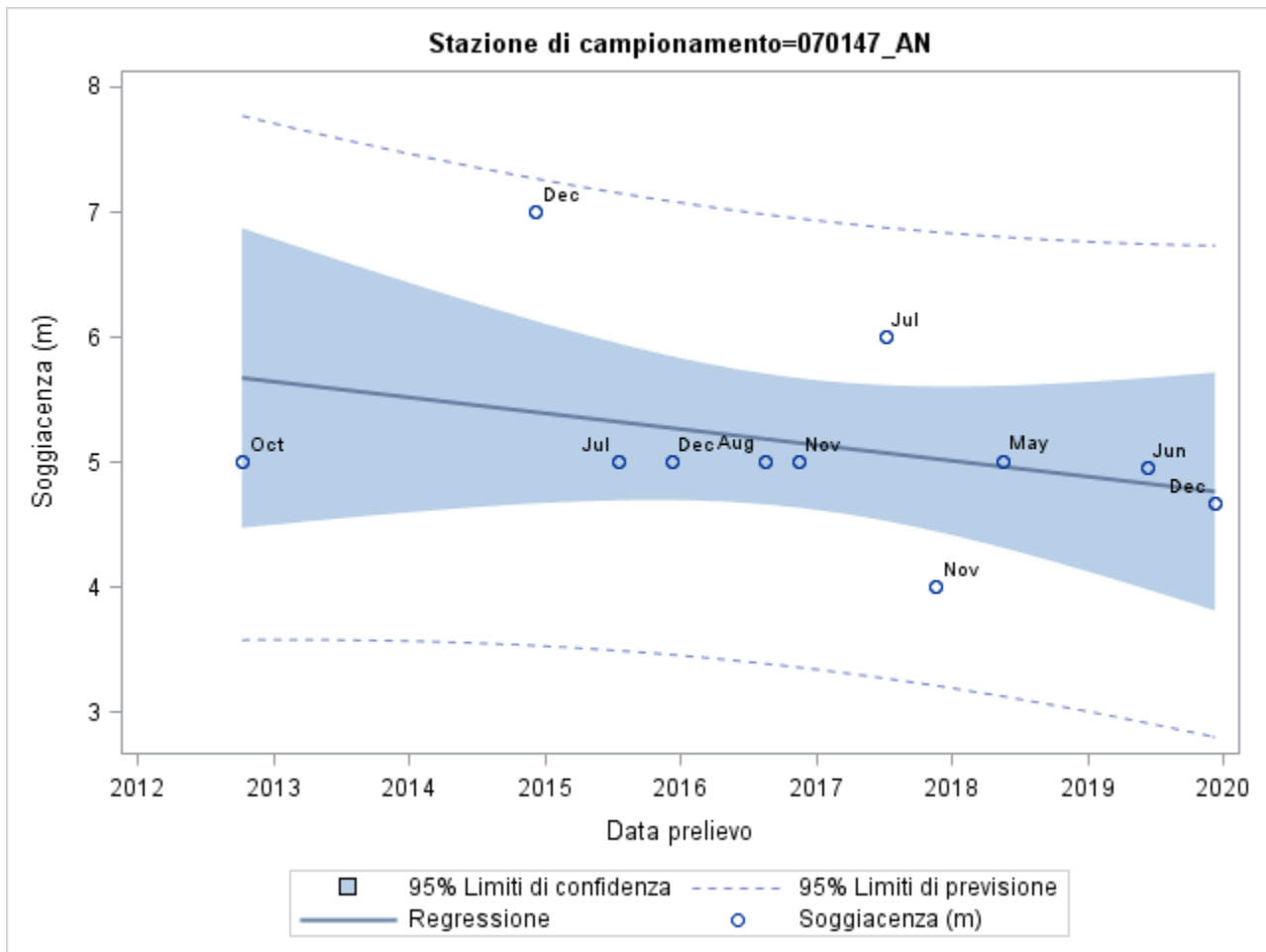
Appendice G



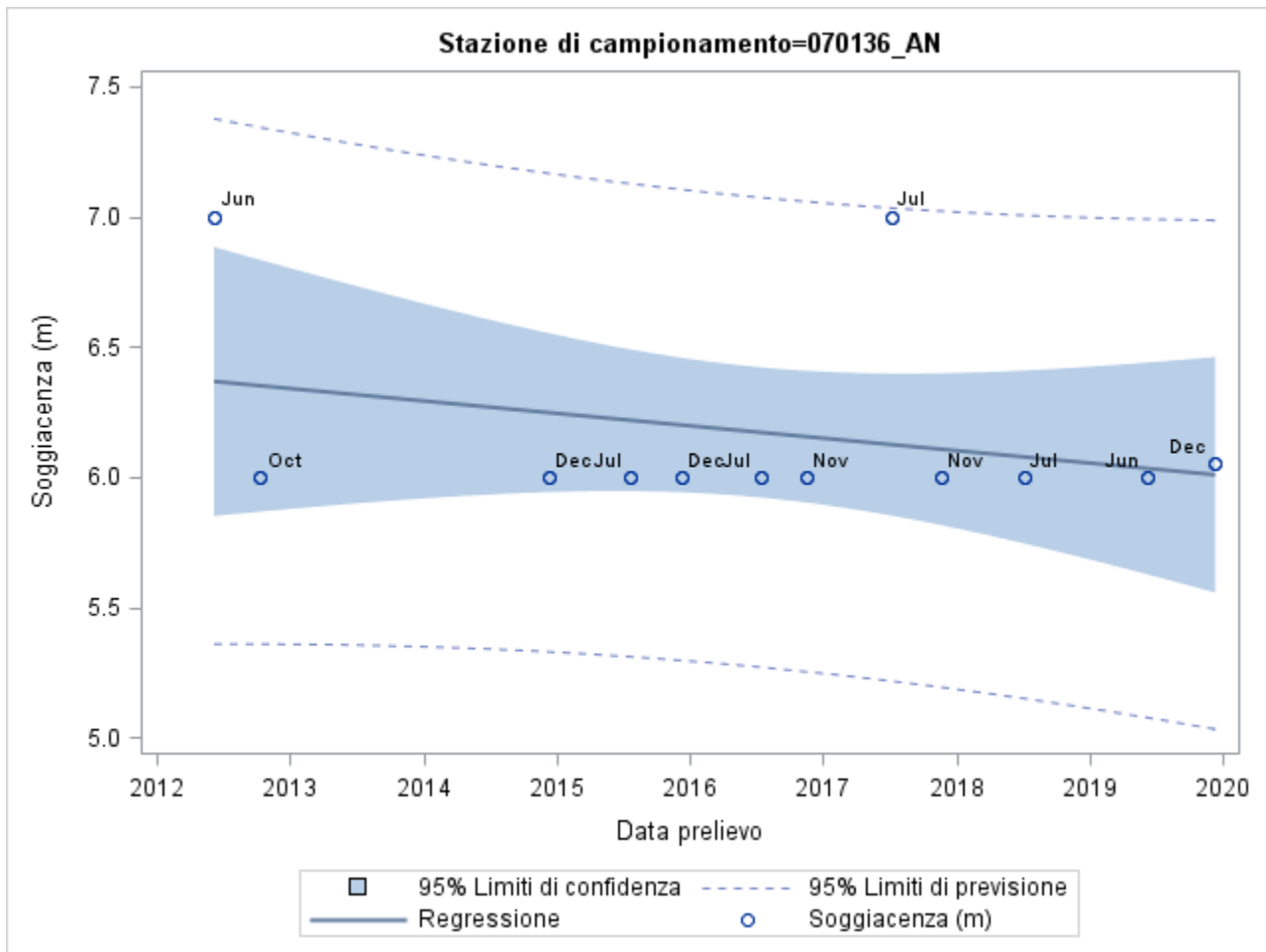
Appendice G



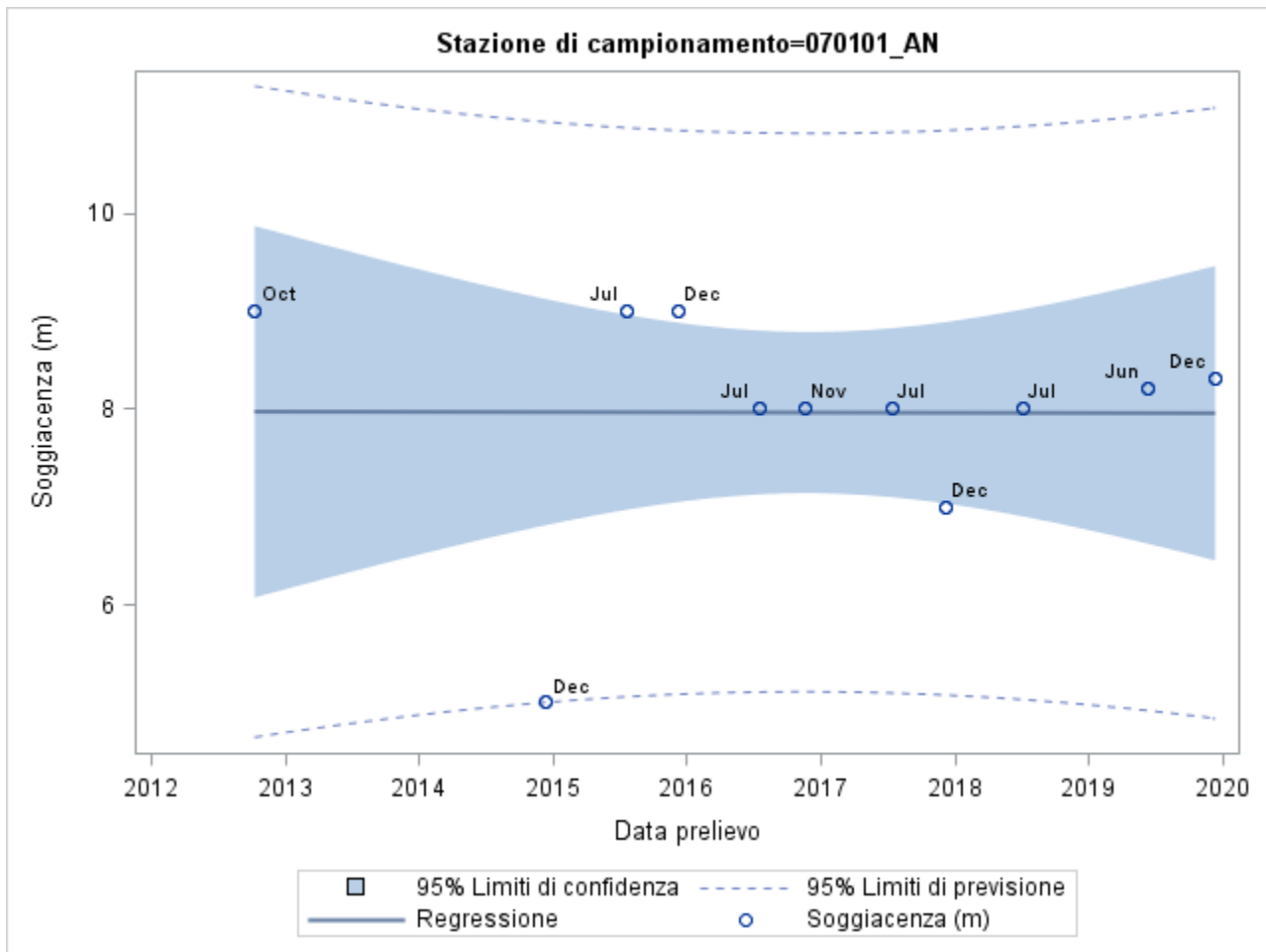
Appendice G



Appendice G

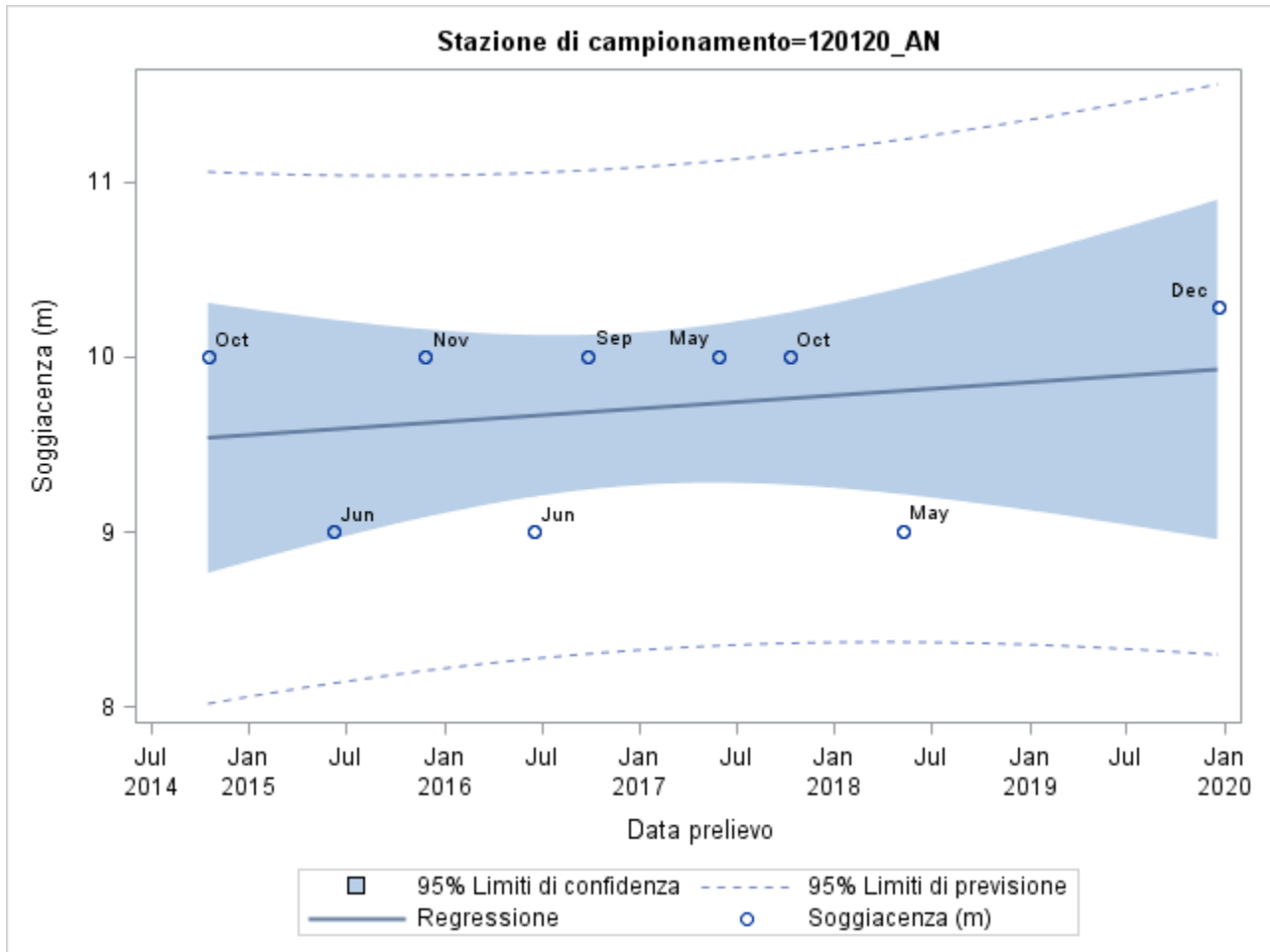


Appendice G

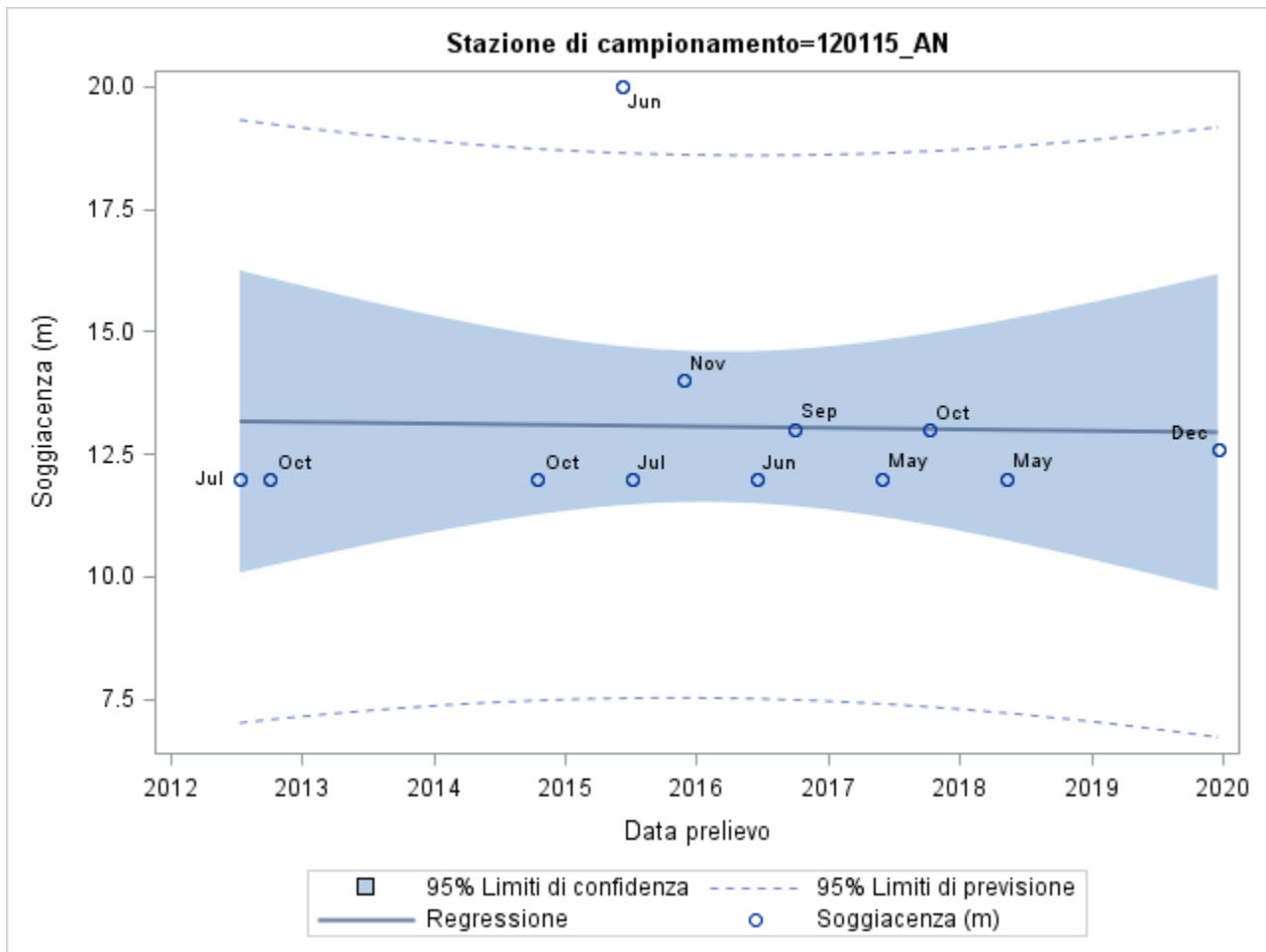


Appendice G

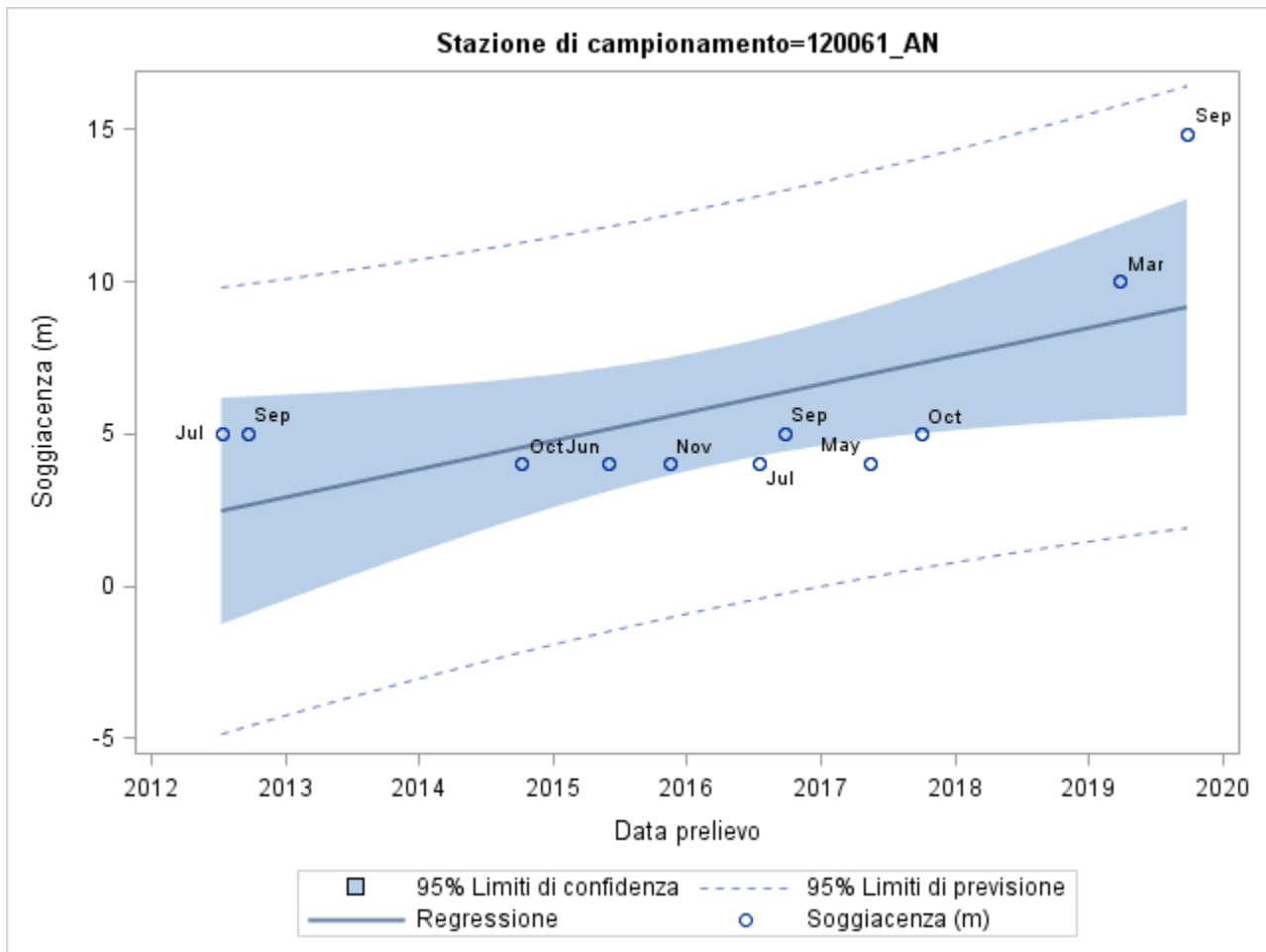
AV_MUS - ALLUVIONI VALLIVE DEL FIUME MUSONE E DEI SUOI TRIBUTARI



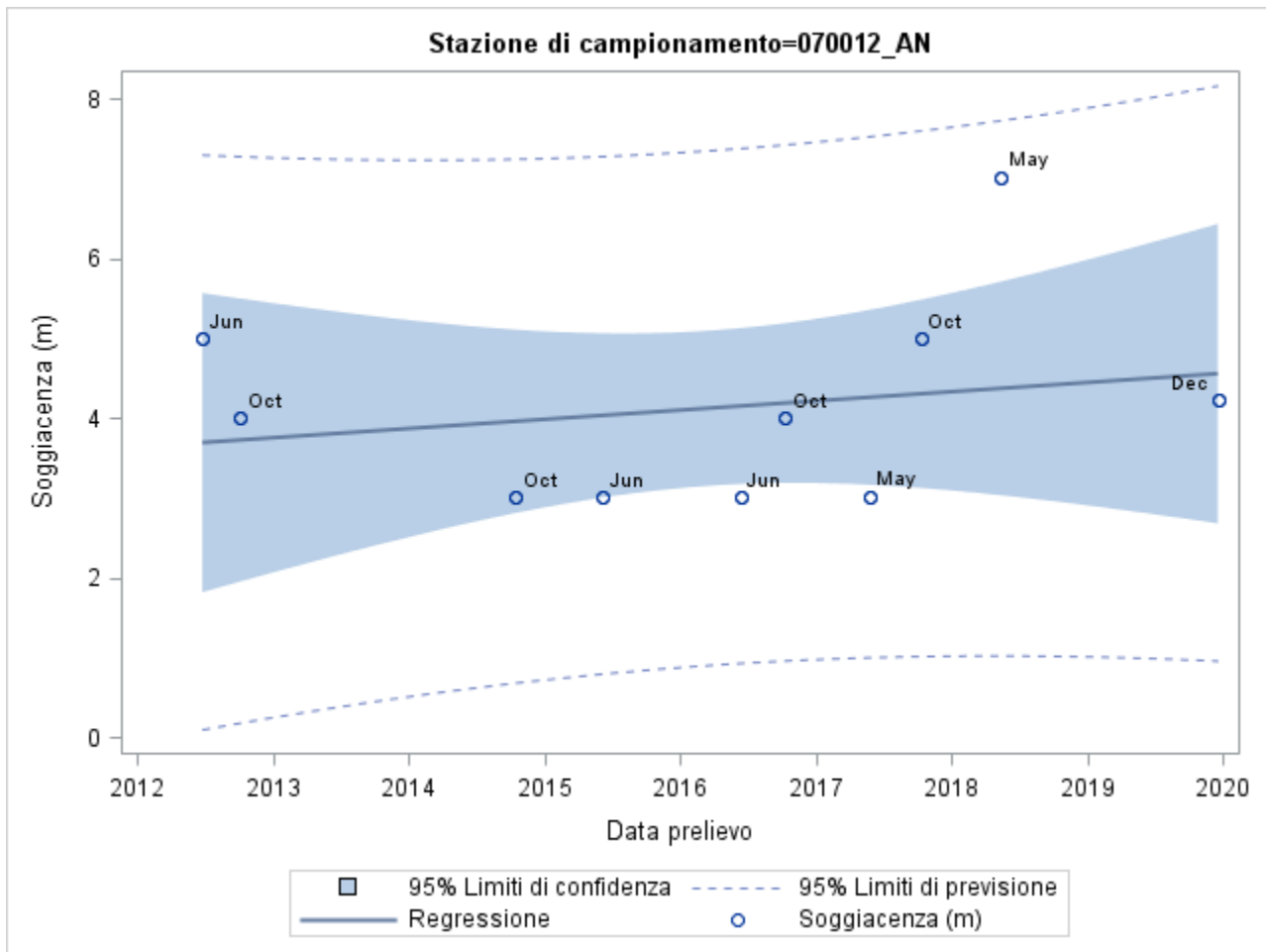
Appendice G



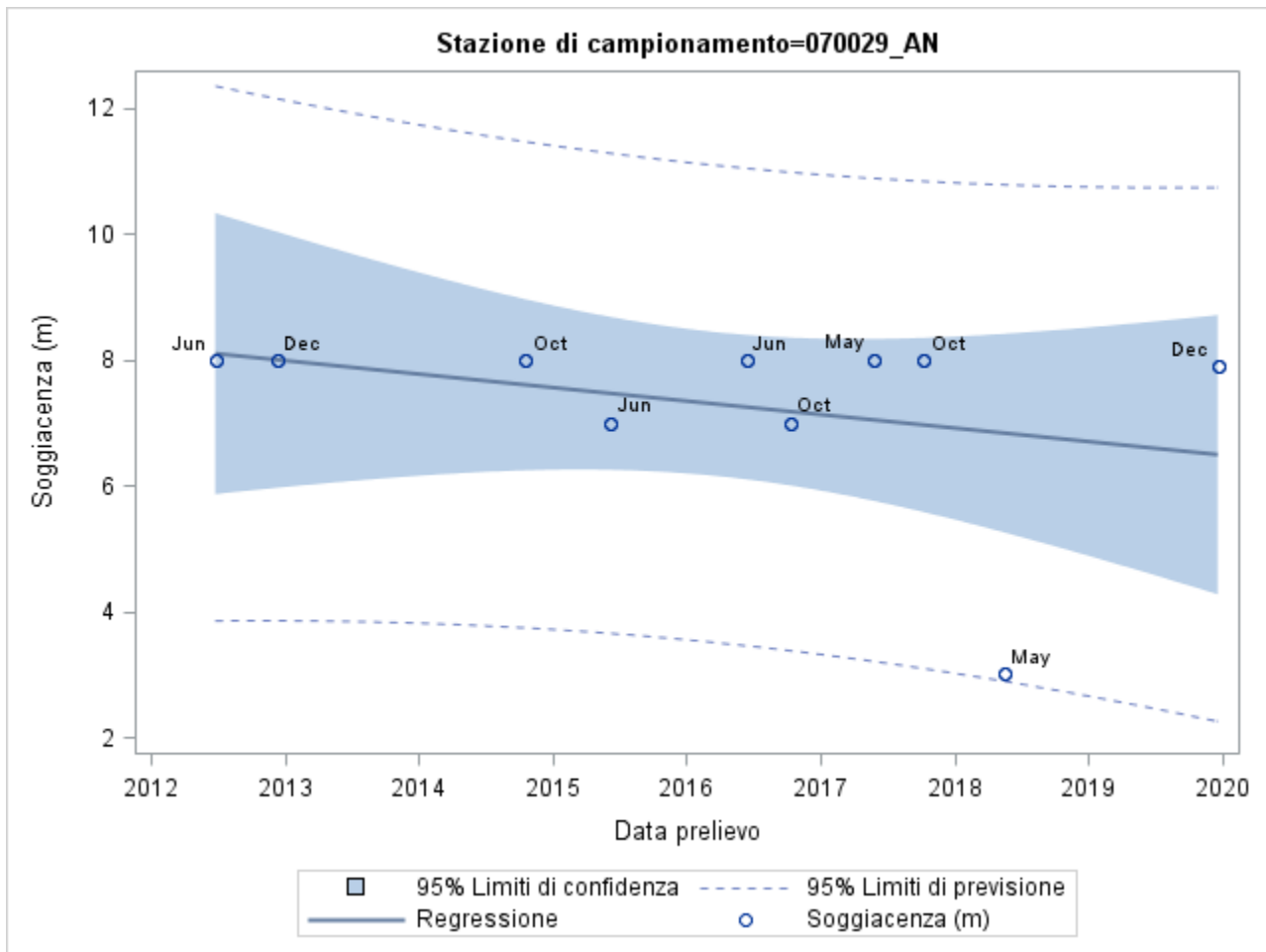
Appendice G



Appendice G

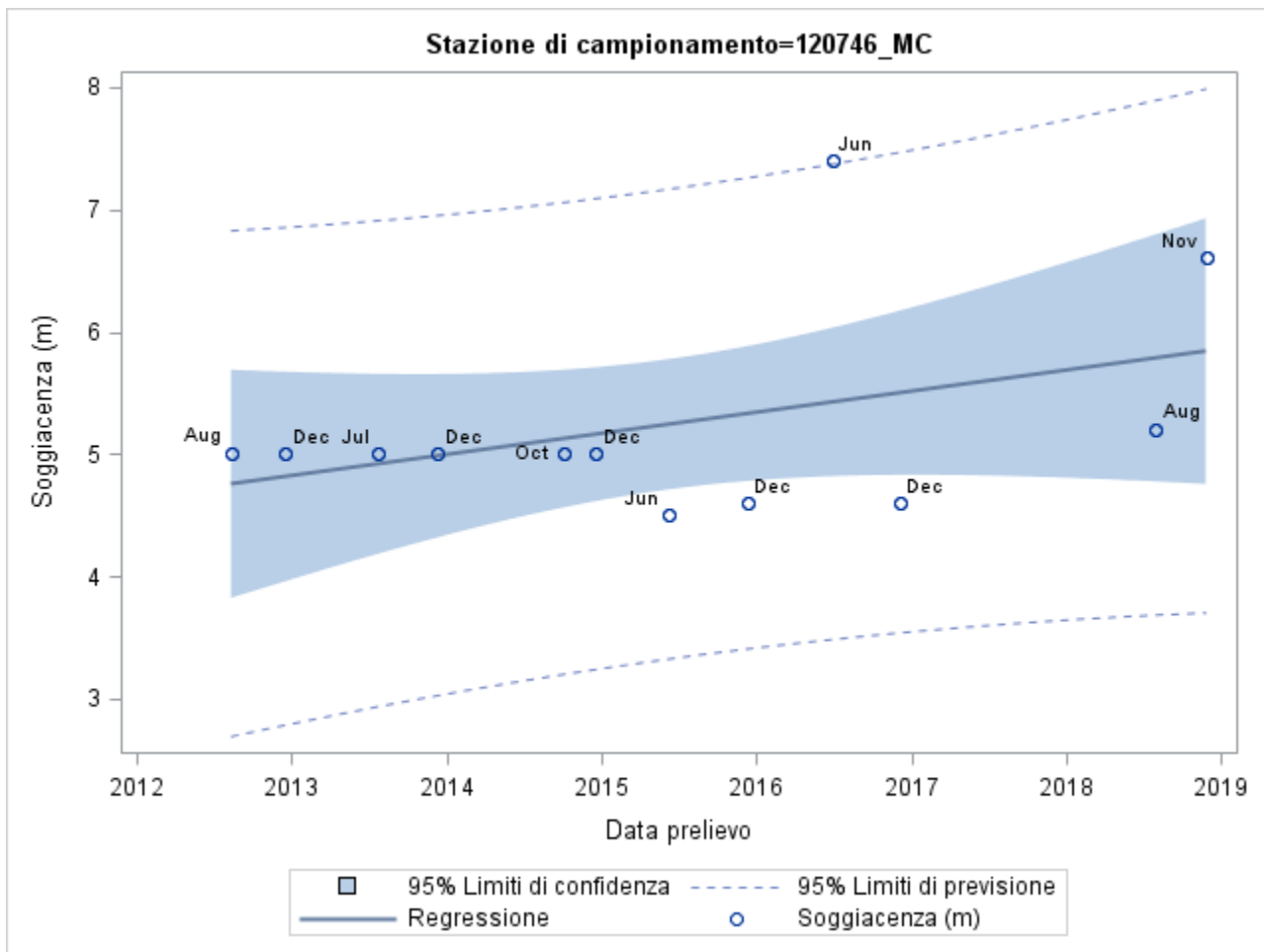


Appendice G

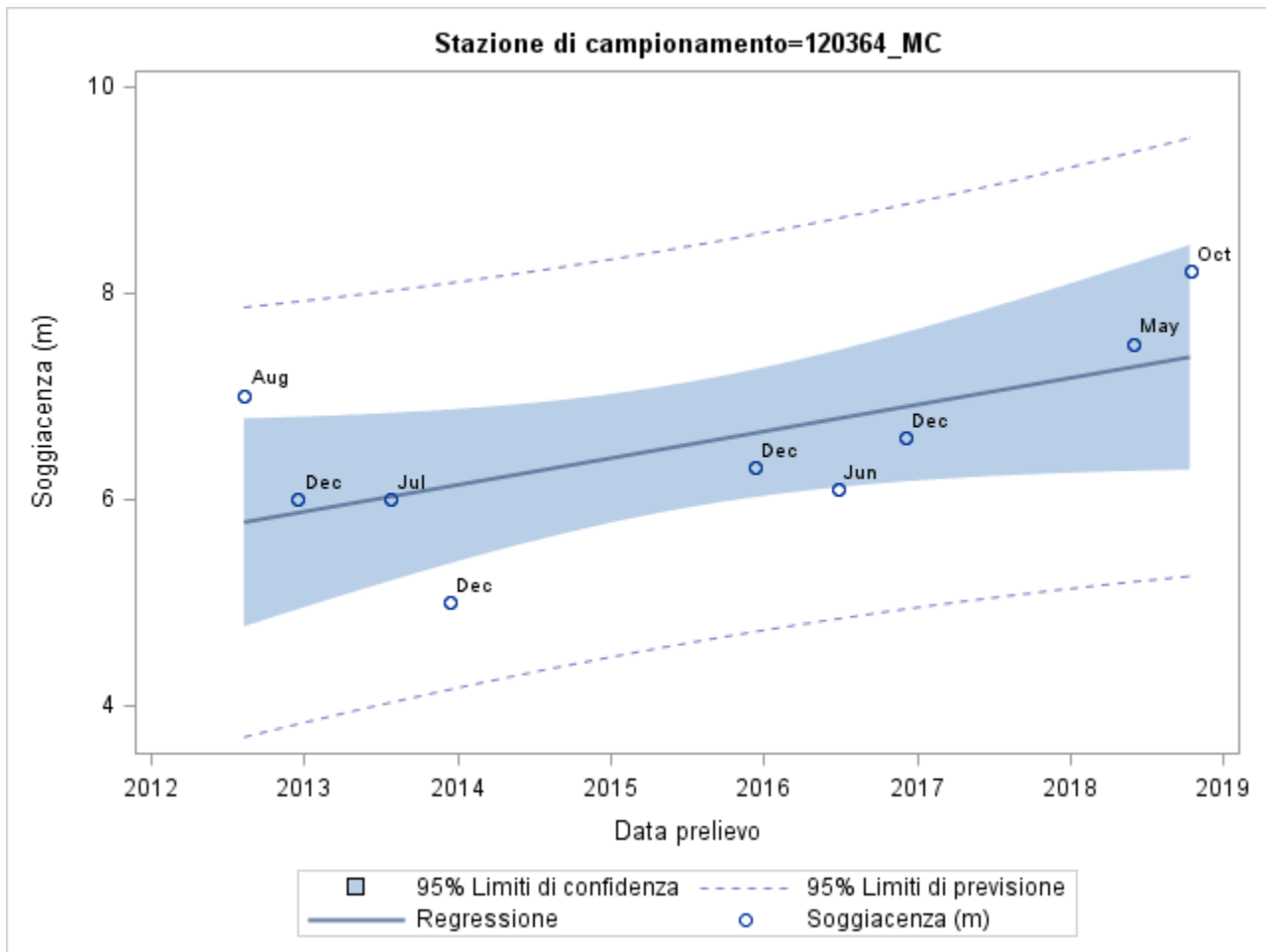


Appendice G

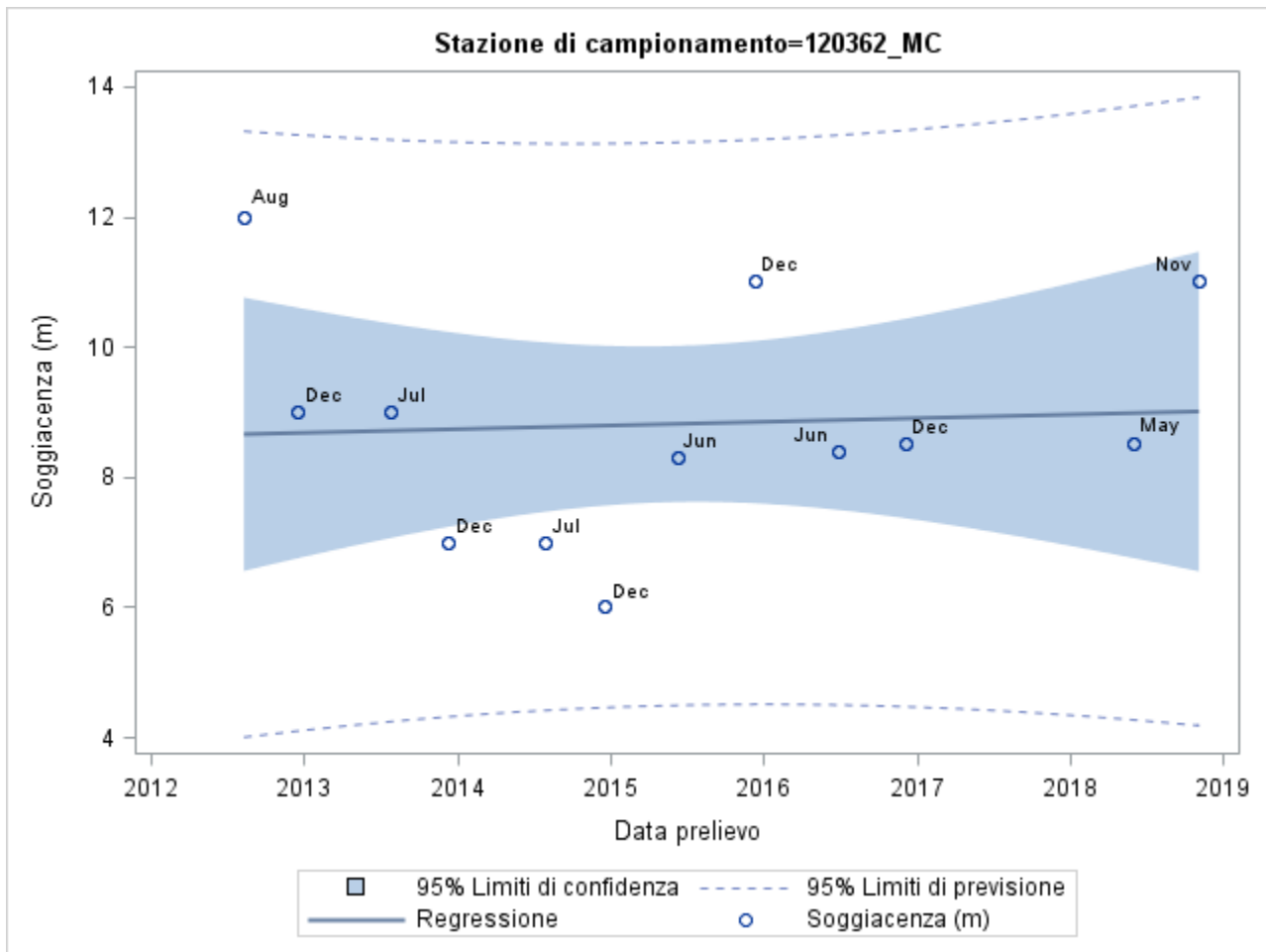
AV_POT - ALLUVIONI VALLIVE DEL FIUME POTENZA E DEI SUOI TRIBUTARI



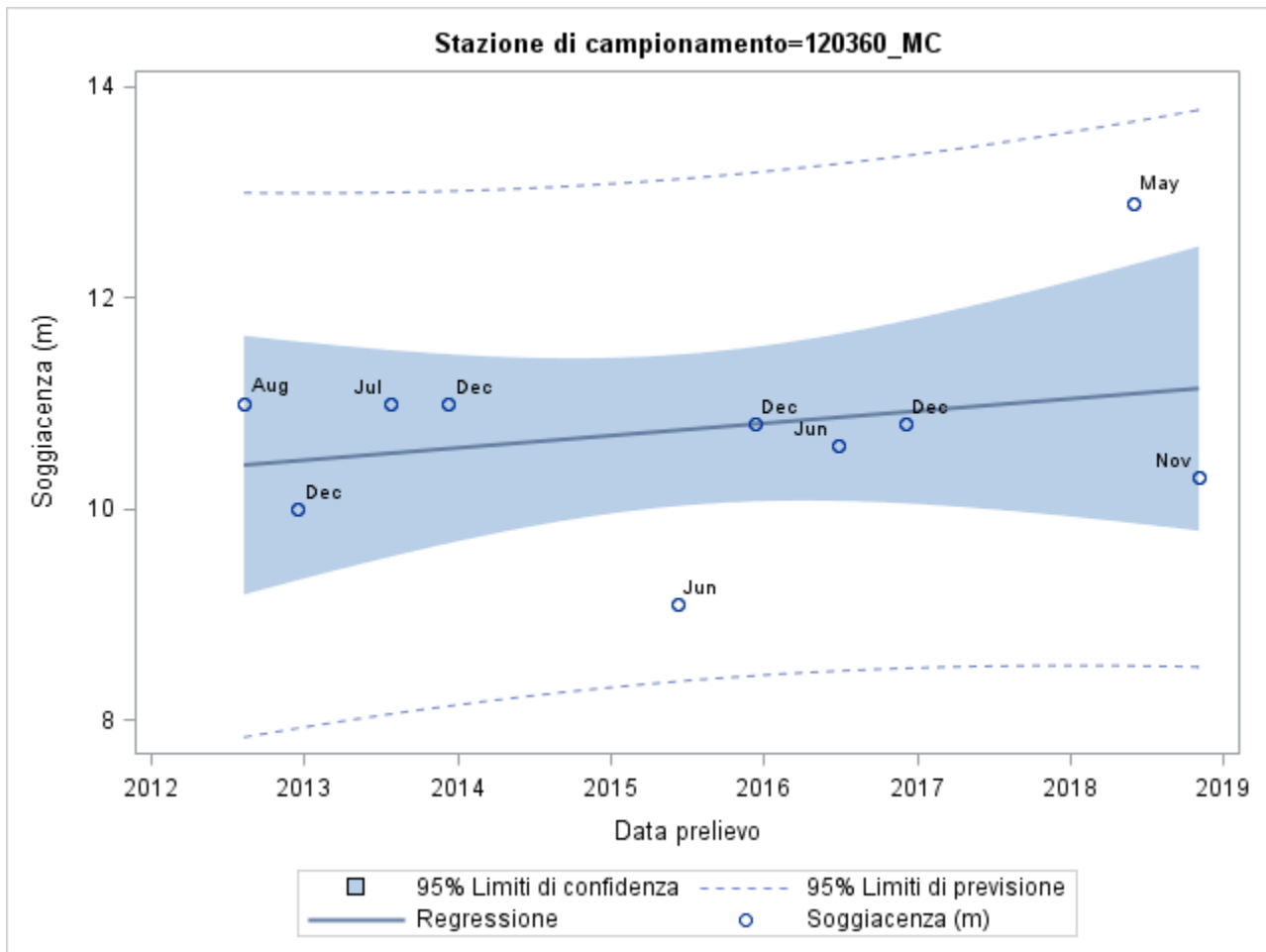
Appendice G



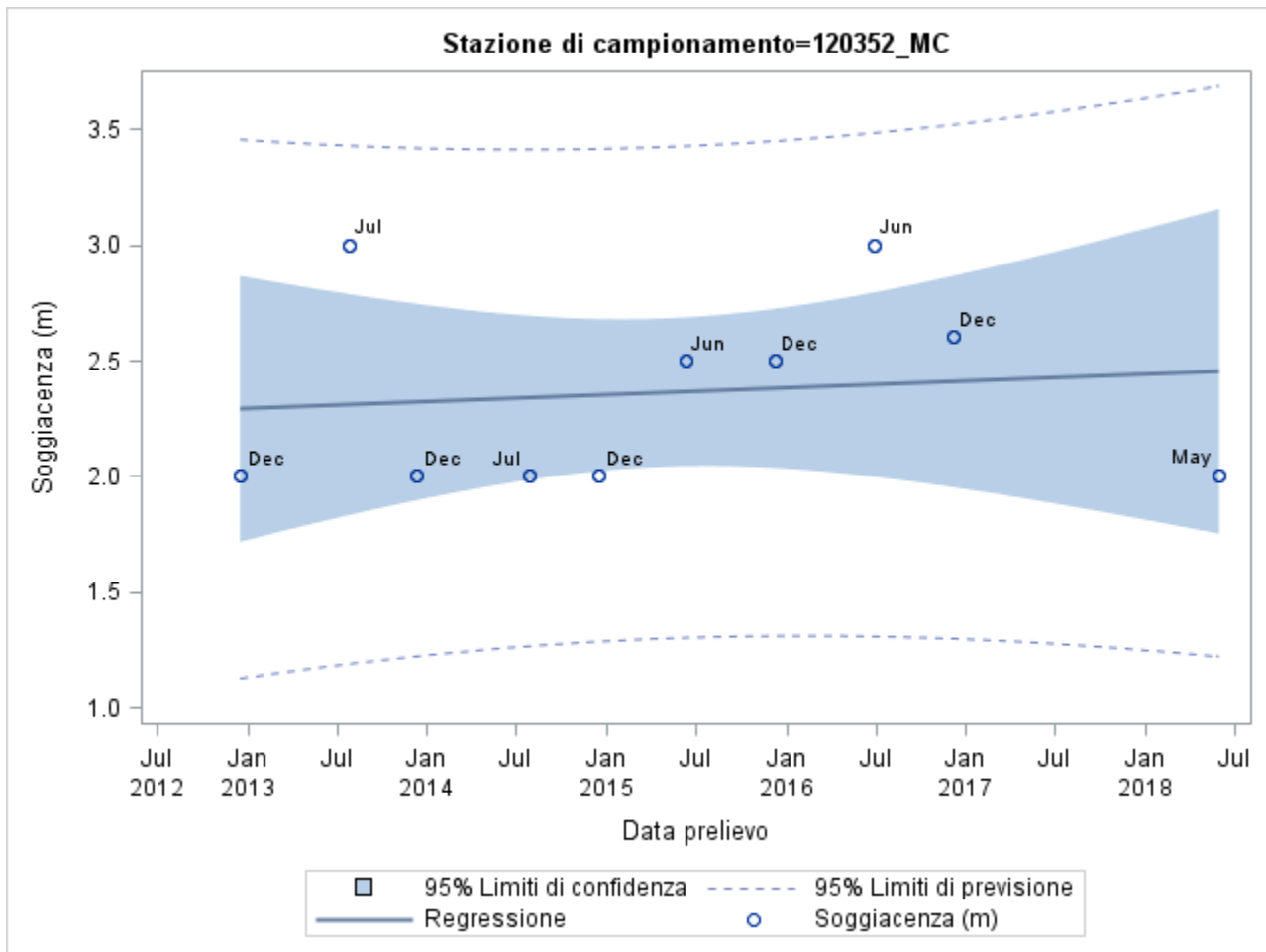
Appendice G



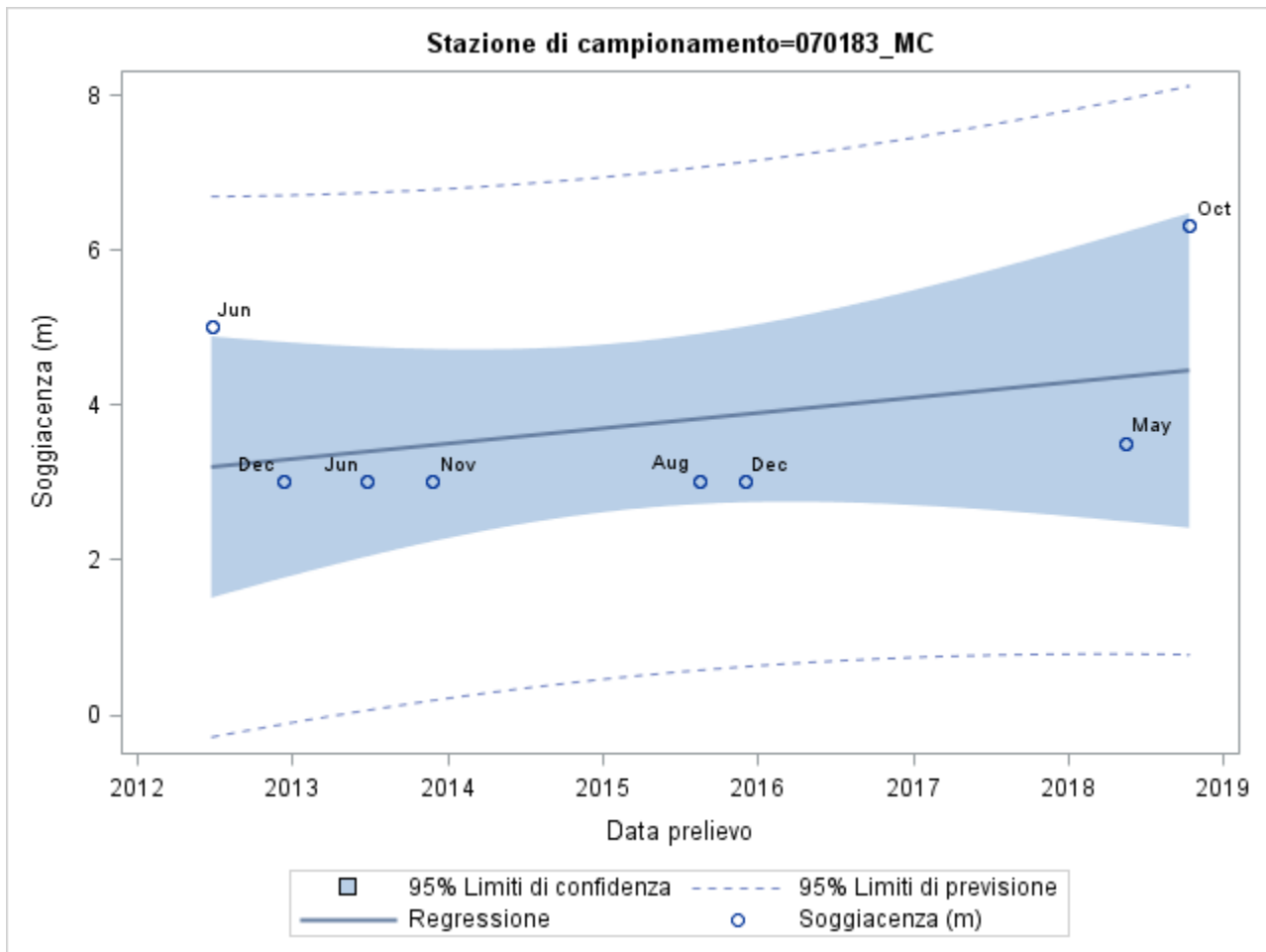
Appendice G



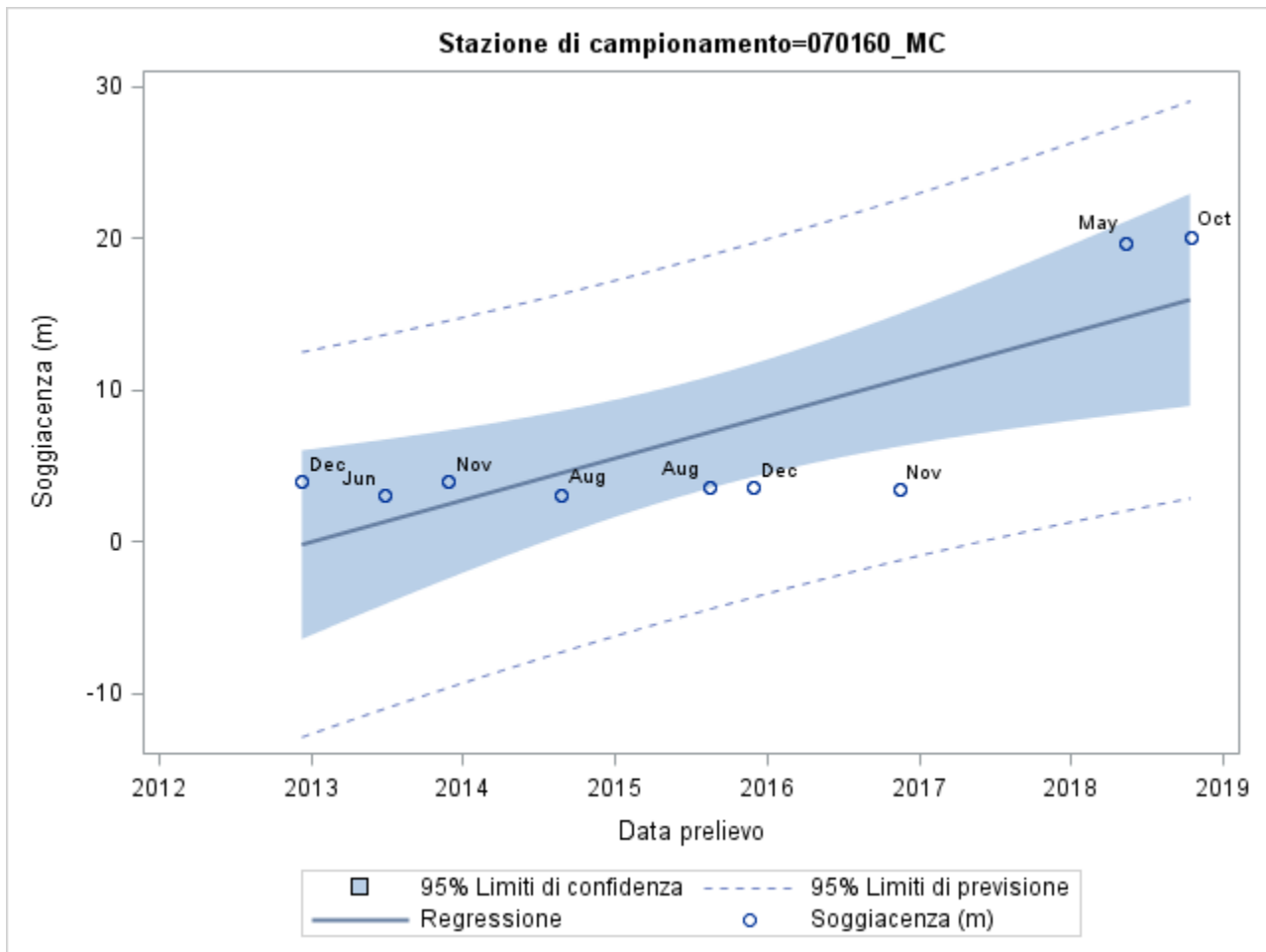
Appendice G



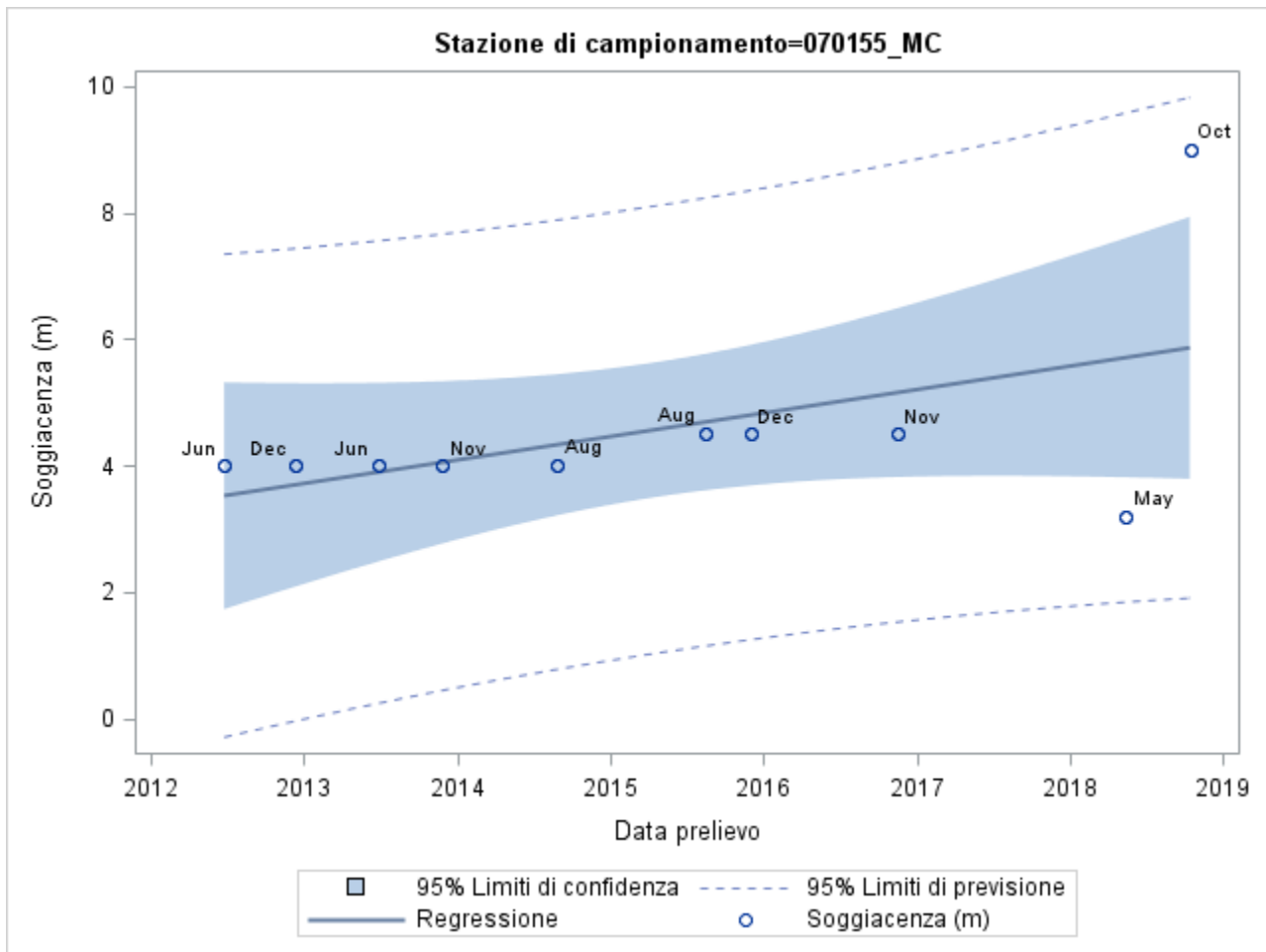
Appendice G



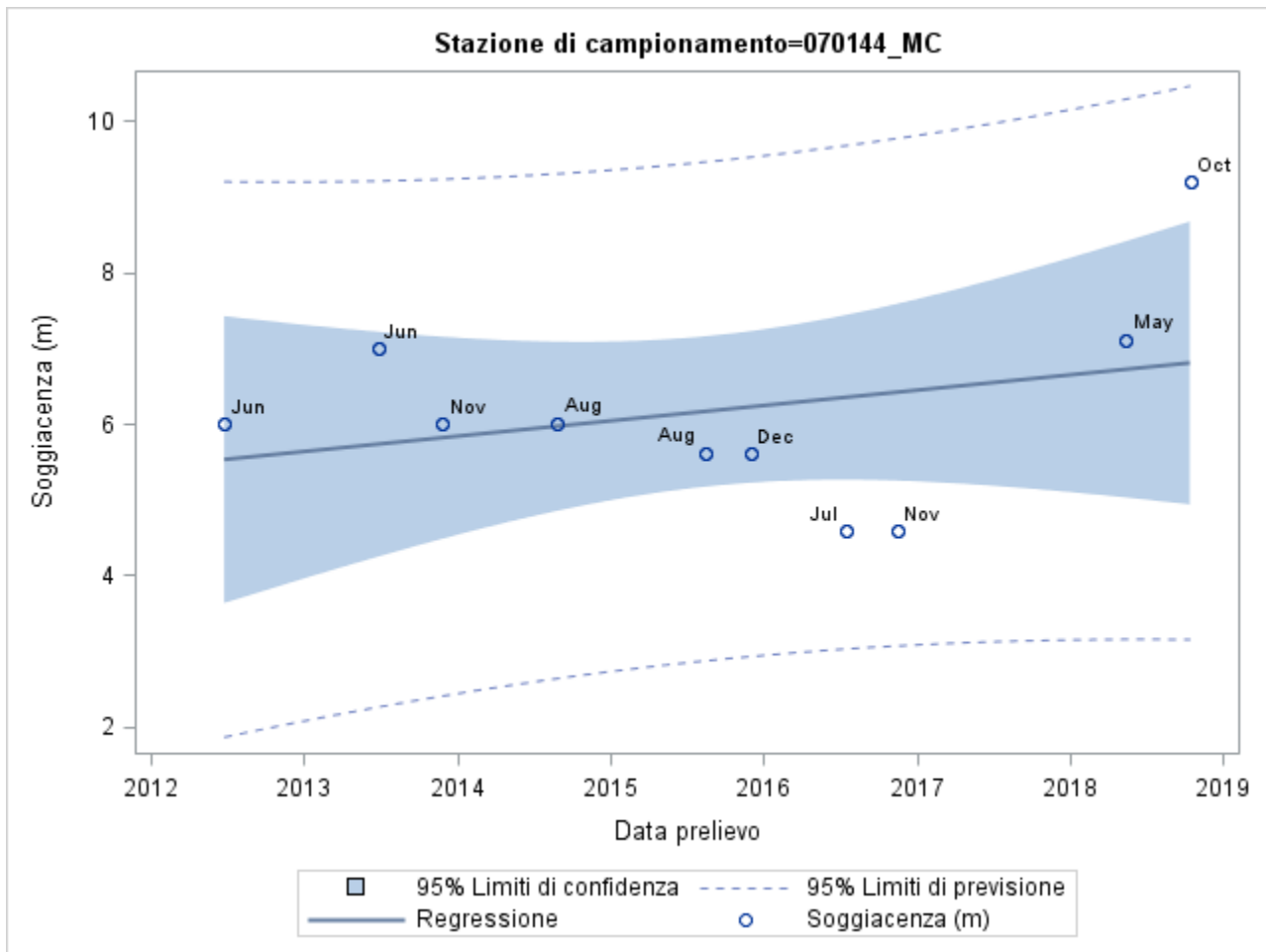
Appendice G



Appendice G

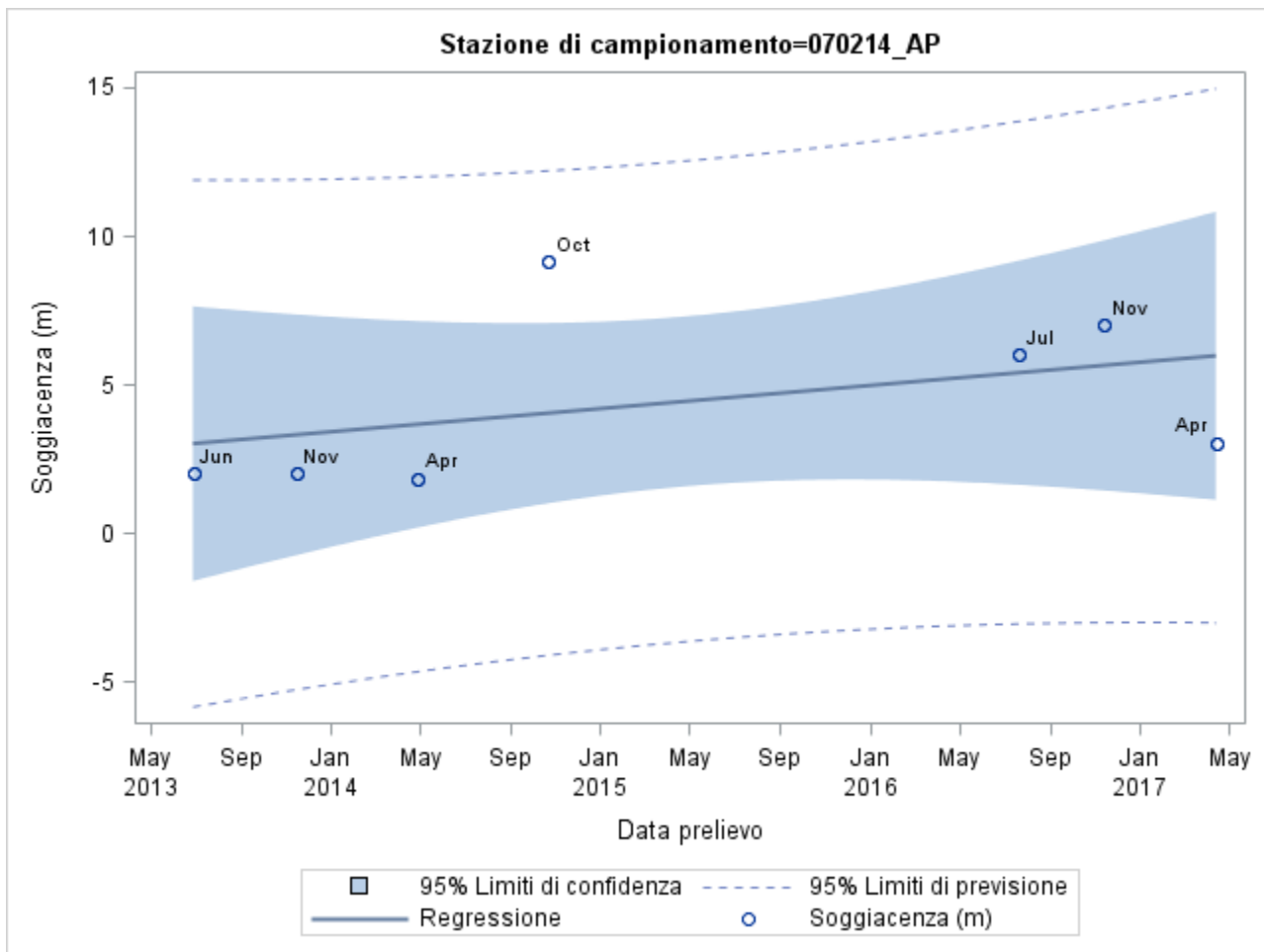


Appendice G

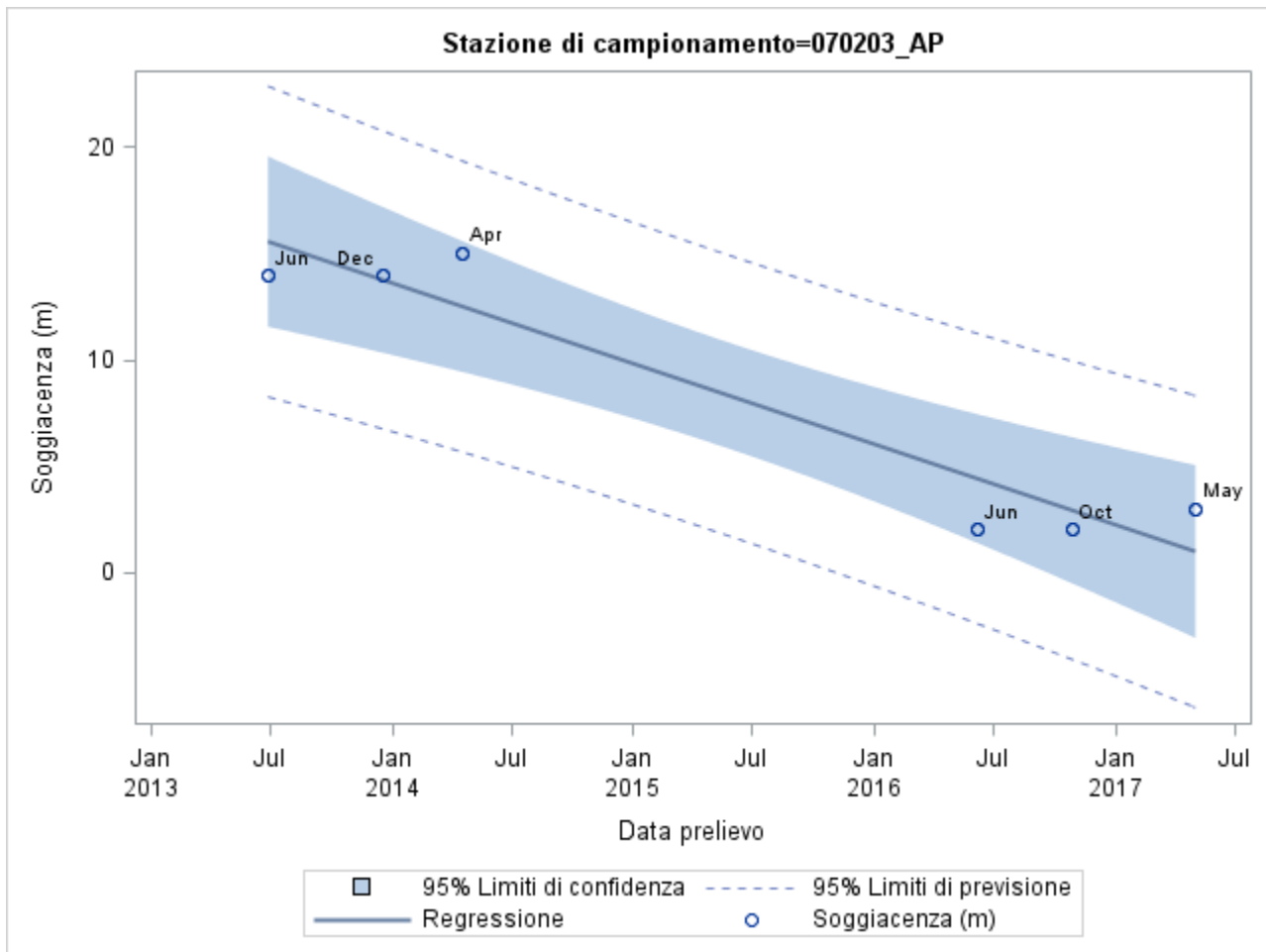


Appendice G

AV_TES - ALLUVIONI VALLIVE DEL FIUME TESINO

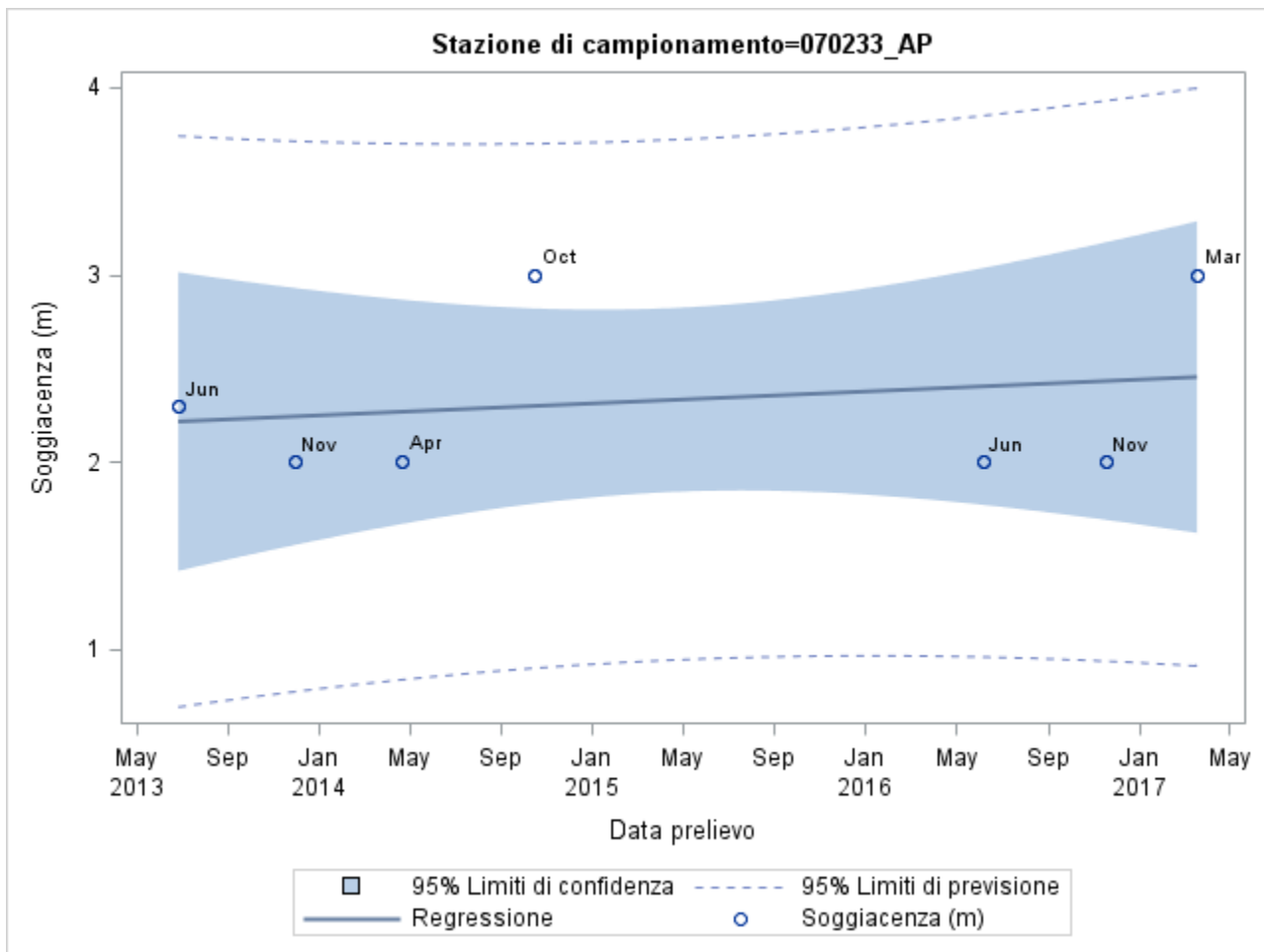


Appendice G

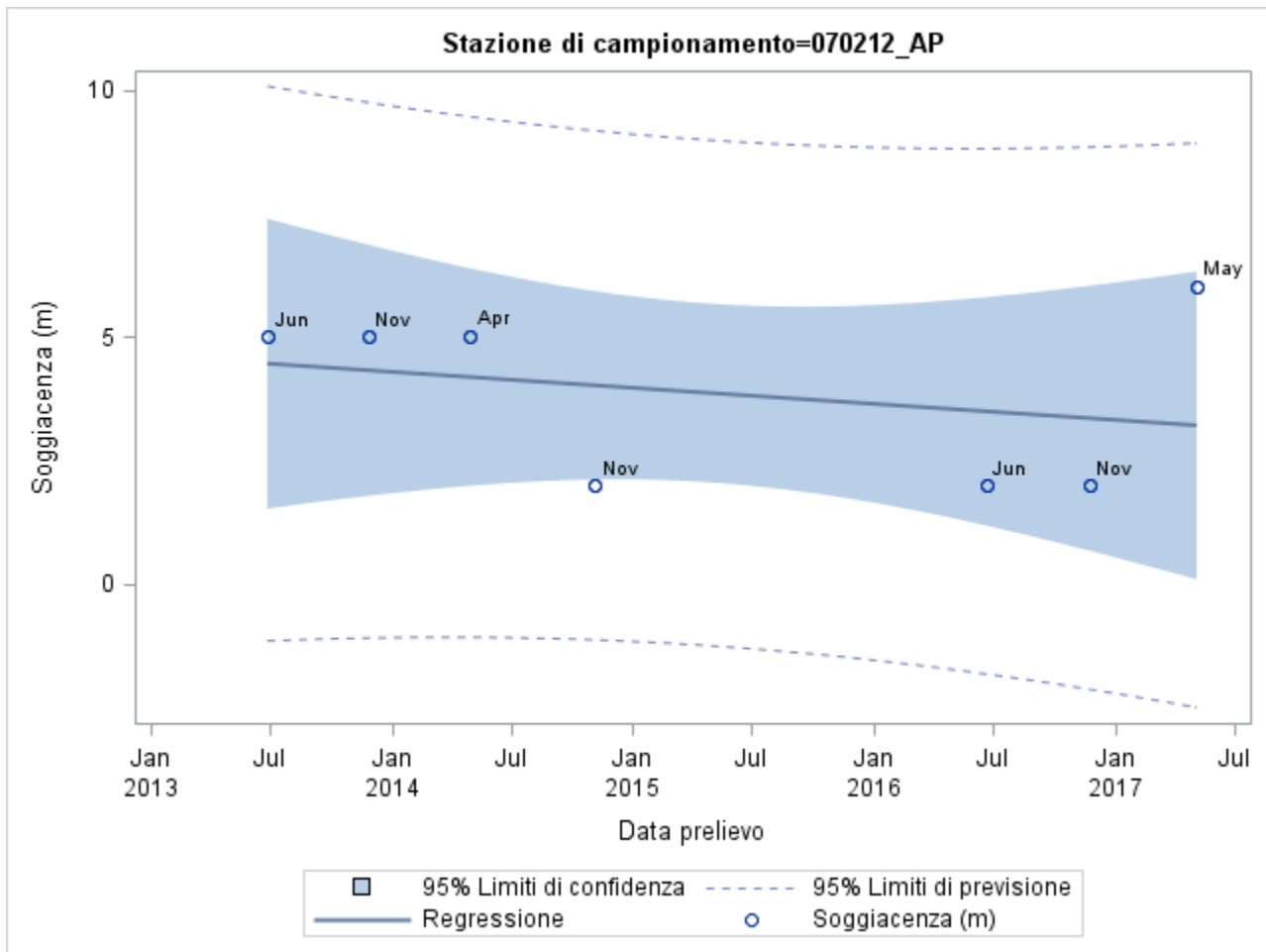


Appendice G

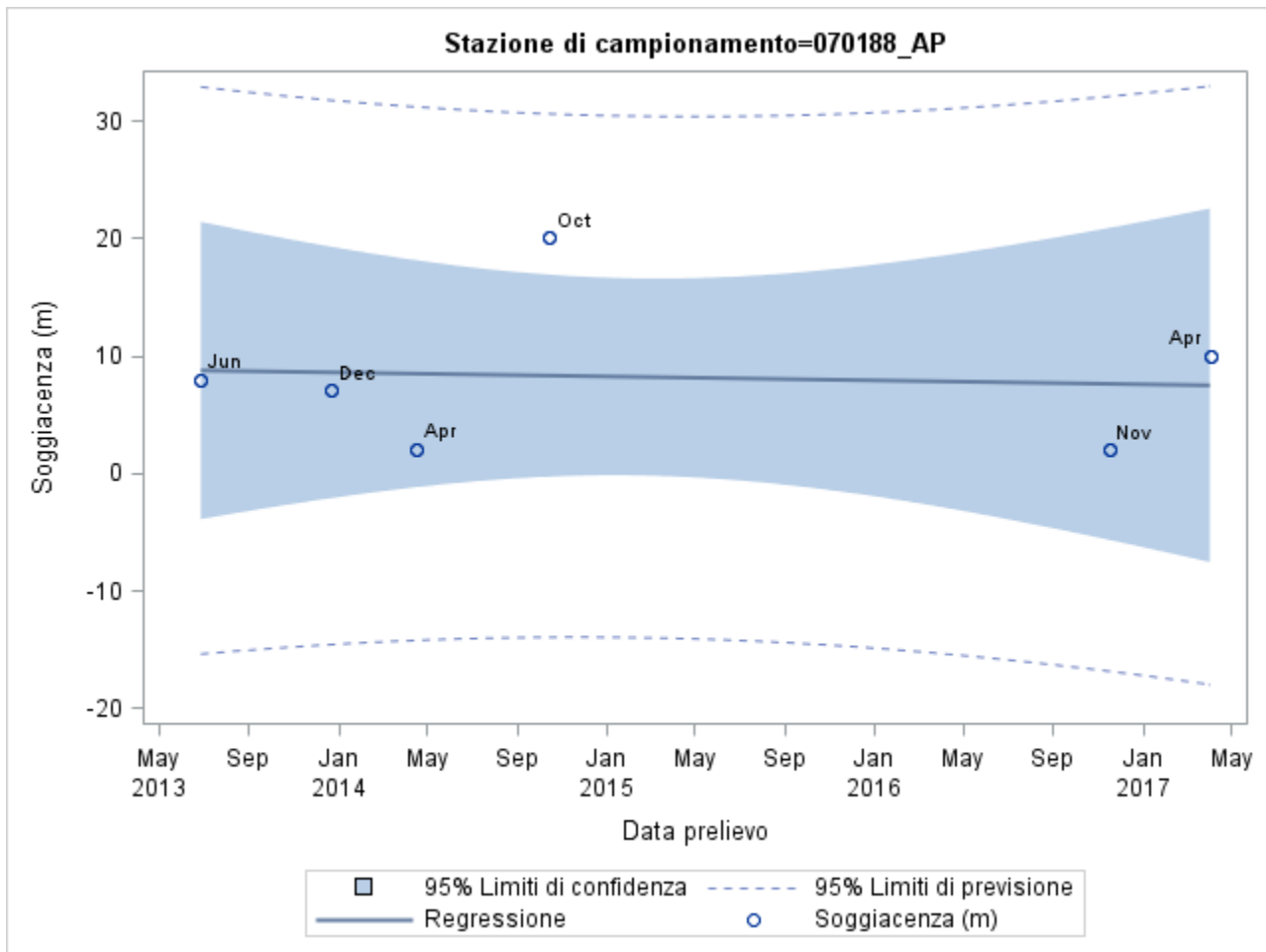
AV_TRO - ALLUVIONI VALLIVE DEL FIUME TRONTO



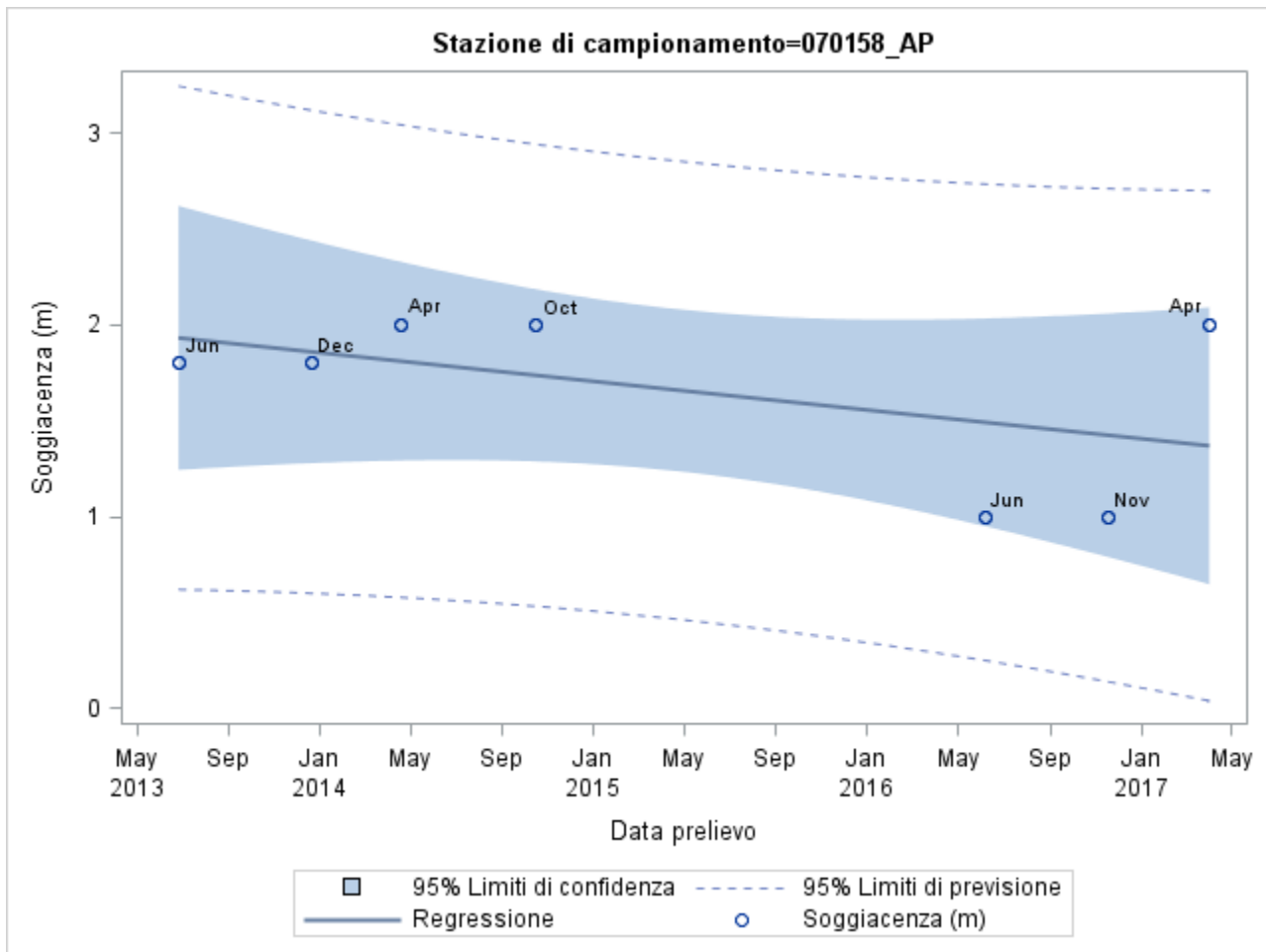
Appendice G



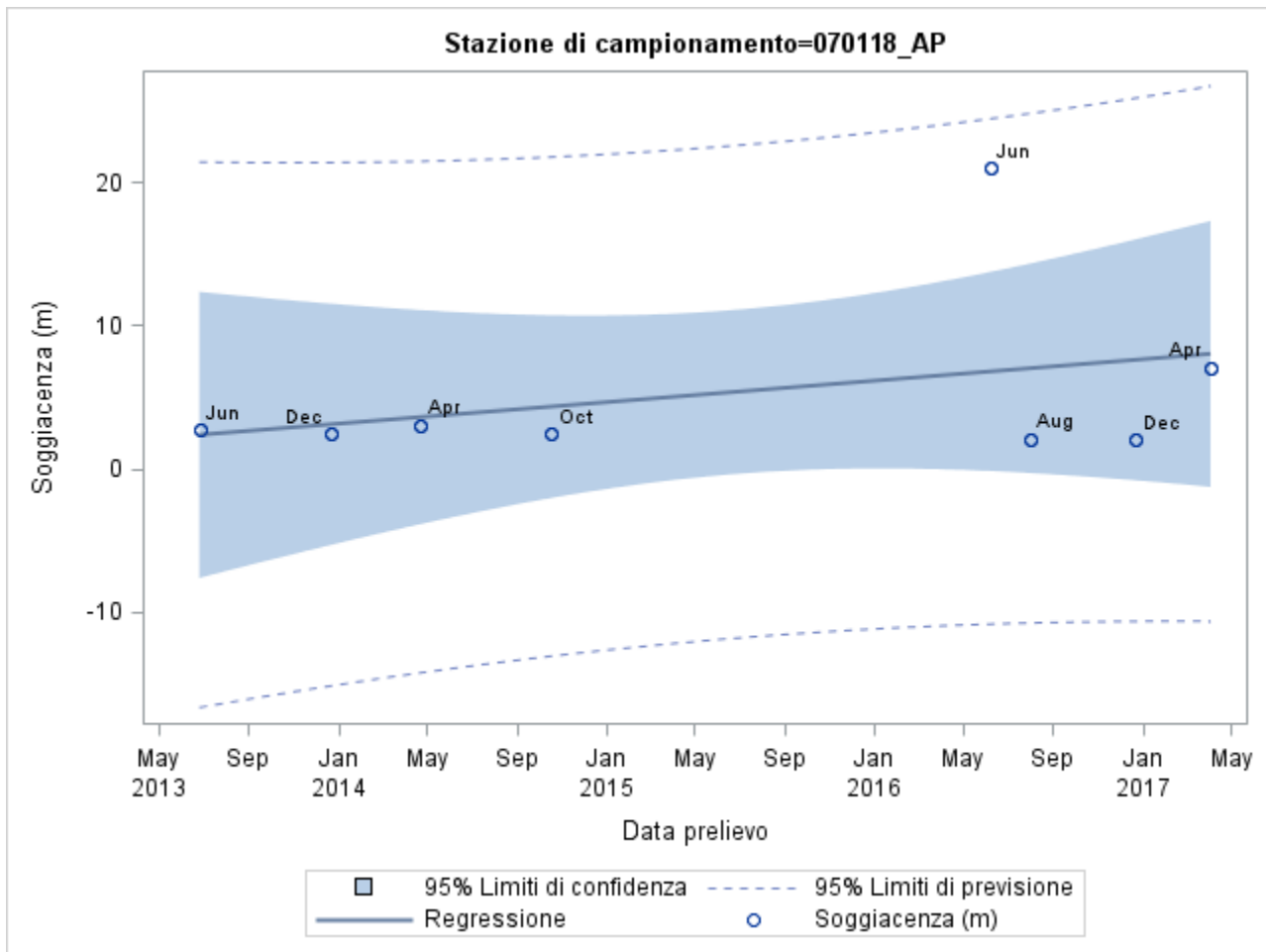
Appendice G



Appendice G

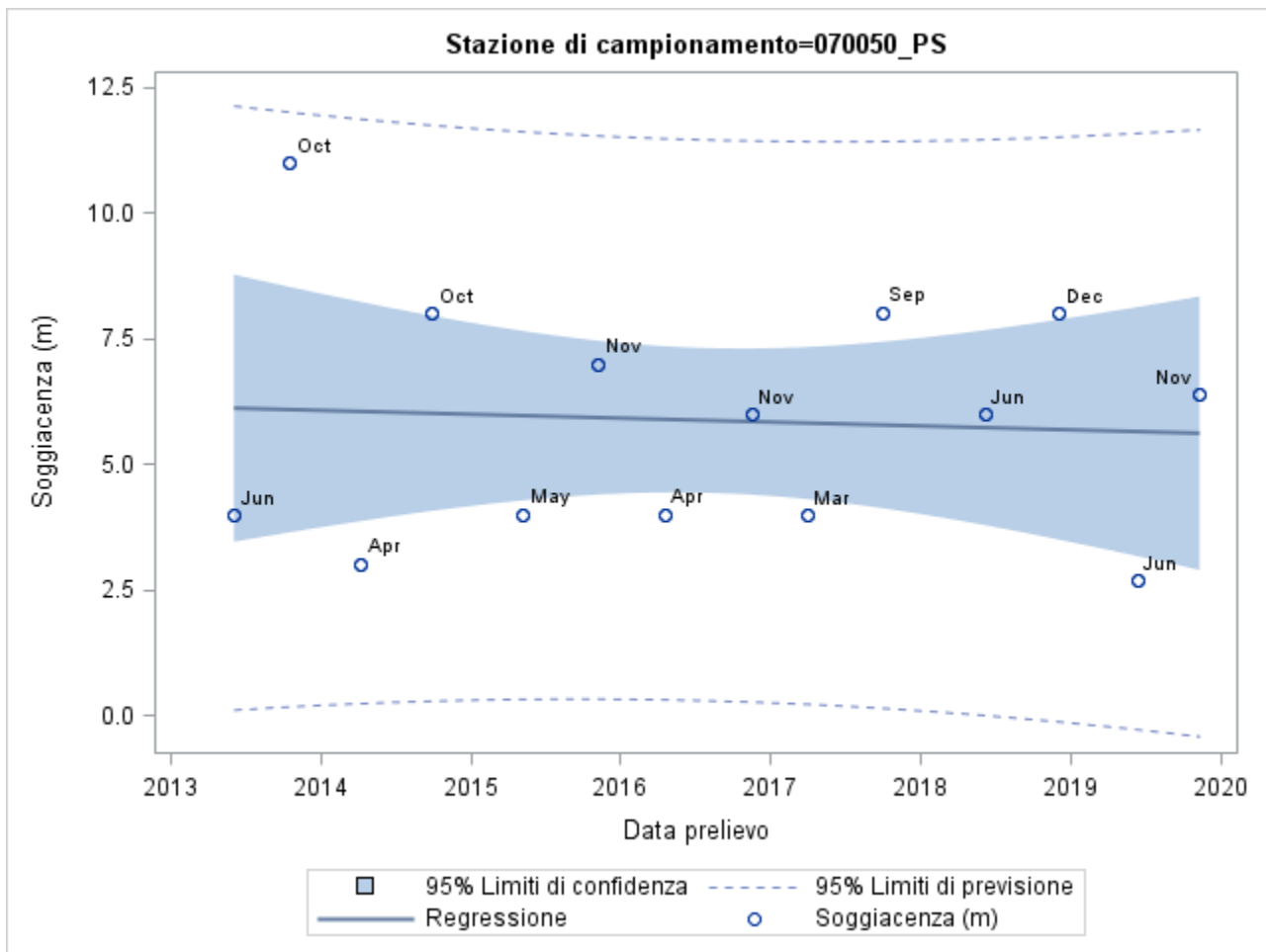


Appendice G



Appendice G

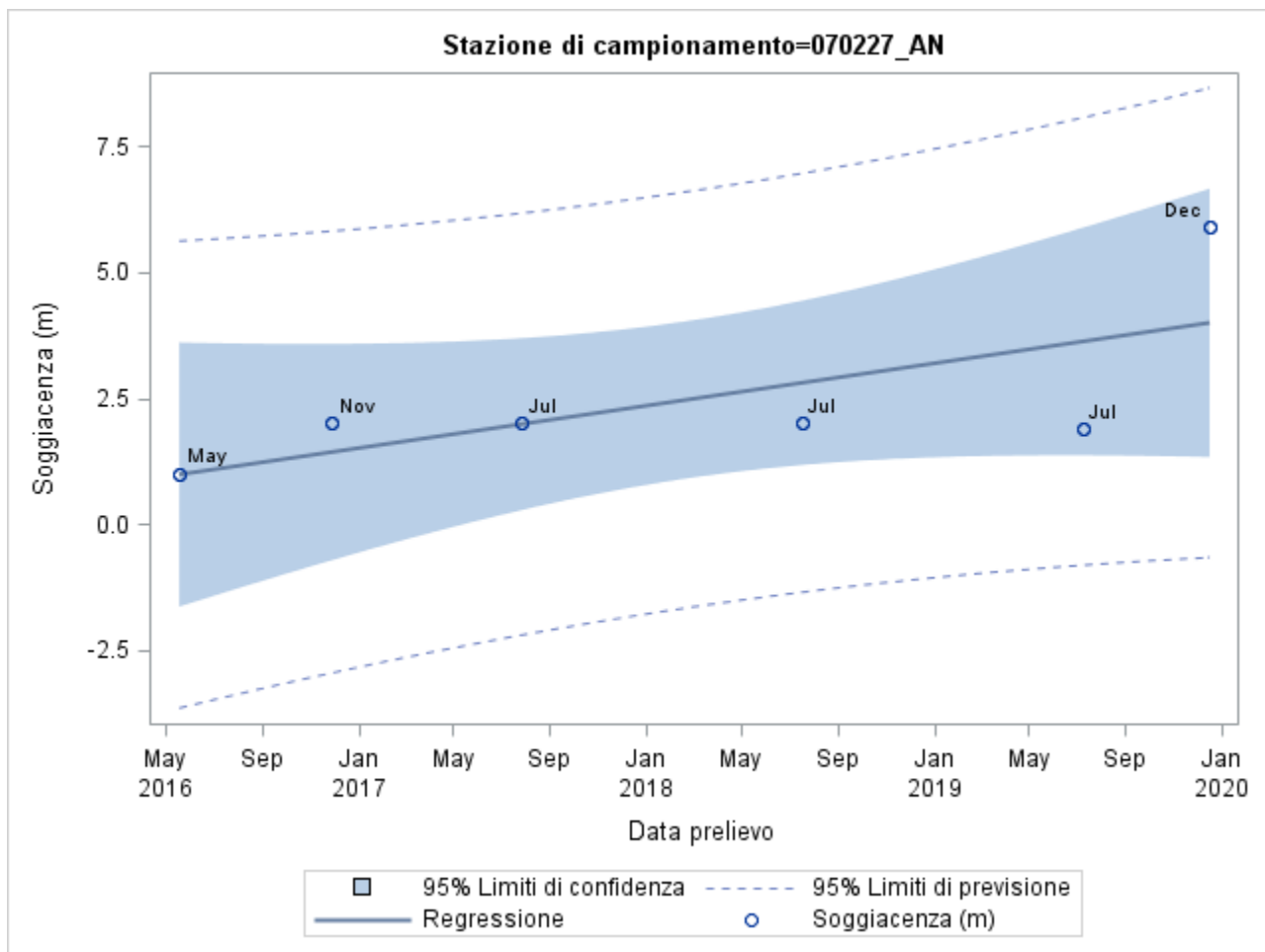
AV_VEN - ALLUVIONI VALLIVE DEL RIO VENTENA DI GEMMANO



Appendice G

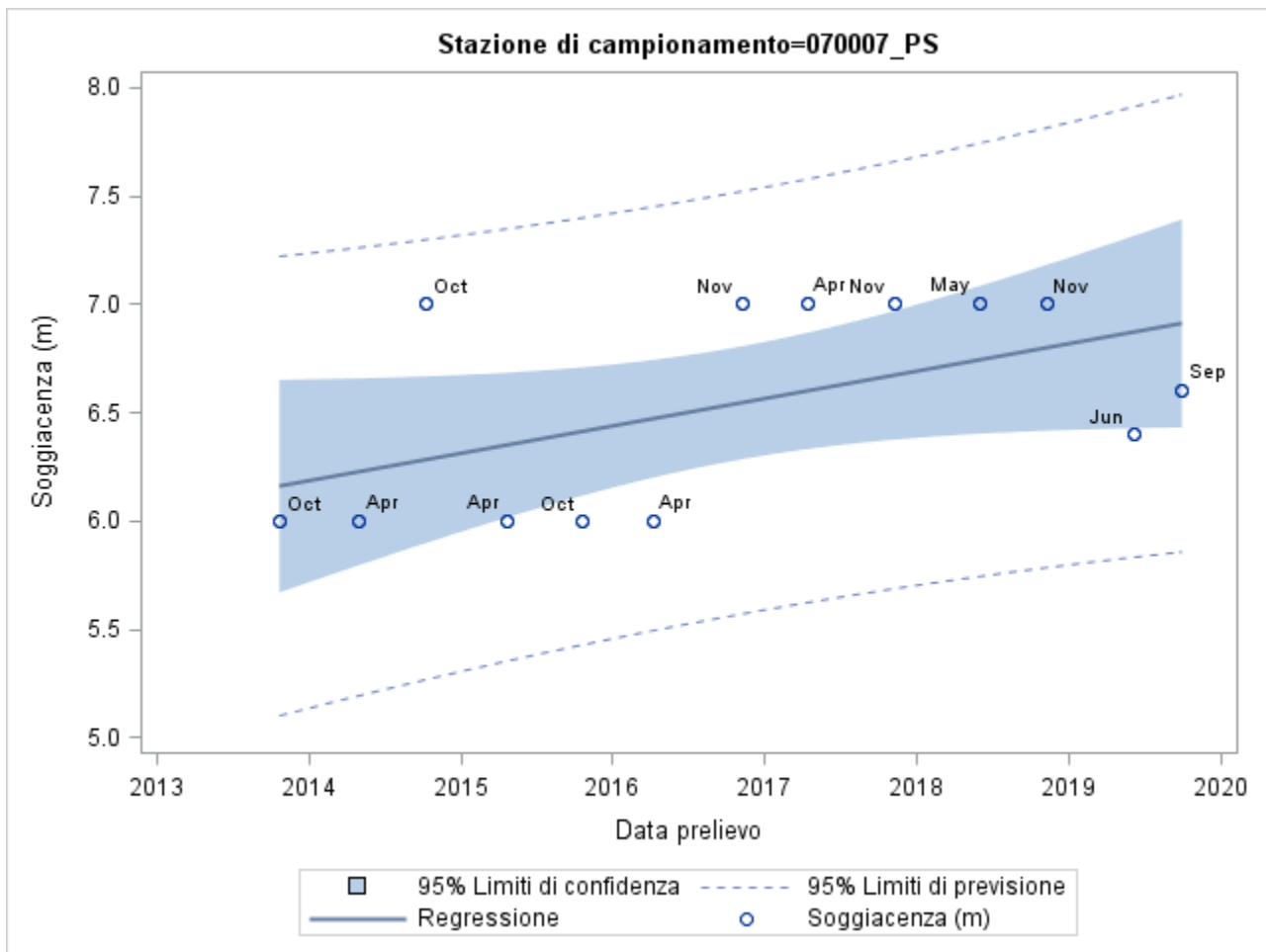
UNITÀ DI BILANCIO/ACQUIFERO CALCARI

CA_DOM - SISTEMA DELLA DORSALE MARCHIGIANA (C_CA_DOM, E_CA_DOM)



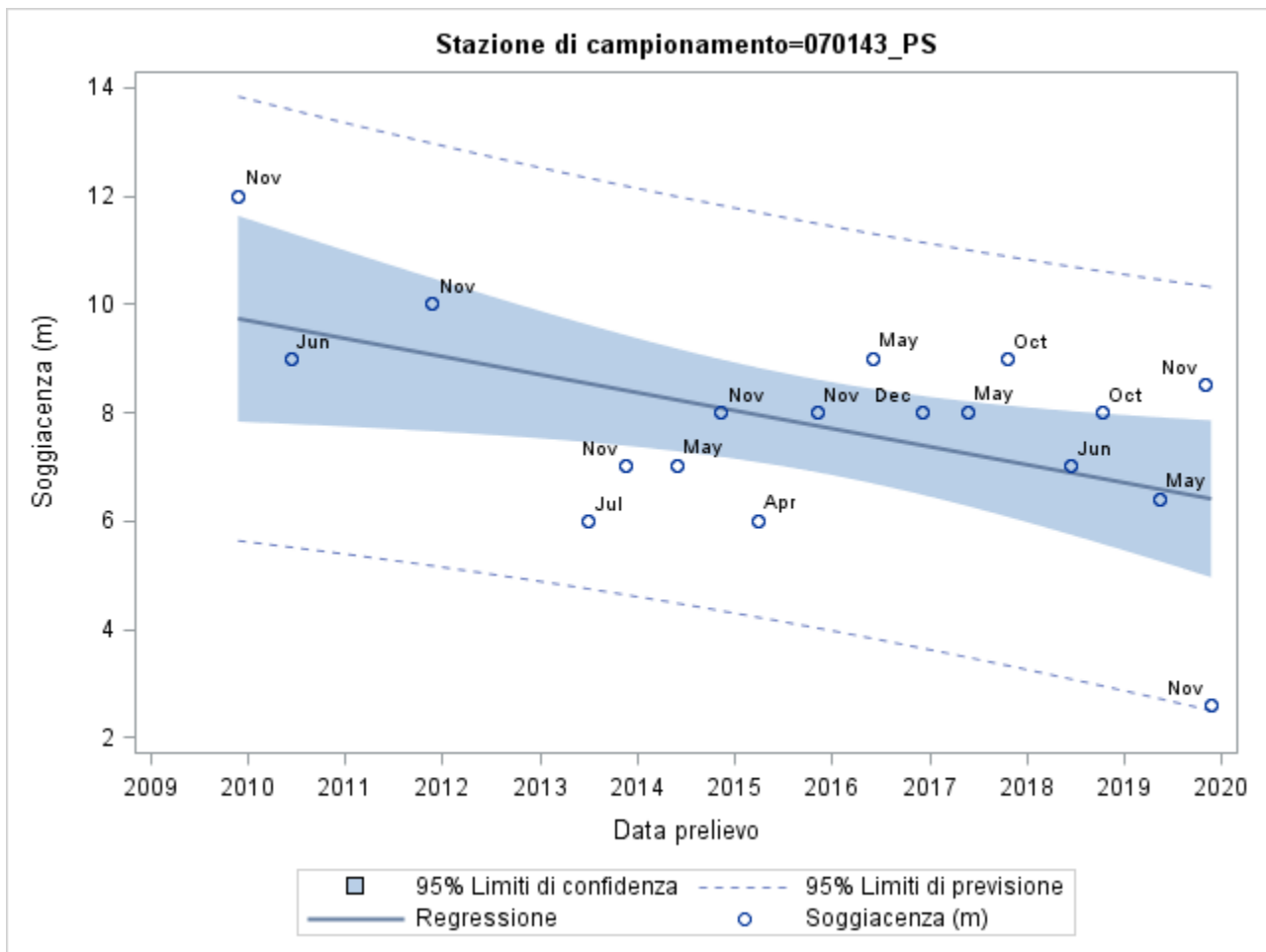
Appendice G

CA_ACQ – UNITÀ DI ACQUALAGNA



Appendice G

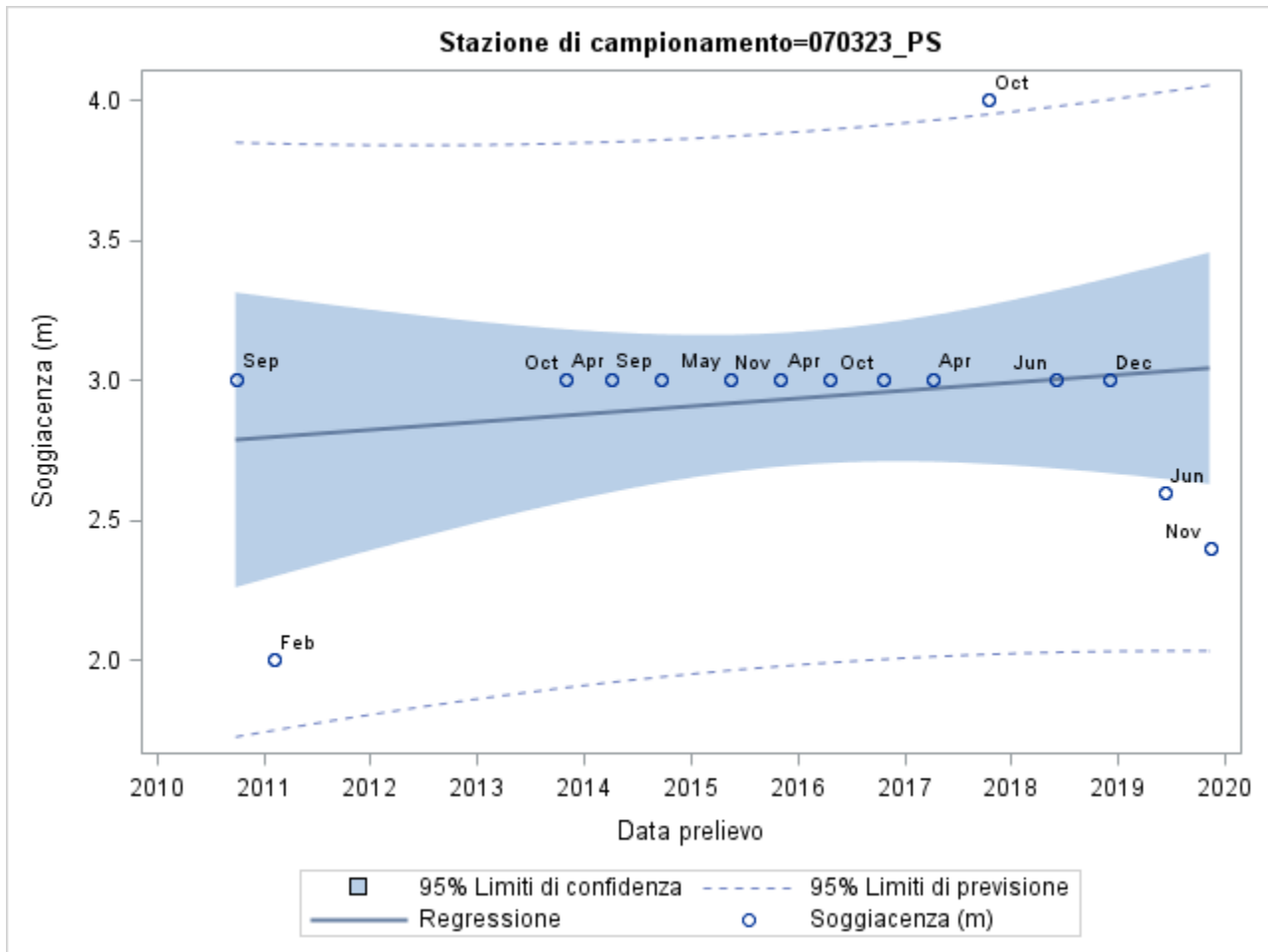
CA_BEL - UNITÀ DI BELLISIO SOLFARE



Appendice G

ACQUIFERI LOCALI

LOC_CMC - ALLOCTONO DELLA COLATA DELLA VAL MARECCHIA (CARPEGNA)



Appendice G

LOC_MAM - DEPOSITI TERRIGENI DELLA FORMAZIONE MARNOSO - ARENACEA (MERCATELLO SUL METAURO)

